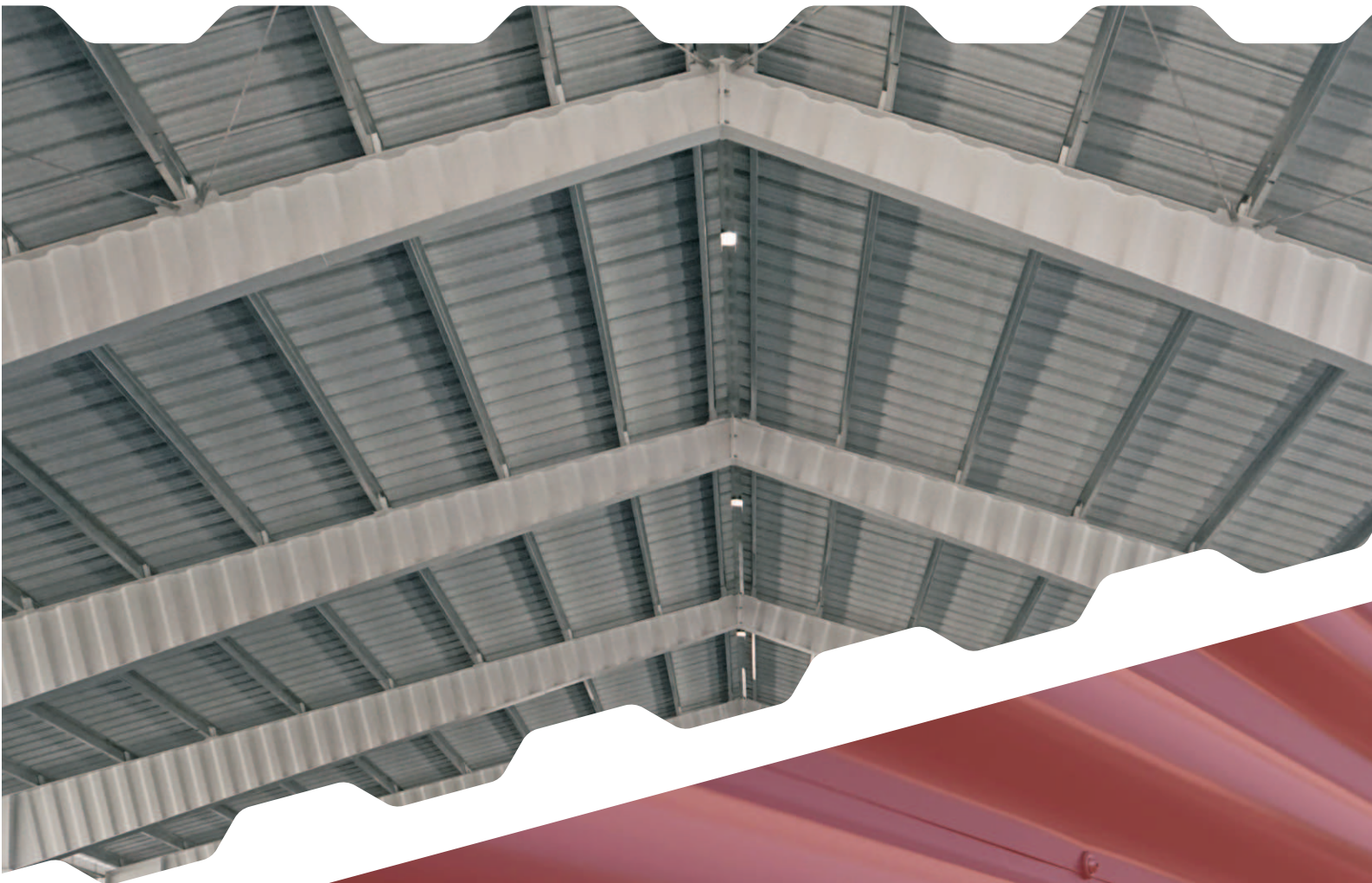


BORGA[®]

Przyjazne budowanie

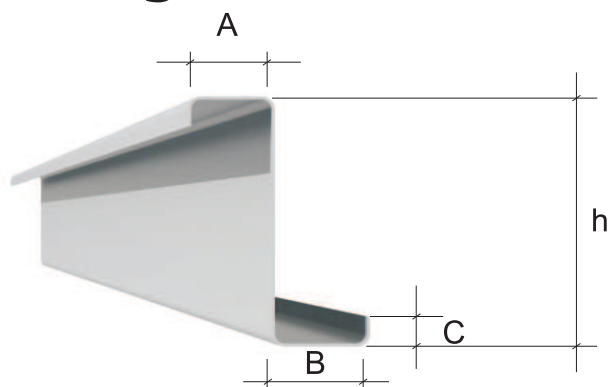


[Tabele nośności zetowników]

Założenia przyjęte przy opracowywaniu tabel obciążeń zetowników BORGA

- Obliczenia wykonano wg procedur podanych w normie PN-EN 1993-1-3 oraz w normach związanych
- Podane obciążenia są obciążeniami równomiernie rozłożonymi na długości wszystkich przęseł belki
- Obciążenia te działają w płaszczyźnie środka zetownika (prostopadle do poszycia)
- Obciążenia grawitacyjne to obciążenia dociskające blachę poszycia do półki zetownika natomiast obciążenia unoszące to obciążenia odrywające blachę poszycia od półki zetownika. (Jako obciążenie grawitacyjne może być zatem uznane np. parcie wiatru na ścianę zewnętrzną hali, natomiast jako obciążenie unoszące – ssanie wiatru działające na taką ścianę)
- Przy zbieraniu obciążeń dla porównania z obciążeniami podanymi w tabelach należy, oprócz wszystkich obciążeń zewnętrznych uwzględnić również ciężar własny zetowników.
- Tężniki to poprzeczne elementy uniemożliwiające w miejscu połączenia z zetownikiem jego obrót (zwichrzenie). Tężniki są rozmieszczone równomiernie na długości przęseł.
- Zakłady zetowników: zetowniki w przęsłach skrajnych są przedłużone do przęseł przedskrajnych na długość 20% rozpiętości przęseł, natomiast zetowniki w pozostałych przęsłach są przedłużone obustronnie do sąsiednich przęseł na długość 10% rozpiętości. Odległości te są liczone w osiach śrub łączących, umiejscowionych nad podporami i na końcach zakładów.
- Śruby łączące: dla zetowników Z-120 – Z-200 przyjęto po dwie śruby M12 kl. 5.8 nad podporami i na końcach zakładów, dla zetowników Z-250 – po dwie śruby M16 kl. 5.8 nad podporami i na końcach zakładów.
- Jako poszycie przyjęto blachę BORGA Super 40 gr. 0,60mm mocowaną do zetowników za pomocą wkrętów samowiercących M5,5 po dwie sztuki w każdej fałdzie. Zastosowanie jako poszycia innej blachy fałdowej, innego rozstawu lub średnicy wkrętów powoduje zmianę nośności zetowników.

Wymiary i waga zetowników BORGA



Profil	Grubość	Wysokość	A	B	C	Waga
	[mm]					
Z-120	1,00	120	59	52	13	1,89
	1,25				14	2,37
	1,50				15	2,86
	1,75				16	3,35
	2,00				18	3,87
	2,50				20	4,87
Z-150	1,00	150	59	52	13	2,13
	1,25				14	2,67
	1,50				15	3,21
	1,75				16	3,76
	2,00				18	4,34
	2,50				20	5,46
Z-200	1,00	200	59	52	13	2,52
	1,25				14	3,16
	1,50				15	3,80
	1,75				16	4,44
	2,00				18	5,12
	2,50				20	6,44
	3,00				23	7,81
	Z-250				1,50	250
1,75		16	5,55			
2,00		18	6,39			
2,50		20	8,03			
3,00		23	9,72			

Parametry zetowników BORGA - stal S350GD

Profil	Z-120x1,0	Z-120x1,25	Z-120x1,5	Z-120x1,75	Z-120x2,0	Z-120x2,5	Z-120x3,0
Wysokość przekroju h [mm]	120	120	120	120	120	120	120
Szerokość szerszego pasa b_1 [mm]	59	59	59	59	59	59	59
Szerokość węższego pasa b_2 [mm]	52	52	52	52	52	52	52
Wymiar usztywnienia brzegowego c [mm]	13	14	15	16	18	20	23
Grubość nominalna ścianki t_{nom} [mm]	1,00	1,25	1,50	1,75	2,00	2,50	3,00
Powłoka cynkowa [g/m ²]	275	275	275	275	275	275	275
Masa jednostkowa (z powłoki cynkowej) m [kg/m]	1,90	2,38	2,85	3,33	3,81	4,76	5,72
Pole przekroju brutto A_g [cm ²]	2,32	2,94	3,56	4,18	4,84	6,12	7,47
Moment bezwładności zetownika (brutto) $I_g = I_y$ [cm ⁴] - wg rys. 10.3	53,5	67,2	80,9	94,4	108,6	135,2	162,0
Pole przekroju współpracującego przy równomiernym ściskaniu A_{eff} [cm ²] - wg 10.1.4.1 i 10.1.4.2	1,097	1,713	2,412	3,137	3,933	5,488	7,096
Moment bezwładności przekroju współpracującego przy zginaniu względem osi y-y I_{effy} [cm ³]	42,2	59,3	75,5	91,7	107,9	135,2	162,0
Wskaźnik wytrzymałości przekroju współpracującego przy zginaniu względem osi y-y W_{effy} [cm ³] - wg 10.1.4.1 i 10.1.4.2	6,25	9,41	12,39	15,16	17,57	21,92	26,29
Obliczeniowa nosność przekroju przy równomiernym ściskaniu $N_{Rd} = N_{c,Rd}$ [kN] - wg 6.1.3 i 6.1.10	38,39	59,94	84,44	109,80	137,65	192,08	248,35
Obliczeniowa nosność przy zginaniu $M_{y,Rd} = M_{c,Rd}$ [kNm] - wg 6.1.4. 6.10 i 6.1.11	2,189	3,292	4,335	5,306	6,148	8,098	9,805
Obliczeniowa nosność przy ścinaniu $V_{b,Rd} = V_{w,Rd}$ [kN] - wg 6.1.5 i 6.1.10	8,70	17,40	25,40	34,80	45,70	58,70	70,30

Profil	Z-150x1,0	Z-150x1,25	Z-150x1,5	Z-150x1,75	Z-150x2,0	Z-150x2,5	Z-150x3,0
Wysokość przekroju h [mm]	150	150	150	150	150	150	150
Szerokość szerszego pasa b_1 [mm]	59	59	59	59	59	59	59
Szerokość węższego pasa b_2 [mm]	52	52	52	52	52	52	52
Wymiar usztywnienia brzegowego c [mm]	13	14	15	16	18	20	23
Grubość nominalna ścianki t_{nom} [mm]	1,00	1,25	1,50	1,75	2,00	2,50	3,00
Powłoka cynkowa [g/m ²]	275	275	275	275	275	275	275
Masa jednostkowa (z powłoki cynkowej) m [kg/m]	2,14	2,67	3,21	3,74	4,28	5,35	6,42
Pole przekroju brutto A_g [cm ²]	2,61	3,30	3,99	4,69	5,43	6,86	8,36
Moment bezwładności zetownika (brutto) $I_g = I_y$ [cm ⁴] - wg rys. 10.3	89,7	112,9	136,1	159,1	183,4	229,1	275,9
Pole przekroju współpracującego przy równomiernym ściskaniu A_{eff} [cm ²] - wg 10.1.4.1 i 10.1.4.2	1,081	1,697	2,404	3,136	3,956	5,591	7,327
Moment bezwładności przekroju współpracującego przy zginaniu względem osi y-y I_{effy} [cm ³]	67,7	96,3	126,7	153,6	180,9	229,1	275,9
Wskaźnik wytrzymałości przekroju współpracującego przy zginaniu względem osi y-y W_{effy} [cm ³] - wg 10.1.4.1 i 10.1.4.2	7,79	11,89	16,58	20,43	23,74	29,81	35,91
Obliczeniowa nosność przekroju przy równomiernym ściskaniu $N_{Rd} = N_{c,Rd}$ [kN] - wg 6.1.3 i 6.1.10	37,85	59,40	84,13	109,75	138,46	195,68	256,43
Obliczeniowa nosność przy zginaniu $M_{y,Rd} = M_{c,Rd}$ [kNm] - wg 6.1.4. 6.10 i 6.1.11	2,728	4,163	5,803	7,150	8,308	10,950	13,306
Obliczeniowa nosność przy ścinaniu $V_{b,Rd} = V_{w,Rd}$ [kN] - wg 6.1.5 i 6.1.10	7,00	14,00	21,00	28,00	35,00	45,00	54,00

Profil	-	Z-200x1,25	Z-200x1,5	Z-200x1,75	Z-200x2,0	Z-200x2,5	Z-200x3,0
Wysokość przekroju h [mm]	-	200	200	200	200	200	200
Szerokość szerszego pasa b_1 [mm]	-	59	59	59	59	59	59
Szerokość węższego pasa b_2 [mm]	-	52	52	52	52	52	52
Wymiar usztywnienia brzegowego c [mm]	-	14	15	16	18	20	23
Grubość nominalna ścianki t_{nom} [mm]	-	1,25	1,50	1,75	2,00	2,50	3,00
Powłoka cynkowa [g/m ²]	-	275	275	275	275	275	275
Masa jednostkowa (z powłoki cynkowej) m [kg/m]	-	3,16	3,79	4,43	5,06	6,33	7,60
Pole przekroju brutto A_g [cm ²]	-	3,91	4,72	5,55	6,41	8,09	9,84
Moment bezwładności zetownika (brutto) $I_g = I_y$ [cm ⁴] - wg rys. 10.3	-	222,9	269,0	315,0	363,7	455,9	551,2
Pole przekroju współpracującego przy równomiernym ściskaniu A_{eff} [cm ²] - wg 10.1.4.1 i 10.1.4.2	-	1,661	2,377	3,123	3,955	5,654	7,546
Moment bezwładności przekroju współpracującego przy zginaniu względem osi y-y I_{effy} [cm ³]	-	179,0	236,9	295,5	355,7	455,6	551,2
Wskaźnik wytrzymałości przekroju współpracującego przy zginaniu względem osi y-y W_{effy} [cm ³] - wg 10.1.4.1 i 10.1.4.2	-	15,89	22,17	28,86	35,30	44,64	54,00
Obliczeniowa nosność przekroju przy równomiernym ściskaniu $N_{Rd} = N_{c,Rd}$ [kN] - wg 6.1.3 i 6.1.10	-	58,14	83,19	109,30	138,43	197,89	264,10
Obliczeniowa nosność przy zginaniu $M_{y,Rd} = M_{c,Rd}$ [kNm] - wg 6.1.4. 6.10 i 6.1.11	-	5,560	7,759	10,099	12,353	15,623	19,842
Obliczeniowa nosność przy ścinaniu $V_{b,Rd} = V_{w,Rd}$ [kN] - wg 6.1.5 i 6.1.10	-	10,50	18,40	29,60	44,70	72,00	104,20

Profil	-	-	Z-250x1,5	Z-250x1,75	Z-250x2,0	Z-250x2,5	Z-250x3,0
Wysokość przekroju h [mm]	-	-	250	250	250	250	250
Szerokość szerszego pasa b_1 [mm]	-	-	80	80	80	80	80
Szerokość węższego pasa b_2 [mm]	-	-	69	69	69	69	69
Wymiar usztywnienia brzegowego c [mm]	-	-	19	20	20	22	23
Grubość nominalna ścianki t_{nom} [mm]	-	-	1,50	1,75	2,00	2,50	3,00
Powłoka cynkowa [g/m ²]	-	-	275	275	275	275	275
Masa jednostkowa (z powłoki cynkowej) m [kg/m]	-	-	4,91	5,75	6,56	8,20	9,84
Pole przekroju brutto A_g [cm ²]	-	-	6,15	7,22	8,25	10,34	12,43
Moment bezwładności zetownika (brutto) $I_g = I_y$ [cm ⁴] - wg rys. 10.3	-	-	559,9	656,3	748,8	936,2	1122,1
Pole przekroju współpracującego przy równomiernym ściskaniu A_{eff} [cm ²] - wg 10.1.4.1 i 10.1.4.2	-	-	2,672	3,575	4,457	6,341	8,332
Moment bezwładności przekroju współpracującego przy zginaniu względem osi y-y I_{effy} [cm ³]	-	-	448,6	564,6	677,2	906,8	1098,6
Wskaźnik wytrzymałości przekroju współpracującego przy zginaniu względem osi y-y W_{effy} [cm ³] - wg 10.1.4.1 i 10.1.4.2	-	-	31,82	41,91	51,75	72,09	86,78
Obliczeniowa nosność przekroju przy równomiernym ściskaniu $N_{Rd} = N_{c,Rd}$ [kN] - wg 6.1.3 i 6.1.10	-	-	93,53	125,14	156,00	221,93	291,63
Obliczeniowa nosność przy zginaniu $M_{y,Rd} = M_{c,Rd}$ [kNm] - wg 6.1.4. 6.10 i 6.1.11	-	-	11,138	14,670	18,113	25,231	30,373
Obliczeniowa nosność przy ścinaniu $V_{b,Rd} = V_{w,Rd}$ [kN] - wg 6.1.5 i 6.1.10	-	-	14,70	25,28	35,70	70,70	104,20

Wykrawanie otworów

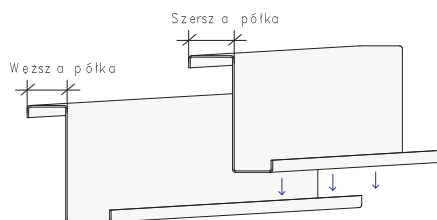
Standardowe wykrawanie otworów:

- minimalna odległość od początku profilu „Z” do pierwszego rzędu otworów wynosi 25 mm
- rozmiar otworów owalnych: 14 mm x 28 mm
- otwory są wykrawane parami, pionowo w rozpiętości 70 mm

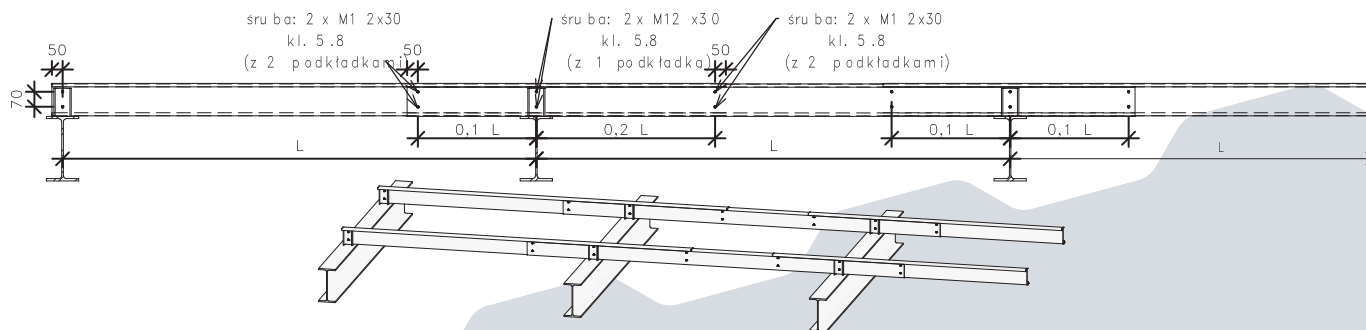
Niestandardowe wykrawanie otworów:

- otwory są wykrawane na indywidualne zamówienie klienta
- rozmiar otworów: \varnothing 5, 13, 14 18, 22, 24 26, 28, 34, 36
- rozmiar otworów owalnych: 14 mm x 28 mm, 18 mm x 36 mm
- przy zamówieniu niestandardowego wykrajania otworów profile są kształtowane na prasie krawędziowej

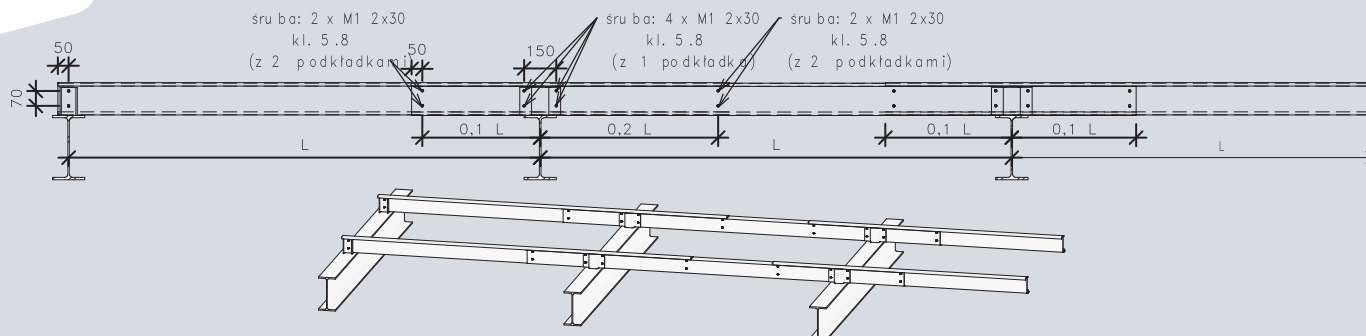
Połączenia zetowników

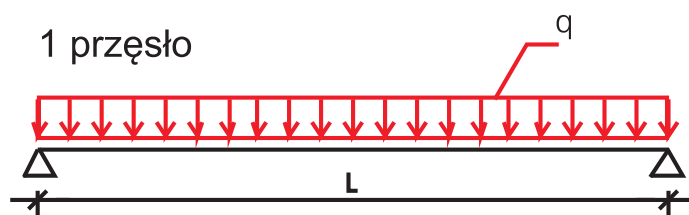


Standardowe połączenie zetowników



Wzmocnione połączenie zetowników

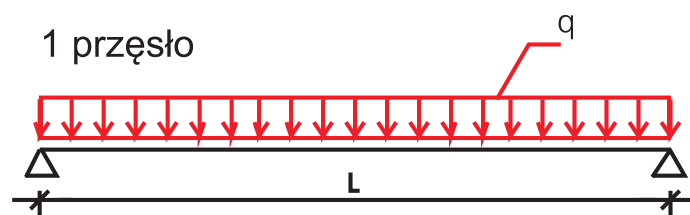




Przekrój	Ilość tężników w każdym przęśle*	Maksymalne obciążenie obliczeniowe grawitacyjne q_g [kN/m]	Maksymalne obciążenie obliczeniowe, grawitacyjne q_g [kN/m] + siła osiowa $N=10kN$	Maksymalne obciążenie obliczeniowe, unoszące q_u [kN/m]	Maksymalne obciążenie grawitacyjne charakterystyczne ze względu na ugięcia q_{ch} [kN/m]
Z-120x1	0	1,94	1,43	1,18	1,85
Z-120x1,25	0	2,92	2,43	1,78	2,45
Z-120x1,5	0	3,85	3,39	2,31	3,03
Z-120x1,75	0	4,71	4,28	2,78	3,61
Z-120x2	0	5,46	5,07	3,16	4,20
Z-120x2,5	0	6,82	6,46	3,80	5,25
Z-120x3	0	8,18	7,85	4,38	6,29
Z-150x1	0	2,42	1,78	1,33	2,42
Z-150x1,25	0	3,70	3,07	2,04	3,69
Z-150x1,5	0	5,16	4,54	2,79	5,10
Z-150x1,75	0	6,36	5,77	3,38	6,08
Z-150x2	0	7,38	6,85	3,86	7,08
Z-150x2,5	0	9,27	8,80	4,69	8,91
Z-150x3	0	11,16	10,73	5,46	10,72
Z-200x1,25	0	4,94	4,08	2,46	4,94
Z-200x1,5	0	6,89	6,06	3,40	6,90
Z-200x1,75	0	8,97	8,16	4,33	8,97
Z-200x2	0	10,97	10,18	5,20	10,98
Z-200x2,5	0	13,88	13,18	6,40	13,88
Z-200x3	0	16,80	16,16	7,57	16,79
Z-250x1,5	0	9,79	8,84	6,11	9,79
Z-250x1,75	0	12,95	11,95	7,95	12,94
Z-250x2,0	0	16,10	15,07	9,79	16,10
Z-250x2,5	0	22,42	21,42	13,52	22,42
Z-250x3	0	27,00	26,07	16,39	26,99

Belka 1-przęsłowa, stal S350GD, poszycie z blachy Super 40, 0,60mm, 2 wkręty w fałdzie, dopuszczalne ugięcie L/150 - jeżeli $L \leq 6,0m$ lub L/200 - jeżeli $L > 6,0m$

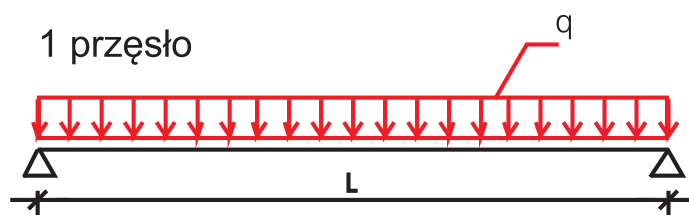
L = 3,0 m



Przekrój	Ilość tężników w każdym przęśle*	Maksymalne obciążenie obliczeniowe grawitacyjne q_g [kN/m]	Maksymalne obciążenie obliczeniowe, grawitacyjne q_g [kN/m] + siła osiowa $N=10kN$	Maksymalne obciążenie obliczeniowe, unoszące q_u [kN/m]	Maksymalne obciążenie grawitacyjne charakterystyczne ze względu na ugięcia q_{ch} [kN/m]
Z-120x1	0	1,60	1,18	0,98	1,39
Z-120x1,25	0	2,41	2,01	1,50	1,85
Z-120x1,5	0	3,18	2,80	1,96	2,28
Z-120x1,75	0	3,89	3,54	2,36	2,72
Z-120x2	0	4,51	4,18	2,67	3,15
Z-120x2,5	0	5,63	5,33	3,20	3,94
Z-120x3	0	6,76	6,48	3,67	4,73
Z-150x1	0	2,00	1,47	1,10	2,00
Z-150x1,25	0	3,05	2,53	1,69	3,05
Z-150x1,5	0	4,26	3,75	2,32	3,83
Z-150x1,75	0	5,25	4,77	2,81	4,56
Z-150x2	0	6,10	5,66	3,21	5,31
Z-150x2,5	0	7,66	7,27	3,88	6,69
Z-150x3	0	9,22	8,87	4,48	8,05
Z-200x1,25	0	4,08	3,38	1,97	4,08
Z-200x1,5	0	5,69	5,01	2,72	5,69
Z-200x1,75	0	7,42	6,74	3,48	7,42
Z-200x2	0	9,07	8,42	4,17	9,07
Z-200x2,5	0	11,47	10,89	5,12	11,47
Z-200x3	0	13,88	13,35	6,01	13,88
Z-250x1,5	0	8,18	7,30	4,76	8,18
Z-250x1,75	0	10,74	9,88	6,20	10,74
Z-250x2,0	0	13,30	12,45	7,63	13,31
Z-250x2,5	0	18,53	17,69	10,54	18,53
Z-250x3	0	22,30	21,54	12,78	22,31

Belka 1-przęsłowa, stal S350GD, poszycie z blachy Super 40, 0,60mm, 2 wkręty w fałdzie, dopuszczalne ugięcie L/150 - jeżeli $L \leq 6,0m$ lub L/200 - jeżeli $L > 6,0m$

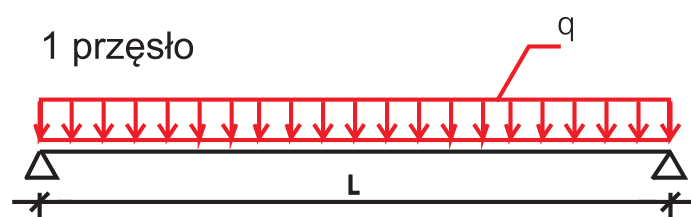
L = 3,3 m



Przekrój	Ilość tężników w każdym przęśle*	Maksymalne obciążenie obliczeniowe grawitacyjne q_g [kN/m]	Maksymalne obciążenie obliczeniowe, grawitacyjne q_g [kN/m] + siła osiowa $N=10kN$	Maksymalne obciążenie obliczeniowe, unoszące q_u [kN/m]	Maksymalne obciążenie grawitacyjne charakterystyczne ze względu na ugięcia q_{ch} [kN/m]
Z-120x1	0	1,35	0,99	0,83	1,07
Z-120x1,25	0	2,03	1,69	1,27	1,42
Z-120x1,5	0	2,67	2,35	1,68	1,76
Z-120x1,75	0	3,27	2,97	2,02	2,09
Z-120x2	0	3,79	3,52	2,29	2,43
Z-120x2,5	0	4,73	4,49	2,74	3,04
Z-120x3	0	5,68	5,44	3,13	3,64
Z-150x1	0	1,68	1,23	0,91	1,67
Z-150x1,25	0	2,57	2,13	1,43	2,35
Z-150x1,5	0	3,58	3,15	1,97	2,95
Z-150x1,75	0	4,41	4,01	2,38	3,52
Z-150x2	0	5,13	4,75	2,72	4,09
Z-150x2,5	0	6,44	6,11	3,28	5,15
Z-150x3	0	7,75	7,45	3,78	6,20
Z-200x1,25	0	3,43	2,84	1,61	3,42
Z-200x1,5	0	4,79	4,21	2,24	4,78
Z-200x1,75	0	6,23	5,65	2,87	6,23
Z-200x2	0	7,62	7,07	3,44	7,62
Z-200x2,5	0	9,64	9,15	4,20	9,64
Z-200x3	0	11,66	11,22	4,90	11,66
Z-250x1,5	0	6,87	6,13	3,75	6,88
Z-250x1,75	0	9,03	8,30	4,89	9,03
Z-250x2,0	0	11,18	10,46	6,03	11,18
Z-250x2,5	0	15,57	14,87	8,31	15,57
Z-250x3	0	18,74	18,10	10,00	18,75

Belka 1-przęsłowa, stal S350GD, poszycie z blachy Super 40, 0,60mm, 2 wkręty w fałdzie, dopuszczalne ugięcie L/150 - jeżeli $L \leq 6,0m$ lub L/200 - jeżeli $L > 6,0m$

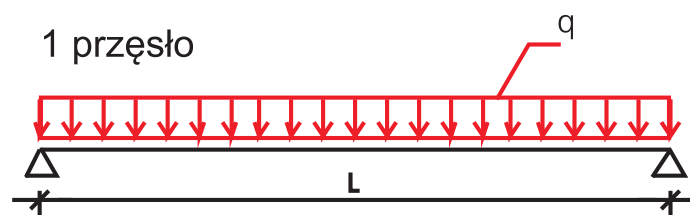
L = 3,6 m



Przekrój	Ilość tężników w każdym przęśle*	Maksymalne obciążenie obliczeniowe grawitacyjne q_g [kN/m]	Maksymalne obciążenie obliczeniowe, grawitacyjne q_g [kN/m] + siła osiowa $N=10kN$	Maksymalne obciążenie obliczeniowe, unoszące q_u [kN/m]	Maksymalne obciążenie grawitacyjne charakterystyczne ze względu na ugięcia q_{ch} [kN/m]
Z-120x1	0	1,15	0,85	0,72	0,84
Z-120x1,25	0	1,72	1,44	1,10	1,12
Z-120x1,5	0	2,28	2,00	1,45	1,38
Z-120x1,75	0	2,78	2,53	1,74	1,64
Z-120x2	0	3,23	2,99	1,98	1,91
Z-120x2,5	0	4,03	3,82	2,36	2,39
Z-120x3	0	4,84	4,64	2,70	2,86
Z-150x1	0	1,43	1,05	0,78	1,38
Z-150x1,25	0	2,18	1,81	1,21	1,85
Z-150x1,5	0	3,05	2,69	1,69	2,32
Z-150x1,75	0	3,76	3,41	2,05	2,77
Z-150x2	0	4,37	4,05	2,34	3,22
Z-150x2,5	0	5,49	5,20	2,81	4,05
Z-150x3	0	6,61	6,35	3,22	4,88
Z-200x1,25	0	2,92	2,42	1,35	2,92
Z-200x1,5	0	4,07	3,58	1,88	4,07
Z-200x1,75	0	5,31	4,82	2,42	5,31
Z-200x2	0	6,49	6,02	2,90	6,36
Z-200x2,5	0	8,22	7,80	3,53	8,06
Z-200x3	0	9,94	9,56	4,09	9,74
Z-250x1,5	0	5,85	5,23	3,03	5,85
Z-250x1,75	0	7,69	7,07	3,96	7,69
Z-250x2,0	0	9,52	8,92	4,89	9,53
Z-250x2,5	0	13,26	12,66	6,71	13,26
Z-250x3	0	15,97	15,43	8,03	15,97

Belka 1-przęsłowa, stal S350GD, poszycie z blachy Super 40, 0,60mm, 2 wkręty w faldzie, dopuszczalne ugięcie L/150 - jeżeli $L \leq 6,0m$ lub L/200 - jeżeli $L > 6,0m$

L = 3,9 m

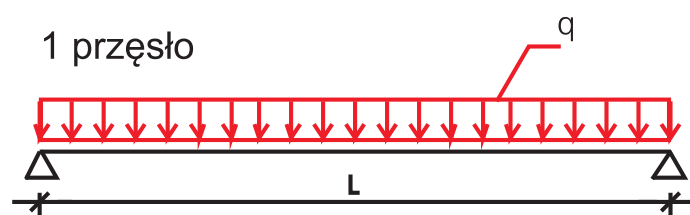


Przekrój	Ilość tężników w każdym przęśle*	Maksymalne obciążenie obliczeniowe grawitacyjne q_g [kN/m]	Maksymalne obciążenie obliczeniowe, grawitacyjne q_g [kN/m] + siła osiowa $N=10kN$	Maksymalne obciążenie obliczeniowe, unoszące q_u [kN/m]	Maksymalne obciążenie grawitacyjne charakterystyczne ze względu na ugięcia q_{ch} [kN/m]
Z-120x1	1	0,98	0,73	0,70	0,68
Z-120x1,25	1	1,49	1,24	1,05	0,89
Z-120x1,5	1	1,96	1,73	1,38	1,10
Z-120x1,75	1	2,40	2,18	1,68	1,31
Z-120x2	1	2,79	2,58	1,92	1,53
Z-120x2,5	1	3,47	3,30	2,35	1,91
Z-120x3	1	4,17	4,00	2,78	2,29
Z-150x1	1	1,23	0,91	0,84	1,11
Z-150x1,25	1	1,88	1,56	1,27	1,47
Z-150x1,5	1	2,63	2,31	1,76	1,85
Z-150x1,75	1	3,24	2,94	2,15	2,21
Z-150x2	1	3,76	3,49	2,50	2,57
Z-150x2,5	1	4,73	4,49	3,11	3,24
Z-150x3	1	5,69	5,47	3,71	3,90
Z-200x1,25	1	2,52	2,09	1,66	2,52
Z-200x1,5	1	3,51	3,09	2,31	3,51
Z-200x1,75	1	4,58	4,16	2,99	4,32
Z-200x2	1	5,60	5,20	3,65	5,09
Z-200x2,5	1	7,08	6,72	4,60	6,46
Z-200x3	1	8,57	8,24	5,57	7,81
Z-250x1,5	1	5,05	4,51	4,27	5,04
Z-250x1,75	1	6,63	6,10	5,60	6,63
Z-250x2,0	1	8,21	7,68	6,93	8,21
Z-250x2,5	1	11,44	10,93	9,65	11,44
Z-250x3	1	13,77	13,30	11,68	13,77

* - przy obciążeniach grawitacyjnych tężniki nie są potrzebne (jedynie przy obciążeniach unoszących)

Belka 1-przęsłowa, stal S350GD, poszycie z blachy Super 40, 0,60mm, 2 wkręty w fałdzie, dopuszczalne ugięcie L/150 - jeżeli $L \leq 6,0m$ lub L/200 - jeżeli $L > 6,0m$

L = 4,2 m

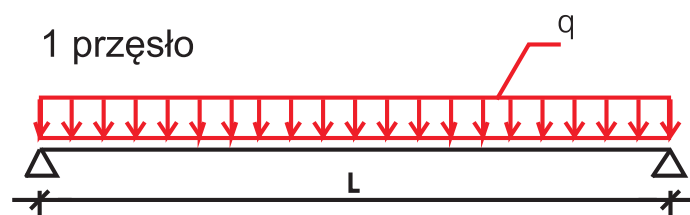


Przekrój	Ilość tężników w każdym przęśle*	Maksymalne obciążenie obliczeniowe grawitacyjne q_g [kN/m]	Maksymalne obciążenie obliczeniowe, grawitacyjne q_g [kN/m] + siła osiowa $N=10kN$	Maksymalne obciążenie obliczeniowe, unoszące q_u [kN/m]	Maksymalne obciążenie grawitacyjne charakterystyczne ze względu na ugięcia q_{ch} [kN/m]
Z-120x1	1	0,85	0,64	0,58	0,55
Z-120x1,25	1	1,30	1,08	0,89	0,73
Z-120x1,5	1	1,71	1,51	1,17	0,90
Z-120x1,75	1	2,09	1,90	1,42	1,07
Z-120x2	1	2,42	2,25	1,63	1,25
Z-120x2,5	1	3,02	2,87	1,98	1,55
Z-120x3	1	3,63	3,49	2,32	1,86
Z-150x1	1	1,07	0,78	0,69	0,90
Z-150x1,25	1	1,64	1,37	1,06	1,20
Z-150x1,5	1	2,29	2,01	1,47	1,50
Z-150x1,75	1	2,82	2,56	1,80	1,80
Z-150x2	1	3,27	3,04	2,08	2,09
Z-150x2,5	1	4,12	3,91	2,57	2,63
Z-150x3	1	4,96	4,77	3,06	3,18
Z-200x1,25	1	2,19	1,81	1,35	2,20
Z-200x1,5	1	3,06	2,69	1,88	2,91
Z-200x1,75	1	3,99	3,62	2,43	3,51
Z-200x2	1	4,88	4,52	2,98	4,14
Z-200x2,5	1	6,17	5,86	3,73	5,25
Z-200x3	1	7,46	7,18	4,52	6,35
Z-250x1,5	1	4,40	3,92	3,56	4,39
Z-250x1,75	1	5,77	5,31	4,67	5,77
Z-250x2,0	1	7,15	6,69	5,78	7,15
Z-250x2,5	1	9,96	9,51	8,05	9,97
Z-250x3	1	11,99	11,58	9,74	11,99

* - przy obciążeniach grawitacyjnych tężniki nie są potrzebne (jedynie przy obciążeniach unoszących)

Belka 1-przęsłowa, stal S350GD, poszycie z blachy Super 40, 0,60mm, 2 wkręty w fałdzie, dopuszczalne ugięcie L/150 - jeżeli $L \leq 6,0m$ lub L/200 - jeżeli $L > 6,0m$

L = 4,5 m

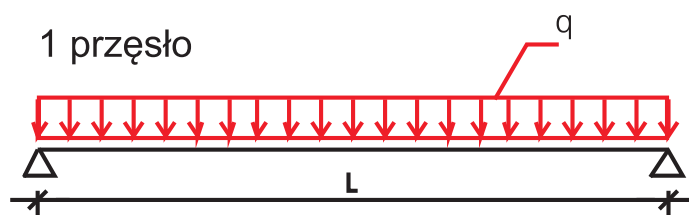


Przekrój	Ilość tężników w każdym przęśle*	Maksymalne obciążenie obliczeniowe grawitacyjne q_g [kN/m]	Maksymalne obciążenie obliczeniowe, grawitacyjne q_g [kN/m] + siła osiowa $N=10kN$	Maksymalne obciążenie obliczeniowe, unoszące q_u [kN/m]	Maksymalne obciążenie grawitacyjne charakterystyczne ze względu na ugięcia q_{ch} [kN/m]
Z-120x1	1	0,75	0,56	0,50	0,44
Z-120x1,25	1	1,14	0,94	0,77	0,60
Z-120x1,5	1	1,50	1,32	1,01	0,73
Z-120x1,75	1	1,84	1,67	1,23	0,88
Z-120x2	1	2,13	1,97	1,40	1,02
Z-120x2,5	1	2,66	2,52	1,69	1,28
Z-120x3	1	3,19	3,06	1,98	1,54
Z-150x1	1	0,94	0,69	0,58	0,74
Z-150x1,25	1	1,44	1,19	0,89	0,99
Z-150x1,5	1	2,01	1,77	1,25	1,24
Z-150x1,75	1	2,48	2,25	1,52	1,48
Z-150x2	1	2,88	2,67	1,76	1,72
Z-150x2,5	1	3,62	3,43	2,15	2,17
Z-150x3	1	4,36	4,19	2,55	2,61
Z-200x1,25	1	1,93	1,59	1,10	1,90
Z-200x1,5	1	2,69	2,37	1,54	2,39
Z-200x1,75	1	3,50	3,18	2,00	2,89
Z-200x2	1	4,28	3,97	2,45	3,41
Z-200x2,5	1	5,42	5,15	3,06	4,32
Z-200x3	1	6,56	6,31	3,69	5,23
Z-250x1,5	1	3,86	3,45	2,98	3,86
Z-250x1,75	1	5,07	4,67	3,90	5,07
Z-250x2,0	1	6,28	5,89	4,83	6,29
Z-250x2,5	1	8,76	8,37	6,73	8,75
Z-250x3	1	10,54	10,18	8,16	10,53

* - przy obciążeniach grawitacyjnych tężniki nie są potrzebne (jedynie przy obciążeniach unoszących)

Belka 1-przęsłowa, stal S350GD, poszycie z blachy Super 40, 0,60mm, 2 wkręty w fałdzie, dopuszczalne ugięcie L/150 - jeżeli $L \leq 6,0m$ lub L/200 - jeżeli $L > 6,0m$

L = 4,8 m

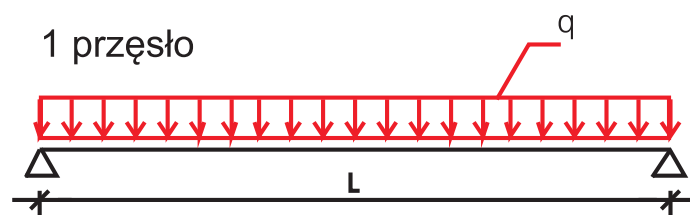


Przekrój	Ilość tężników w każdym przęśle*	Maksymalne obciążenie obliczeniowe grawitacyjne q_g [kN/m]	Maksymalne obciążenie obliczeniowe, grawitacyjne q_g [kN/m] + siła osiowa $N=10kN$	Maksymalne obciążenie obliczeniowe, unoszące q_u [kN/m]	Maksymalne obciążenie grawitacyjne charakterystyczne ze względu na ugięcia q_{ch} [kN/m]
Z-120x1	1	0,67	0,49	0,44	0,37
Z-120x1,25	1	1,01	0,84	0,68	0,50
Z-120x1,5	1	1,33	1,17	0,89	0,61
Z-120x1,75	1	1,63	1,48	1,07	0,73
Z-120x2	1	1,89	1,75	1,22	0,85
Z-120x2,5	1	2,35	2,23	1,47	1,07
Z-120x3	1	2,83	2,71	1,70	1,28
Z-150x1	1	0,83	0,62	0,49	0,62
Z-150x1,25	1	1,27	1,06	0,77	0,82
Z-150x1,5	1	1,78	1,57	1,07	1,03
Z-150x1,75	1	2,19	2,00	1,30	1,23
Z-150x2	1	2,56	2,37	1,50	1,43
Z-150x2,5	1	3,20	3,04	1,84	1,81
Z-150x3	1	3,86	3,71	2,15	2,18
Z-200x1,25	1	1,70	1,41	0,92	1,58
Z-200x1,5	1	2,38	2,09	1,28	2,00
Z-200x1,75	1	3,10	2,82	1,67	2,41
Z-200x2	1	3,80	3,52	2,04	2,84
Z-200x2,5	1	4,80	4,56	2,54	3,60
Z-200x3	1	5,81	5,59	3,05	4,36
Z-250x1,5	1	3,42	3,06	2,50	3,42
Z-250x1,75	1	4,49	4,13	3,28	4,49
Z-250x2,0	1	5,57	5,21	4,06	5,56
Z-250x2,5	1	7,76	7,40	5,66	7,29
Z-250x3	1	9,34	9,02	6,85	8,79

* - przy obciążeniach grawitacyjnych tężniki nie są potrzebne (jedynie przy obciążeniach unoszących)

Belka 1-przęsłowa, stal S350GD, poszycie z blachy Super 40, 0,60mm, 2 wkręty w fałdzie, dopuszczalne ugięcie L/150 - jeżeli $L \leq 6,0m$ lub L/200 - jeżeli $L > 6,0m$

L = 5,1 m

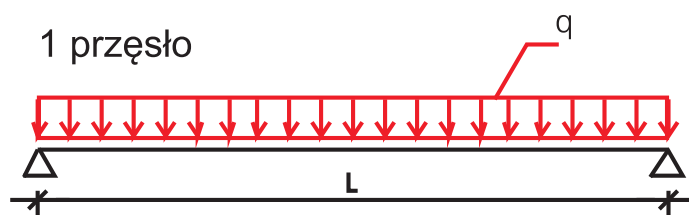


Przekrój	Ilość tężników w każdym przęśle*	Maksymalne obciążenie obliczeniowe grawitacyjne q_g [kN/m]	Maksymalne obciążenie obliczeniowe, grawitacyjne q_g [kN/m] + siła osiowa $N=10kN$	Maksymalne obciążenie obliczeniowe, unoszące q_u [kN/m]	Maksymalne obciążenie grawitacyjne charakterystyczne ze względu na ugięcia q_{ch} [kN/m]
Z-120x1	1	0,60	0,44	0,38	0,32
Z-120x1,25	1	0,89	0,75	0,59	0,41
Z-120x1,5	1	1,18	1,04	0,78	0,51
Z-120x1,75	1	1,45	1,32	0,94	0,62
Z-120x2	1	1,68	1,56	1,08	0,71
Z-120x2,5	1	2,10	1,99	1,29	0,90
Z-120x3	1	2,52	2,41	1,49	1,08
Z-150x1	1	0,75	0,55	0,42	0,52
Z-150x1,25	1	1,14	0,94	0,66	0,69
Z-150x1,5	1	1,58	1,40	0,92	0,87
Z-150x1,75	1	1,96	1,78	1,13	1,04
Z-150x2	1	2,27	2,11	1,30	1,21
Z-150x2,5	1	2,85	2,71	1,58	1,52
Z-150x3	1	3,44	3,31	1,85	1,84
Z-200x1,25	1	1,52	1,26	0,77	1,34
Z-200x1,5	1	2,12	1,87	1,09	1,69
Z-200x1,75	1	2,76	2,52	1,40	2,03
Z-200x2	1	3,38	3,14	1,72	2,39
Z-200x2,5	1	4,28	4,07	2,13	3,03
Z-200x3	1	5,18	4,99	2,55	3,67
Z-250x1,5	1	3,05	2,72	2,10	3,05
Z-250x1,75	1	4,01	3,69	2,76	3,90
Z-250x2,0	1	4,96	4,65	3,42	4,75
Z-250x2,5	1	6,92	6,60	4,77	6,14
Z-250x3	1	8,33	8,04	5,77	7,39

* - przy obciążeniach grawitacyjnych tężniki nie są potrzebne (jedynie przy obciążeniach unoszących)

Belka 1-przęsłowa, stal S350GD, poszycie z blachy Super 40, 0,60mm, 2 wkręty w fałdzie, dopuszczalne ugięcie L/150 - jeżeli $L \leq 6,0m$ lub L/200 - jeżeli $L > 6,0m$

L = 5,4 m

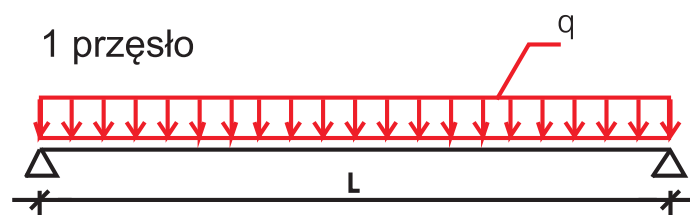


Przekrój	Ilość tężników w każdym przęśle*	Maksymalne obciążenie obliczeniowe grawitacyjne q_g [kN/m]	Maksymalne obciążenie obliczeniowe, grawitacyjne q_g [kN/m] + siła osiowa $N=10kN$	Maksymalne obciążenie obliczeniowe, unoszące q_u [kN/m]	Maksymalne obciążenie grawitacyjne charakterystyczne ze względu na ugięcia q_{ch} [kN/m]
Z-120x1	2	0,53	0,39	0,32	0,26
Z-120x1,25	2	0,81	0,67	0,49	0,35
Z-120x1,5	2	1,06	0,94	0,65	0,44
Z-120x1,75	2	1,30	1,18	0,79	0,52
Z-120x2	2	1,51	1,40	0,92	0,61
Z-120x2,5	2	1,89	1,79	1,14	0,76
Z-120x3	2	2,26	2,17	1,36	0,92
Z-150x1	2	0,67	0,49	0,40	0,44
Z-150x1,25	2	1,02	0,84	0,62	0,59
Z-150x1,5	2	1,42	1,26	0,86	0,74
Z-150x1,75	2	1,75	1,59	1,06	0,88
Z-150x2	2	2,04	1,89	1,24	1,02
Z-150x2,5	2	2,56	2,43	1,55	1,30
Z-150x3	2	3,09	2,97	1,88	1,55
Z-200x1,25	2	1,37	1,13	0,83	1,14
Z-200x1,5	2	1,90	1,68	1,16	1,43
Z-200x1,75	2	2,48	2,25	1,51	1,73
Z-200x2	2	3,03	2,82	1,86	2,04
Z-200x2,5	2	3,84	3,65	2,35	2,58
Z-200x3	2	4,65	4,47	2,86	3,12
Z-250x1,5	2	2,74	2,44	2,15	2,73
Z-250x1,75	2	3,60	3,30	2,83	3,39
Z-250x2,0	2	4,46	4,17	3,51	4,04
Z-250x2,5	2	6,21	5,93	4,90	5,22
Z-250x3	2	7,48	7,22	5,92	6,29

* - przy obciążeniach grawitacyjnych tężniki nie są potrzebne (jedynie przy obciążeniach unoszących)

Belka 1-przęsłowa, stal S350GD, poszycie z blachy Super 40, 0,60mm, 2 wkręty w fałdzie, dopuszczalne ugięcie L/150 - jeżeli $L \leq 6,0m$ lub L/200 - jeżeli $L > 6,0m$

L = 5,7 m

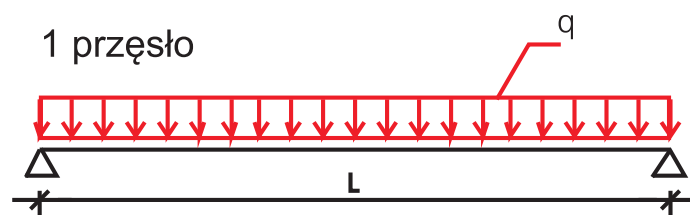


Przekrój	Ilość tężników w każdym przęśle*	Maksymalne obciążenie obliczeniowe grawitacyjne q_g [kN/m]	Maksymalne obciążenie obliczeniowe, grawitacyjne q_g [kN/m] + siła osiowa $N=10kN$	Maksymalne obciążenie obliczeniowe, unoszące q_u [kN/m]	Maksymalne obciążenie grawitacyjne charakterystyczne ze względu na ugięcia q_{ch} [kN/m]
Z-120x1	2	0,48	0,35	0,28	0,23
Z-120x1,25	2	0,73	0,60	0,42	0,30
Z-120x1,5	2	0,96	0,84	0,56	0,38
Z-120x1,75	2	1,17	1,07	0,68	0,45
Z-120x2	2	1,36	1,27	0,80	0,52
Z-120x2,5	2	1,70	1,61	0,97	0,65
Z-120x3	2	2,04	1,96	1,17	0,78
Z-150x1	2	0,60	0,44	0,34	0,38
Z-150x1,25	2	0,92	0,77	0,53	0,50
Z-150x1,5	2	1,29	1,13	0,74	0,64
Z-150x1,75	2	1,59	1,44	0,91	0,75
Z-150x2	2	1,84	1,71	1,06	0,88
Z-150x2,5	2	2,32	2,19	1,33	1,11
Z-150x3	2	2,79	2,68	1,60	1,34
Z-200x1,25	2	1,23	1,02	0,71	0,97
Z-200x1,5	2	1,72	1,52	0,98	1,22
Z-200x1,75	2	2,24	2,03	1,28	1,48
Z-200x2	2	2,74	2,55	1,58	1,74
Z-200x2,5	2	3,46	3,29	2,00	2,21
Z-200x3	2	4,19	4,03	2,44	2,67
Z-250x1,5	2	2,47	2,20	1,88	2,44
Z-250x1,75	2	3,25	2,98	2,47	2,95
Z-250x2,0	2	4,03	3,77	3,05	3,46
Z-250x2,5	2	5,60	5,35	4,27	4,47
Z-250x3	2	6,74	6,51	5,16	5,40

* - przy obciążeniach grawitacyjnych tężniki nie są potrzebne (jedynie przy obciążeniach unoszących)

Belka 1-przęsłowa, stal S350GD, poszycie z blachy Super 40, 0,60mm, 2 wkręty w fałdzie, dopuszczalne ugięcie L/150 - jeżeli $L \leq 6,0m$ lub L/200 - jeżeli $L > 6,0m$

L = 6,0 m

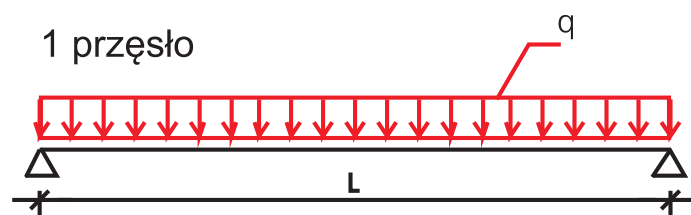


Przekrój	Ilość tężników w każdym przęśle*	Maksymalne obciążenie obliczeniowe grawitacyjne q_g [kN/m]	Maksymalne obciążenie obliczeniowe, grawitacyjne q_g [kN/m] + siła osiowa $N=10kN$	Maksymalne obciążenie obliczeniowe, unoszące q_u [kN/m]	Maksymalne obciążenie grawitacyjne charakterystyczne ze względu na ugięcia q_{ch} [kN/m]
Z-120x1	2	0,44	0,32	0,24	0,15
Z-120x1,25	2	0,65	0,55	0,37	0,20
Z-120x1,5	2	0,87	0,76	0,49	0,24
Z-120x1,75	2	1,06	0,97	0,59	0,28
Z-120x2	2	1,23	1,15	0,69	0,34
Z-120x2,5	2	1,54	1,47	0,85	0,42
Z-120x3	2	1,85	1,78	1,01	0,50
Z-150x1	2	0,55	0,40	0,29	0,24
Z-150x1,25	2	0,84	0,70	0,45	0,33
Z-150x1,5	2	1,16	1,03	0,63	0,41
Z-150x1,75	2	1,44	1,30	0,78	0,48
Z-150x2	2	1,67	1,55	0,91	0,57
Z-150x2,5	2	2,10	1,99	1,13	0,71
Z-150x3	2	2,53	2,43	1,37	0,87
Z-200x1,25	2	1,12	0,92	0,60	0,63
Z-200x1,5	2	1,56	1,37	0,84	0,79
Z-200x1,75	2	2,03	1,84	1,09	0,95
Z-200x2	2	2,49	2,30	1,35	1,12
Z-200x2,5	2	3,15	2,99	1,71	1,43
Z-200x3	2	3,81	3,66	2,08	1,73
Z-250x1,5	2	2,24	2,00	1,63	1,58
Z-250x1,75	2	2,94	2,71	2,15	1,91
Z-250x2,0	2	3,65	3,42	2,67	2,24
Z-250x2,5	2	5,08	4,85	3,73	2,90
Z-250x3	2	6,12	5,91	4,52	3,49

* - przy obciążeniach grawitacyjnych tężniki nie są potrzebne (jedynie przy obciążeniach unoszących)

Belka 1-przęsłowa, stal S350GD, poszycie z blachy Super 40, 0,60mm, 2 wkręty w fałdzie, dopuszczalne ugięcie L/150 - jeżeli $L \leq 6,0m$ lub L/200 - jeżeli $L > 6,0m$

L = 6,3 m

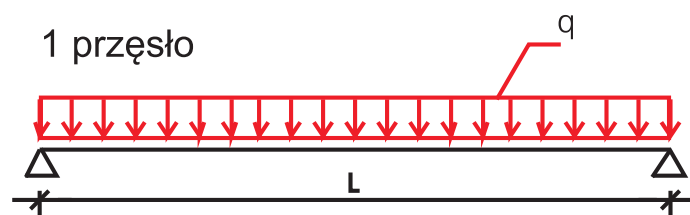


Przekrój	Ilość tężników w każdym przęśle*	Maksymalne obciążenie obliczeniowe grawitacyjne q_g [kN/m]	Maksymalne obciążenie obliczeniowe, grawitacyjne q_g [kN/m] + siła osiowa $N=10kN$	Maksymalne obciążenie obliczeniowe, unoszące q_u [kN/m]	Maksymalne obciążenie grawitacyjne charakterystyczne ze względu na ugięcia q_{ch} [kN/m]
Z-120x1	2	0,40	0,29	0,21	0,13
Z-120x1,25	2	0,60	0,50	0,32	0,17
Z-120x1,5	2	0,79	0,69	0,43	0,20
Z-120x1,75	2	0,97	0,89	0,52	0,25
Z-120x2	2	1,13	1,04	0,61	0,29
Z-120x2,5	2	1,40	1,33	0,74	0,37
Z-120x3	2	1,68	1,61	0,87	0,44
Z-150x1	2	0,49	0,37	0,25	0,22
Z-150x1,25	2	0,76	0,63	0,39	0,28
Z-150x1,5	2	1,06	0,93	0,55	0,35
Z-150x1,75	2	1,31	1,19	0,67	0,43
Z-150x2	2	1,52	1,41	0,79	0,49
Z-150x2,5	2	1,91	1,82	0,98	0,62
Z-150x3	2	2,30	2,21	1,18	0,75
Z-200x1,25	2	1,01	0,84	0,51	0,55
Z-200x1,5	2	1,42	1,25	0,71	0,69
Z-200x1,75	2	1,85	1,68	0,94	0,84
Z-200x2	2	2,27	2,10	1,16	0,98
Z-200x2,5	2	2,86	2,72	1,46	1,24
Z-200x3	2	3,47	3,34	1,78	1,50
Z-250x1,5	2	2,04	1,82	1,43	1,38
Z-250x1,75	2	2,68	2,47	1,89	1,66
Z-250x2,0	2	3,32	3,11	2,34	1,95
Z-250x2,5	2	4,63	4,42	3,27	2,51
Z-250x3	2	5,58	5,38	3,96	3,03

* - przy obciążeniach grawitacyjnych tężniki nie są potrzebne (jedynie przy obciążeniach unoszących)

Belka 1-przęsłowa, stal S350GD, poszycie z blachy Super 40, 0,60mm, 2 wkręty w fałdzie, dopuszczalne ugięcie L/150 - jeżeli $L \leq 6,0m$ lub L/200 - jeżeli $L > 6,0m$

L = 6,6 m

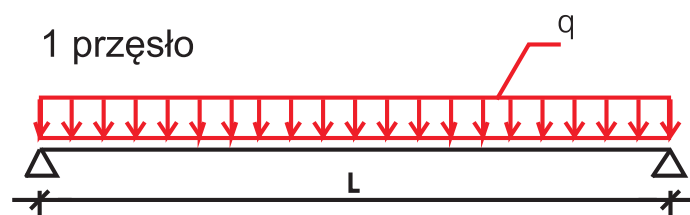


Przekrój	Ilość tężników w każdym przęśle*	Maksymalne obciążenie obliczeniowe grawitacyjne q_g [kN/m]	Maksymalne obciążenie obliczeniowe, grawitacyjne q_g [kN/m] + siła osiowa $N=10kN$	Maksymalne obciążenie obliczeniowe, unoszące q_u [kN/m]	Maksymalne obciążenie grawitacyjne charakterystyczne ze względu na ugięcia q_{ch} [kN/m]
Z-120x1	2	0,36	0,26	0,18	0,11
Z-120x1,25	2	0,54	0,46	0,29	0,15
Z-120x1,5	2	0,72	0,64	0,38	0,18
Z-120x1,75	2	0,89	0,81	0,46	0,22
Z-120x2	2	1,03	0,95	0,54	0,25
Z-120x2,5	2	1,28	1,22	0,65	0,32
Z-120x3	2	1,54	1,48	0,77	0,39
Z-150x1	2	0,45	0,34	0,22	0,18
Z-150x1,25	2	0,69	0,58	0,34	0,25
Z-150x1,5	2	0,97	0,85	0,48	0,31
Z-150x1,75	2	1,20	1,09	0,59	0,37
Z-150x2	2	1,39	1,29	0,68	0,43
Z-150x2,5	2	1,75	1,66	0,85	0,54
Z-150x3	2	2,10	2,02	1,02	0,65
Z-200x1,25	2	0,93	0,77	0,44	0,47
Z-200x1,5	2	1,30	1,14	0,61	0,60
Z-200x1,75	2	1,69	1,54	0,81	0,72
Z-200x2	2	2,07	1,92	1,00	0,86
Z-200x2,5	2	2,62	2,49	1,26	1,09
Z-200x3	2	3,17	3,05	1,54	1,32
Z-250x1,5	2	1,87	1,67	1,25	1,20
Z-250x1,75	2	2,46	2,26	1,65	1,45
Z-250x2,0	2	3,04	2,85	2,05	1,70
Z-250x2,5	2	4,23	4,05	2,87	2,20
Z-250x3	2	5,10	4,93	3,48	2,66

* - przy obciążeniach grawitacyjnych tężniki nie są potrzebne (jedynie przy obciążeniach unoszących)

Belka 1-przęsłowa, stal S350GD, poszycie z blachy Super 40, 0,60mm, 2 wkręty w fałdzie, dopuszczalne ugięcie L/150 - jeżeli $L \leq 6,0m$ lub L/200 - jeżeli $L > 6,0m$

L = 6,9 m

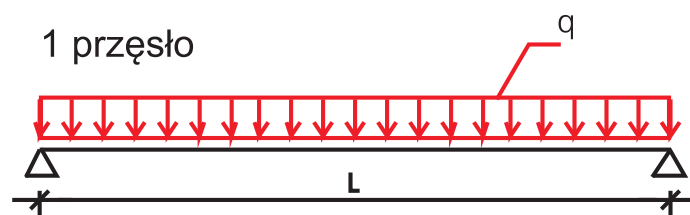


Przekrój	Ilość tężników w każdym przęśle*	Maksymalne obciążenie obliczeniowe grawitacyjne q_g [kN/m]	Maksymalne obciążenie obliczeniowe, grawitacyjne q_g [kN/m] + siła osiowa $N=10kN$	Maksymalne obciążenie obliczeniowe, unoszące q_u [kN/m]	Maksymalne obciążenie grawitacyjne charakterystyczne ze względu na ugięcia q_{ch} [kN/m]
Z-120x1	2	0,34	0,24	0,17	0,09
Z-120x1,25	2	0,50	0,42	0,26	0,13
Z-120x1,5	2	0,66	0,59	0,34	0,16
Z-120x1,75	2	0,81	0,74	0,42	0,19
Z-120x2	2	0,94	0,88	0,48	0,22
Z-120x2,5	2	1,18	1,12	0,58	0,28
Z-120x3	2	1,42	1,36	0,68	0,34
Z-150x1	2	0,41	0,31	0,19	0,16
Z-150x1,25	2	0,64	0,53	0,30	0,22
Z-150x1,5	2	0,89	0,78	0,42	0,27
Z-150x1,75	2	1,10	1,00	0,52	0,33
Z-150x2	2	1,28	1,18	0,60	0,38
Z-150x2,5	2	1,60	1,52	0,74	0,48
Z-150x3	2	1,94	1,85	0,89	0,58
Z-200x1,25	2	0,85	0,71	0,38	0,42
Z-200x1,5	2	1,19	1,05	0,54	0,53
Z-200x1,75	2	1,56	1,42	0,70	0,64
Z-200x2	2	1,90	1,77	0,86	0,76
Z-200x2,5	2	2,40	2,29	1,09	0,96
Z-200x3	2	2,91	2,80	1,33	1,16
Z-250x1,5	2	1,72	1,53	1,11	1,06
Z-250x1,75	2	2,25	2,07	1,45	1,28
Z-250x2,0	2	2,79	2,61	1,80	1,50
Z-250x2,5	2	3,89	3,71	2,52	1,94
Z-250x3	2	4,68	4,52	3,06	2,33

* - przy obciążeniach grawitacyjnych tężniki nie są potrzebne (jedynie przy obciążeniach unoszących)

Belka 1-przęsłowa, stal S350GD, poszycie z blachy Super 40, 0,60mm, 2 wkręty w fałdzie, dopuszczalne ugięcie L/150 - jeżeli $L \leq 6,0m$ lub L/200 - jeżeli $L > 6,0m$

L = 7,2 m

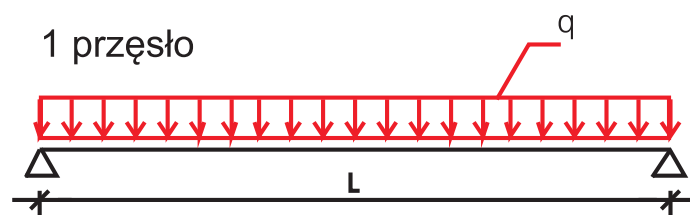


Przekrój	Ilość tężników w każdym przęśle*	Maksymalne obciążenie obliczeniowe grawitacyjne q_g [kN/m]	Maksymalne obciążenie obliczeniowe, grawitacyjne q_g [kN/m] + siła osiowa $N=10kN$	Maksymalne obciążenie obliczeniowe, unoszące q_u [kN/m]	Maksymalne obciążenie grawitacyjne charakterystyczne ze względu na ugięcia q_{ch} [kN/m]
Z-120x1	3	0,31	0,23	0,19	0,08
Z-120x1,25	3	0,46	0,38	0,29	0,12
Z-120x1,5	3	0,61	0,53	0,39	0,15
Z-120x1,75	3	0,75	0,68	0,46	0,17
Z-120x2	3	0,87	0,80	0,54	0,19
Z-120x2,5	3	1,09	1,03	0,68	0,25
Z-120x3	3	1,30	1,25	0,81	0,29
Z-150x1	3	0,38	0,28	0,24	0,14
Z-150x1,25	3	0,58	0,49	0,36	0,19
Z-150x1,5	3	0,82	0,72	0,52	0,24
Z-150x1,75	3	1,01	0,92	0,63	0,29
Z-150x2	3	1,17	1,09	0,74	0,33
Z-150x2,5	3	1,48	1,40	0,93	0,42
Z-150x3	3	1,78	1,71	1,12	0,51
Z-200x1,25	3	0,78	0,65	0,49	0,37
Z-200x1,5	3	1,10	0,96	0,69	0,46
Z-200x1,75	3	1,43	1,30	0,89	0,56
Z-200x2	3	1,75	1,62	1,11	0,67
Z-200x2,5	3	2,22	2,10	1,40	0,84
Z-200x3	3	2,68	2,58	1,70	1,03
Z-250x1,5	3	1,58	1,41	1,26	0,93
Z-250x1,75	3	2,08	1,91	1,66	1,13
Z-250x2,0	3	2,57	2,40	2,06	1,33
Z-250x2,5	3	3,58	3,43	2,88	1,71
Z-250x3	3	4,31	4,16	3,48	2,06

* - przy obciążeniach grawitacyjnych tężniki nie są potrzebne (jedynie przy obciążeniach unoszących)

Belka 1-przęsłowa, stal S350GD, poszycie z blachy Super 40, 0,60mm, 2 wkręty w fałdzie, dopuszczalne ugięcie L/150 - jeżeli $L \leq 6,0m$ lub L/200 - jeżeli $L > 6,0m$

L = 7,5 m

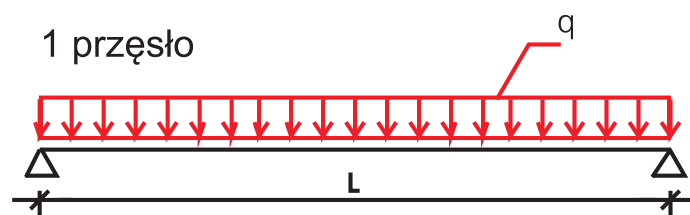


Przekrój	Ilość tężników w każdym przęśle*	Maksymalne obciążenie obliczeniowe grawitacyjne q_g [kN/m]	Maksymalne obciążenie obliczeniowe, grawitacyjne q_g [kN/m] + siła osiowa $N=10kN$	Maksymalne obciążenie obliczeniowe, unoszące q_u [kN/m]	Maksymalne obciążenie grawitacyjne charakterystyczne ze względu na ugięcia q_{ch} [kN/m]
Z-120x1	3	0,28	0,21	0,17	0,08
Z-120x1,25	3	0,43	0,36	0,26	0,10
Z-120x1,5	3	0,57	0,49	0,34	0,13
Z-120x1,75	3	0,69	0,63	0,42	0,15
Z-120x2	3	0,81	0,74	0,49	0,18
Z-120x2,5	3	1,00	0,95	0,60	0,22
Z-120x3	3	1,21	1,15	0,72	0,26
Z-150x1	3	0,35	0,26	0,21	0,13
Z-150x1,25	3	0,54	0,45	0,32	0,17
Z-150x1,5	3	0,76	0,67	0,45	0,22
Z-150x1,75	3	0,93	0,85	0,56	0,25
Z-150x2	3	1,08	1,01	0,65	0,29
Z-150x2,5	3	1,37	1,29	0,82	0,38
Z-150x3	3	1,65	1,58	0,99	0,45
Z-200x1,25	3	0,73	0,61	0,43	0,32
Z-200x1,5	3	1,01	0,89	0,60	0,41
Z-200x1,75	3	1,33	1,20	0,79	0,50
Z-200x2	3	1,62	1,50	0,97	0,59
Z-200x2,5	3	2,05	1,95	1,24	0,75
Z-200x3	3	2,48	2,39	1,51	0,91
Z-250x1,5	3	1,46	1,30	1,14	0,83
Z-250x1,75	3	1,92	1,76	1,50	1,01
Z-250x2,0	3	2,37	2,22	1,86	1,18
Z-250x2,5	3	3,31	3,16	2,59	1,53
Z-250x3	3	3,99	3,86	3,14	1,83

* - przy obciążeniach grawitacyjnych tężniki nie są potrzebne (jedynie przy obciążeniach unoszących)

Belka 1-przęsłowa, stal S350GD, poszycie z blachy Super 40, 0,60mm, 2 wkręty w fałdzie, dopuszczalne ugięcie L/150 - jeżeli $L \leq 6,0m$ lub L/200 - jeżeli $L > 6,0m$

L = 7,8 m

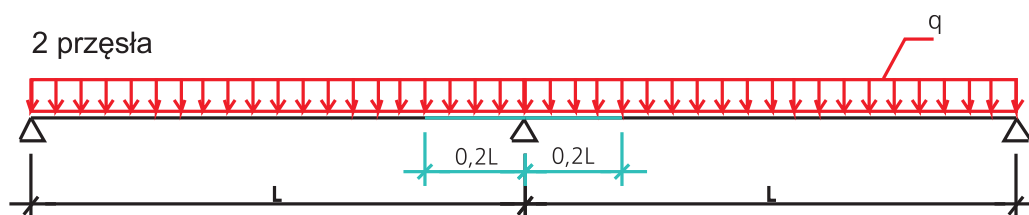


Przekrój	Ilość tężników w każdym przęśle*	Maksymalne obciążenie obliczeniowe grawitacyjne q_g [kN/m]	Maksymalne obciążenie obliczeniowe, grawitacyjne q_g [kN/m] + siła osiowa $N=10kN$	Maksymalne obciążenie obliczeniowe, unoszące q_u [kN/m]	Maksymalne obciążenie grawitacyjne charakterystyczne ze względu na ugięcia q_{ch} [kN/m]
Z-120x1	3	0,27	0,19	0,15	0,06
Z-120x1,25	3	0,40	0,33	0,23	0,09
Z-120x1,5	3	0,52	0,46	0,30	0,11
Z-120x1,75	3	0,64	0,58	0,38	0,13
Z-120x2	3	0,75	0,69	0,43	0,16
Z-120x2,5	3	0,93	0,88	0,53	0,19
Z-120x3	3	1,12	1,08	0,64	0,24
Z-150x1	3	0,32	0,24	0,18	0,11
Z-150x1,25	3	0,50	0,42	0,29	0,15
Z-150x1,5	3	0,70	0,62	0,40	0,19
Z-150x1,75	3	0,87	0,79	0,50	0,22
Z-150x2	3	1,01	0,93	0,58	0,27
Z-150x2,5	3	1,27	1,21	0,73	0,33
Z-150x3	3	1,53	1,46	0,88	0,41
Z-200x1,25	3	0,68	0,56	0,39	0,30
Z-200x1,5	3	0,94	0,83	0,54	0,37
Z-200x1,75	3	1,22	1,12	0,70	0,45
Z-200x2	3	1,50	1,39	0,87	0,53
Z-200x2,5	3	1,90	1,81	1,09	0,67
Z-200x3	3	2,30	2,21	1,33	0,81
Z-250x1,5	3	1,36	1,21	1,03	0,74
Z-250x1,75	3	1,78	1,64	1,35	0,90
Z-250x2,0	3	2,20	2,06	1,68	1,05
Z-250x2,5	3	3,07	2,93	2,34	1,36
Z-250x3	3	3,70	3,58	2,83	1,64

* - przy obciążeniach grawitacyjnych tężniki nie są potrzebne (jedynie przy obciążeniach unoszących)

Belka 1-przęsłowa, stal S350GD, poszycie z blachy Super 40, 0,60mm, 2 wkręty w fałdzie, dopuszczalne ugięcie L/150 - jeżeli $L \leq 6,0m$ lub L/200 - jeżeli $L > 6,0m$

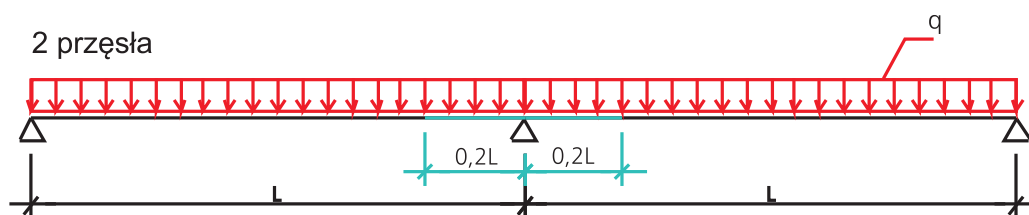
L = 8,1 m



Przekrój	Ilość tężników w każdym przęśle	Maksymalne obciążenie obliczeniowe grawitacyjne q_g [kN/m]	Maksymalne obciążenie obliczeniowe, grawitacyjne q_g [kN/m] + siła osiowa $N=10kN$	Maksymalne obciążenie obliczeniowe, unoszące q_u [kN/m]	Maksymalne obciążenie grawitacyjne charakterystyczne ze względu na ugięcia q_{ch} [kN/m]
Z-120x1	0	1,77	1,26	2,42	1,77
Z-120x1,25	0	2,53	2,08	3,54	2,53
Z-120x1,5	0	3,24	2,83	4,55	3,24
Z-120x1,75	0	3,89	3,50	5,46	3,89
Z-120x2	0	4,49	4,14	6,23	4,49
Z-120x2,5	0	5,53	5,21	7,58	5,53
Z-120x3	0	6,57	6,28	8,88	6,57
Z-150x1	0	2,13	1,50	2,95	2,13
Z-150x1,25	0	3,06	2,49	4,35	3,06
Z-150x1,5	0	4,03	3,50	5,84	4,04
Z-150x1,75	0	4,86	4,37	7,05	4,86
Z-150x2	0	5,65	5,20	8,09	5,65
Z-150x2,5	0	7,03	6,63	9,96	7,03
Z-150x3	0	8,46	8,09	11,78	8,45
Z-200x1,25	0	4,05	3,25	5,85	4,04
Z-200x1,5	0	5,33	4,59	7,91	5,33
Z-200x1,75	0	6,62	5,93	9,98	6,62
Z-200x2	0	7,93	7,28	11,93	7,93
Z-200x2,5	0	9,98	9,41	14,85	9,99
Z-200x3	0	12,12	11,60	17,71	12,13
Z-250x1,5	0	8,30	7,37	10,71	8,30
Z-250x1,75	0	10,24	9,36	16,77	10,24
Z-250x2,0	0	12,18	11,36	22,83	12,19
Z-250x2,5	0	15,90	15,14	31,48	15,89
Z-250x3	0	18,95	18,28	38,31	18,95

Belka 2-przęslowa, stal S350GD, poszycie z blachy Super 40, 0,60mm, 2 wkręty w faldzie, zakłady 10% i 20% liczone do śrub, dopuszczalne ugięcie L/150 - jeżeli $L \leq 6,0m$ lub L/200 - jeżeli $L > 6,0m$

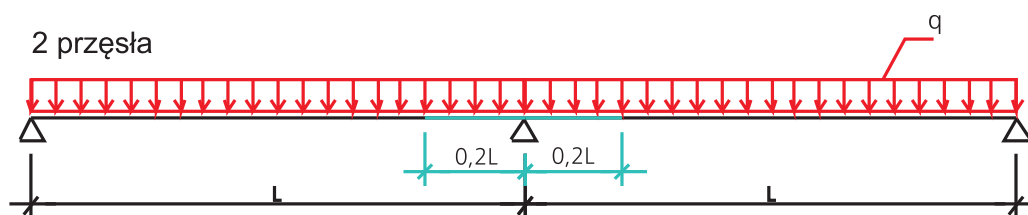
L = 3,0 m



Przekrój	Ilość tężników w każdym przęśle	Maksymalne obciążenie obliczeniowe grawitacyjne q_g [kN/m]	Maksymalne obciążenie obliczeniowe, grawitacyjne q_g [kN/m] + siła osiowa $N=10kN$	Maksymalne obciążenie obliczeniowe, unoszące q_u [kN/m]	Maksymalne obciążenie grawitacyjne charakterystyczne ze względu na ugięcia q_{ch} [kN/m]
Z-120x1	0	1,52	1,08	2,02	1,51
Z-120x1,25	0	2,20	1,80	2,98	2,20
Z-120x1,5	0	2,83	2,46	3,85	2,83
Z-120x1,75	0	3,39	3,05	4,62	3,39
Z-120x2	0	3,91	3,60	5,27	3,91
Z-120x2,5	0	4,78	4,50	6,37	4,78
Z-120x3	0	5,65	5,40	7,42	5,65
Z-150x1	0	1,79	1,25	2,41	1,80
Z-150x1,25	0	2,61	2,11	3,58	2,60
Z-150x1,5	0	3,45	2,99	4,84	3,45
Z-150x1,75	0	4,16	3,74	5,85	4,16
Z-150x2	0	4,83	4,43	6,70	4,83
Z-150x2,5	0	5,97	5,63	8,21	5,97
Z-150x3	0	7,14	6,82	9,66	7,15
Z-200x1,25	0	3,36	2,66	4,68	3,35
Z-200x1,5	0	4,44	3,81	6,36	4,44
Z-200x1,75	0	5,53	4,93	8,05	5,53
Z-200x2	0	6,62	6,05	9,61	6,61
Z-200x2,5	0	8,30	7,80	11,94	8,31
Z-200x3	0	10,04	9,60	14,19	10,04
Z-250x1,5	0	6,81	6,02	9,46	6,81
Z-250x1,75	0	8,42	7,67	13,86	8,42
Z-250x2,0	0	10,03	9,33	18,27	10,02
Z-250x2,5	0	13,09	12,45	25,19	13,08
Z-250x3	0	15,59	15,01	30,62	15,59

Belka 2-przęslowa, stal S350GD, poszycie z blachy Super 40, 0,60mm, 2 wkręty w faldzie, zakłady 10% i 20% liczone do śrub, dopuszczalne ugięcie L/150 - jeżeli $L \leq 6,0m$ lub L/200 - jeżeli $L > 6,0m$

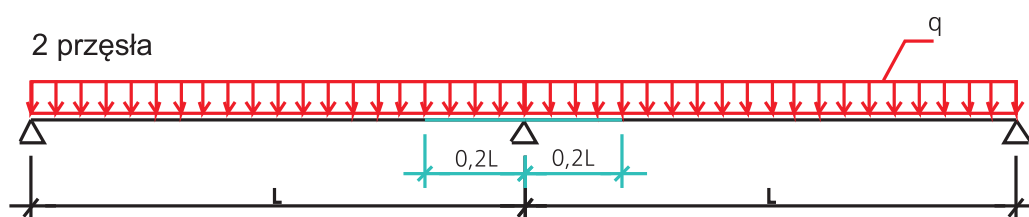
L = 3,3 m



Przekrój	Ilość tężników w każdym przęśle	Maksymalne obciążenie obliczeniowe grawitacyjne q_g [kN/m]	Maksymalne obciążenie obliczeniowe, grawitacyjne q_g [kN/m] + siła osiowa $N=10kN$	Maksymalne obciążenie obliczeniowe, unoszące q_u [kN/m]	Maksymalne obciążenie grawitacyjne charakterystyczne ze względu na ugięcia q_{ch} [kN/m]
Z-120x1	0	1,33	0,94	1,71	1,32
Z-120x1,25	0	1,94	1,58	2,55	1,94
Z-120x1,5	0	2,50	2,17	3,32	2,51
Z-120x1,75	0	3,01	2,71	3,98	3,01
Z-120x2	0	3,46	3,18	4,53	3,46
Z-120x2,5	0	4,22	3,97	5,47	4,22
Z-120x3	0	4,96	4,74	6,33	4,96
Z-150x1	0	1,54	1,06	2,00	1,54
Z-150x1,25	0	2,26	1,82	3,01	2,26
Z-150x1,5	0	3,02	2,60	4,10	3,02
Z-150x1,75	0	3,64	3,26	4,95	3,65
Z-150x2	0	4,21	3,86	5,66	4,21
Z-150x2,5	0	5,20	4,88	6,91	5,19
Z-150x3	0	6,17	5,88	8,08	6,17
Z-200x1,25	0	2,84	2,23	3,82	2,83
Z-200x1,5	0	3,78	3,23	5,22	3,78
Z-200x1,75	0	4,72	4,19	6,61	4,72
Z-200x2	0	5,64	5,15	7,91	5,65
Z-200x2,5	0	7,05	6,62	9,78	7,06
Z-200x3	0	8,49	8,09	11,59	8,49
Z-250x1,5	0	5,69	5,02	8,43	5,69
Z-250x1,75	0	7,05	6,40	11,63	7,04
Z-250x2,0	0	8,40	7,79	14,84	8,40
Z-250x2,5	0	10,97	10,42	20,44	10,97
Z-250x3	0	13,05	12,56	24,82	13,05

Belka 2-przęslowa, stal S350GD, poszycie z blachy Super 40, 0,60mm, 2 wkręty w faldzie, zakłady 10% i 20% liczone do śrub, dopuszczalne ugięcie L/150 - jeżeli $L \leq 6,0m$ lub L/200 - jeżeli $L > 6,0m$

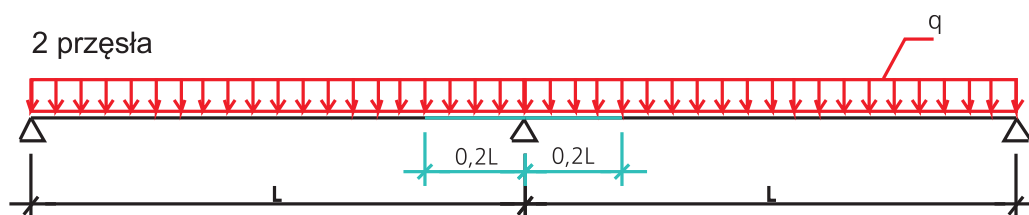
L = 3,6 m



Przekrój	Ilość tężników w każdym przęśle	Maksymalne obciążenie obliczeniowe grawitacyjne q_g [kN/m]	Maksymalne obciążenie obliczeniowe, grawitacyjne q_g [kN/m] + siła osiowa $N=10kN$	Maksymalne obciążenie obliczeniowe, unoszące q_u [kN/m]	Maksymalne obciążenie grawitacyjne charakterystyczne ze względu na ugięcia q_{ch} [kN/m]
Z-120x1	0	1,18	0,82	1,48	1,18
Z-120x1,25	0	1,73	1,41	2,22	1,73
Z-120x1,5	0	2,25	1,94	2,89	2,25
Z-120x1,75	0	2,70	2,43	3,47	2,70
Z-120x2	0	3,10	2,85	3,95	3,10
Z-120x2,5	0	3,78	3,54	4,75	3,77
Z-120x3	0	4,41	4,21	5,48	4,42
Z-150x1	0	1,35	0,92	1,70	1,35
Z-150x1,25	0	2,00	1,60	2,58	2,00
Z-150x1,5	0	2,68	2,30	3,51	2,68
Z-150x1,75	0	3,24	2,89	4,26	3,24
Z-150x2	0	3,74	3,42	4,87	3,74
Z-150x2,5	0	4,59	4,31	5,91	4,59
Z-150x3	0	5,42	5,16	6,88	5,42
Z-200x1,25	0	2,44	1,91	3,17	2,44
Z-200x1,5	0	3,28	2,78	4,35	3,28
Z-200x1,75	0	4,10	3,63	5,53	4,10
Z-200x2	0	4,90	4,46	6,61	4,90
Z-200x2,5	0	6,10	5,72	8,16	6,10
Z-200x3	0	7,31	6,96	9,62	7,31
Z-250x1,5	0	4,83	4,23	7,56	4,82
Z-250x1,75	0	5,99	5,42	9,88	5,98
Z-250x2,0	0	7,15	6,62	12,21	7,14
Z-250x2,5	0	9,33	8,85	16,81	9,34
Z-250x3	0	11,10	10,65	20,37	11,09

Belka 2-przęslowa, stal S350GD, poszycie z blachy Super 40, 0,60mm, 2 wkręty w faldzie, zakłady 10% i 20% liczone do śrub, dopuszczalne ugięcie L/150 - jeżeli $L \leq 6,0m$ lub L/200 - jeżeli $L > 6,0m$

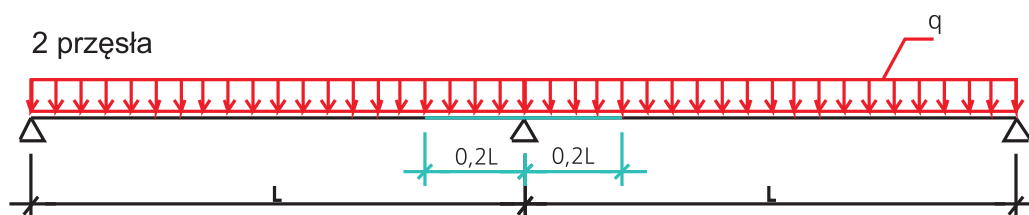
L = 3,9 m



Przekrój	Ilość tężników w każdym przęśle	Maksymalne obciążenie obliczeniowe grawitacyjne q_g [kN/m]	Maksymalne obciążenie obliczeniowe, grawitacyjne q_g [kN/m] + siła osiowa $N=10kN$	Maksymalne obciążenie obliczeniowe, unoszące q_u [kN/m]	Maksymalne obciążenie grawitacyjne charakterystyczne ze względu na ugięcia q_{ch} [kN/m]
Z-120x1	1	1,34	0,99	1,31	1,34
Z-120x1,25	1	1,96	1,63	1,95	1,96
Z-120x1,5	1	2,54	2,24	2,52	2,54
Z-120x1,75	1	3,08	2,80	3,05	3,08
Z-120x2	1	3,58	3,32	3,50	3,58
Z-120x2,5	1	4,46	4,23	4,29	4,47
Z-120x3	1	5,37	5,15	5,07	5,37
Z-150x1	1	1,68	1,23	1,60	1,68
Z-150x1,25	1	2,49	2,06	2,40	2,48
Z-150x1,5	1	3,36	2,96	3,28	3,37
Z-150x1,75	1	4,10	3,72	4,00	4,10
Z-150x2	1	4,79	4,44	4,63	4,79
Z-150x2,5	1	6,02	5,70	5,75	6,01
Z-150x3	1	7,28	6,99	6,86	7,28
Z-200x1,25	1	3,36	2,77	3,21	3,36
Z-200x1,5	1	4,57	4,01	4,41	4,57
Z-200x1,75	1	5,83	5,28	5,66	5,83
Z-200x2	1	7,07	6,55	6,88	7,07
Z-200x2,5	1	8,95	8,49	8,64	8,95
Z-200x3	1	10,89	10,48	10,44	10,89
Z-250x1,5	1	6,81	6,15	6,81	6,81
Z-250x1,75	1	8,76	8,09	10,10	8,76
Z-250x2,0	1	10,71	10,03	13,38	10,72
Z-250x2,5	1	14,50	13,84	18,94	14,49
Z-250x3	1	17,39	16,80	23,00	17,39

Belka 2-przęslowa, stal S350GD, poszycie z blachy Super 40, 0,60mm, 2 wkręty w faldzie, zakłady 10% i 20% liczone do śrub, dopuszczalne ugięcie L/150 - jeżeli $L \leq 6,0m$ lub L/200 - jeżeli $L > 6,0m$

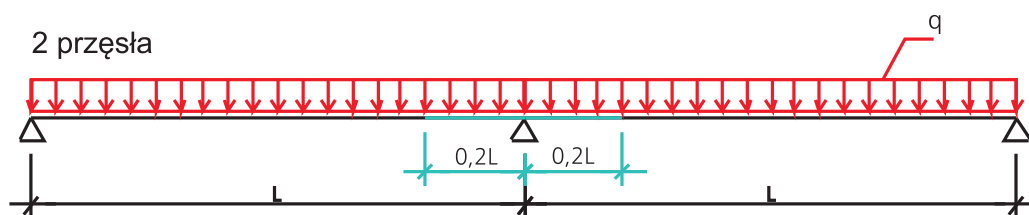
L = 4,2 m



Przekrój	Ilość tężników w każdym przęśle	Maksymalne obciążenie obliczeniowe grawitacyjne q_g [kN/m]	Maksymalne obciążenie obliczeniowe, grawitacyjne q_g [kN/m] + siła osiowa $N=10kN$	Maksymalne obciążenie obliczeniowe, unoszące q_u [kN/m]	Maksymalne obciążenie grawitacyjne charakterystyczne ze względu na ugięcia q_{ch} [kN/m]
Z-120x1	1	1,16	0,85	1,10	1,15
Z-120x1,25	1	1,70	1,41	1,66	1,70
Z-120x1,5	1	2,20	1,94	2,15	2,20
Z-120x1,75	1	2,67	2,42	2,59	2,68
Z-120x2	1	3,10	2,88	2,98	3,11
Z-120x2,5	1	3,86	3,66	3,63	3,87
Z-120x3	1	4,64	4,45	4,26	4,63
Z-150x1	1	1,44	1,05	1,32	1,44
Z-150x1,25	1	2,14	1,76	2,00	2,14
Z-150x1,5	1	2,90	2,54	2,74	2,90
Z-150x1,75	1	3,54	3,20	3,34	3,54
Z-150x2	1	4,13	3,82	3,86	4,13
Z-150x2,5	1	5,18	4,91	4,76	5,18
Z-150x3	1	6,26	6,01	5,67	6,26
Z-200x1,25	1	2,88	2,36	2,60	2,88
Z-200x1,5	1	3,91	3,42	3,60	3,92
Z-200x1,75	1	4,99	4,51	4,61	4,99
Z-200x2	1	6,07	5,61	5,61	6,07
Z-200x2,5	1	7,68	7,27	7,05	7,67
Z-200x3	1	9,33	8,96	8,49	9,33
Z-250x1,5	1	6,00	5,36	6,16	6,01
Z-250x1,75	1	7,67	7,05	8,77	7,67
Z-250x2,0	1	9,34	8,74	11,38	9,34
Z-250x2,5	1	12,63	12,07	15,81	12,63
Z-250x3	1	15,15	14,64	19,20	15,16

Belka 2-przęslowa, stal S350GD, poszycie z blachy Super 40, 0,60mm, 2 wkręty w faldzie, zakłady 10% i 20% liczone do śrub, dopuszczalne ugięcie L/150 - jeżeli $L \leq 6,0m$ lub L/200 - jeżeli $L > 6,0m$

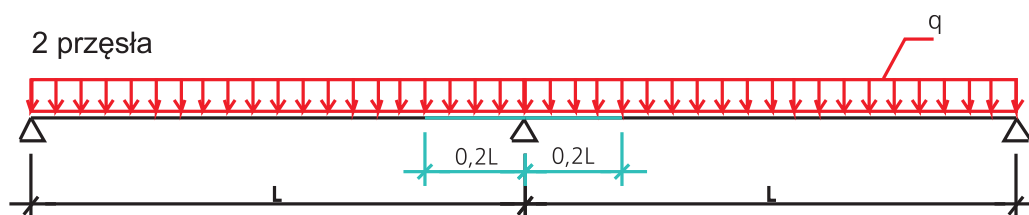
L = 4,5 m



Przekrój	Ilość tężników w każdym przęśle	Maksymalne obciążenie obliczeniowe grawitacyjne q_g [kN/m]	Maksymalne obciążenie obliczeniowe, grawitacyjne q_g [kN/m] + siła osiowa $N=10kN$	Maksymalne obciążenie obliczeniowe, unoszące q_u [kN/m]	Maksymalne obciążenie grawitacyjne charakterystyczne ze względu na ugięcia q_{ch} [kN/m]
Z-120x1	1	1,01	0,73	0,95	1,01
Z-120x1,25	1	1,48	1,23	1,43	1,48
Z-120x1,5	1	1,93	1,69	1,86	1,93
Z-120x1,75	1	2,34	2,12	2,24	2,35
Z-120x2	1	2,72	2,51	2,57	2,71
Z-120x2,5	1	3,38	3,19	3,11	3,37
Z-120x3	1	4,04	3,87	3,63	4,04
Z-150x1	1	1,25	0,90	1,10	1,25
Z-150x1,25	1	1,86	1,52	1,69	1,86
Z-150x1,5	1	2,52	2,21	2,32	2,53
Z-150x1,75	1	3,08	2,79	2,82	3,08
Z-150x2	1	3,59	3,32	3,26	3,59
Z-150x2,5	1	4,50	4,25	4,00	4,49
Z-150x3	1	5,42	5,20	4,74	5,43
Z-200x1,25	1	2,48	2,03	2,14	2,48
Z-200x1,5	1	3,38	2,94	2,95	3,39
Z-200x1,75	1	4,31	3,89	3,80	4,32
Z-200x2	1	5,24	4,84	4,63	5,24
Z-200x2,5	1	6,62	6,27	5,78	6,62
Z-200x3	1	8,06	7,73	6,96	8,06
Z-250x1,5	1	5,28	4,71	5,60	5,28
Z-250x1,75	1	6,74	6,20	7,57	6,75
Z-250x2,0	1	8,21	7,68	9,53	8,22
Z-250x2,5	1	11,11	10,61	13,25	11,12
Z-250x3	1	13,33	12,88	16,09	13,33

Belka 2-przęslowa, stal S350GD, poszycie z blachy Super 40, 0,60mm, 2 wkręty w faldzie, zakłady 10% i 20% liczone do śrub, dopuszczalne ugięcie L/150 - jeżeli $L \leq 6,0m$ lub L/200 - jeżeli $L > 6,0m$

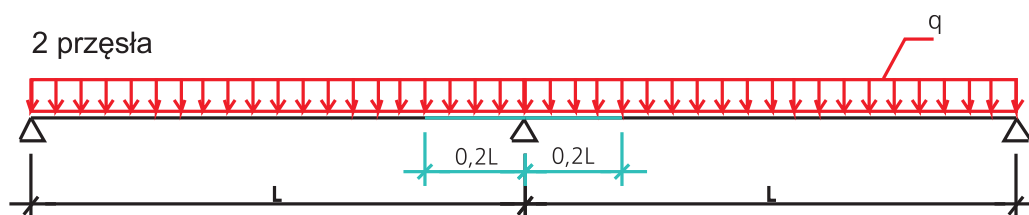
L = 4,8 m



Przekrój	Ilość tężników w każdym przęśle	Maksymalne obciążenie obliczeniowe grawitacyjne q_g [kN/m]	Maksymalne obciążenie obliczeniowe, grawitacyjne q_g [kN/m] + siła osiowa $N=10kN$	Maksymalne obciążenie obliczeniowe, unoszące q_u [kN/m]	Maksymalne obciążenie grawitacyjne charakterystyczne ze względu na ugięcia q_{ch} [kN/m]
Z-120x1	1	0,89	0,64	0,83	0,88
Z-120x1,25	1	1,31	1,07	1,25	1,31
Z-120x1,5	1	1,71	1,50	1,63	1,70
Z-120x1,75	1	2,06	1,87	1,97	2,07
Z-120x2	1	2,40	2,22	2,24	2,40
Z-120x2,5	1	2,97	2,81	2,70	2,97
Z-120x3	1	3,55	3,39	3,13	3,55
Z-150x1	1	1,08	0,78	0,94	1,09
Z-150x1,25	1	1,63	1,32	1,44	1,63
Z-150x1,5	1	2,21	1,93	2,00	2,21
Z-150x1,75	1	2,70	2,44	2,43	2,71
Z-150x2	1	3,15	2,91	2,79	3,15
Z-150x2,5	1	3,94	3,72	3,41	3,93
Z-150x3	1	4,75	4,55	4,01	4,74
Z-200x1,25	1	2,16	1,75	1,77	2,15
Z-200x1,5	1	2,95	2,55	2,46	2,95
Z-200x1,75	1	3,75	3,38	3,17	3,75
Z-200x2	1	4,57	4,21	3,86	4,57
Z-200x2,5	1	5,76	5,45	4,80	5,76
Z-200x3	1	7,00	6,70	5,76	7,00
Z-250x1,5	1	4,68	4,18	4,96	4,68
Z-250x1,75	1	5,98	5,50	6,49	5,98
Z-250x2,0	1	7,28	6,81	8,01	7,28
Z-250x2,5	1	9,86	9,41	11,14	9,86
Z-250x3	1	11,81	11,41	13,53	11,81

Belka 2-przęslowa, stal S350GD, poszycie z blachy Super 40, 0,60mm, 2 wkręty w faldzie, zakłady 10% i 20% liczone do śrub, dopuszczalne ugięcie L/150 - jeżeli $L \leq 6,0m$ lub L/200 - jeżeli $L > 6,0m$

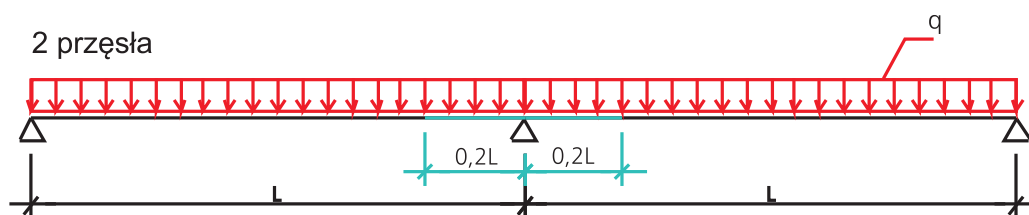
L = 5,1 m



Przekrój	Ilość tężników w każdym przęśle	Maksymalne obciążenie obliczeniowe grawitacyjne q_g [kN/m]	Maksymalne obciążenie obliczeniowe, grawitacyjne q_g [kN/m] + siła osiowa $N=10kN$	Maksymalne obciążenie obliczeniowe, unoszące q_u [kN/m]	Maksymalne obciążenie grawitacyjne charakterystyczne ze względu na ugięcia q_{ch} [kN/m]
Z-120x1	1	0,78	0,56	0,72	0,78
Z-120x1,25	1	1,16	0,96	1,11	1,16
Z-120x1,5	1	1,52	1,32	1,45	1,51
Z-120x1,75	1	1,84	1,67	1,74	1,84
Z-120x2	1	2,14	1,97	1,98	2,13
Z-120x2,5	1	2,64	2,49	2,37	2,64
Z-120x3	1	3,15	3,01	2,74	3,15
Z-150x1	1	0,95	0,67	0,81	0,95
Z-150x1,25	1	1,44	1,17	1,25	1,44
Z-150x1,5	1	1,95	1,70	1,73	1,96
Z-150x1,75	1	2,39	2,15	2,11	2,38
Z-150x2	1	2,78	2,56	2,42	2,78
Z-150x2,5	1	3,47	3,28	2,94	3,47
Z-150x3	1	4,17	3,99	3,44	4,18
Z-200x1,25	1	1,88	1,51	1,49	1,88
Z-200x1,5	1	2,58	2,22	2,08	2,57
Z-200x1,75	1	3,29	2,95	2,67	3,29
Z-200x2	1	4,00	3,68	3,25	4,00
Z-200x2,5	1	5,04	4,76	4,02	5,05
Z-200x3	1	6,12	5,86	4,81	6,12
Z-250x1,5	1	4,12	3,68	4,18	4,13
Z-250x1,75	1	5,28	4,85	5,47	5,28
Z-250x2,0	1	6,44	6,01	6,76	6,43
Z-250x2,5	1	8,72	8,32	9,40	8,72
Z-250x3	1	10,45	10,10	11,41	10,46

Belka 2-przęslowa, stal S350GD, poszycie z blachy Super 40, 0,60mm, 2 wkręty w faldzie, zakłady 10% i 20% liczone do śrub, dopuszczalne ugięcie L/150 - jeżeli $L \leq 6,0m$ lub L/200 - jeżeli $L > 6,0m$

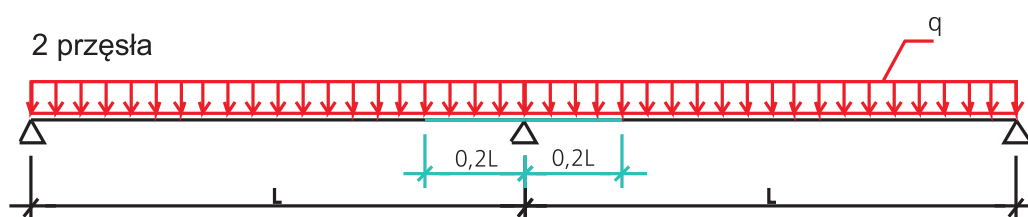
L = 5,4 m



Przekrój	Ilość tężników w każdym przęśle	Maksymalne obciążenie obliczeniowe grawitacyjne q_g [kN/m]	Maksymalne obciążenie obliczeniowe, grawitacyjne q_g [kN/m] + siła osiowa $N=10kN$	Maksymalne obciążenie obliczeniowe, unoszące q_u [kN/m]	Maksymalne obciążenie grawitacyjne charakterystyczne ze względu na ugięcia q_{ch} [kN/m]
Z-120x1	2	0,74	0,52	0,73	0,73
Z-120x1,25	2	1,09	0,89	1,10	1,09
Z-120x1,5	2	1,43	1,24	1,45	1,34
Z-120x1,75	2	1,75	1,57	1,76	1,61
Z-120x2	2	2,03	1,86	2,03	1,87
Z-120x2,5	2	2,52	2,38	2,51	2,33
Z-120x3	2	3,03	2,89	2,98	2,80
Z-150x1	2	0,92	0,64	0,91	0,92
Z-150x1,25	2	1,38	1,12	1,38	1,39
Z-150x1,5	2	1,90	1,65	1,91	1,90
Z-150x1,75	2	2,33	2,10	2,33	2,33
Z-150x2	2	2,73	2,50	2,72	2,73
Z-150x2,5	2	3,42	3,22	3,40	3,42
Z-150x3	2	4,13	3,94	4,08	4,13
Z-200x1,25	2	1,85	1,49	1,84	1,85
Z-200x1,5	2	2,56	2,21	2,56	2,56
Z-200x1,75	2	3,30	2,96	3,31	3,30
Z-200x2	2	4,04	3,71	4,05	4,03
Z-200x2,5	2	5,10	4,82	5,11	5,11
Z-200x3	2	6,20	5,94	6,20	6,20
Z-250x1,5	2	4,05	3,60	4,30	4,05
Z-250x1,75	2	5,25	4,81	5,82	5,25
Z-250x2,0	2	6,45	6,02	7,34	6,45
Z-250x2,5	2	8,87	8,45	10,22	8,86
Z-250x3	2	10,66	10,28	12,36	10,66

Belka 2-przęslowa, stal S350GD, poszycie z blachy Super 40, 0,60mm, 2 wkręty w faldzie, zakłady 10% i 20% liczone do śrub, dopuszczalne ugięcie L/150 - jeżeli $L \leq 6,0m$ lub L/200 - jeżeli $L > 6,0m$

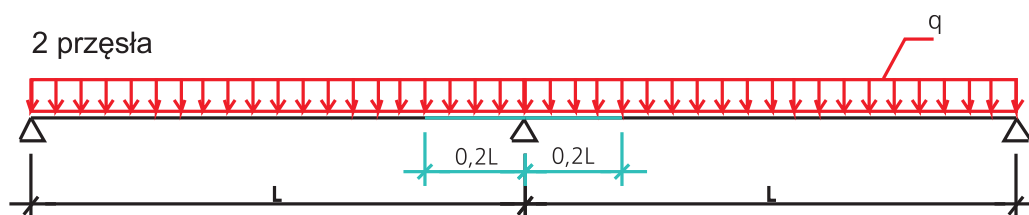
L = 5,7 m



Przekrój	Ilość tężników w każdym przęśle	Maksymalne obciążenie obliczeniowe grawitacyjne q_g [kN/m]	Maksymalne obciążenie obliczeniowe, grawitacyjne q_g [kN/m] + siła osiowa $N=10kN$	Maksymalne obciążenie obliczeniowe, unoszące q_u [kN/m]	Maksymalne obciążenie grawitacyjne charakterystyczne ze względu na ugięcia q_{ch} [kN/m]
Z-120x1	2	0,65	0,45	0,65	0,65
Z-120x1,25	2	0,97	0,78	0,98	0,93
Z-120x1,5	2	1,28	1,11	1,28	1,15
Z-120x1,75	2	1,55	1,40	1,55	1,37
Z-120x2	2	1,80	1,66	1,79	1,59
Z-120x2,5	2	2,25	2,11	2,21	2,00
Z-120x3	2	2,69	2,57	2,62	2,39
Z-150x1	2	0,82	0,56	0,79	0,81
Z-150x1,25	2	1,22	0,98	1,20	1,23
Z-150x1,5	2	1,69	1,45	1,67	1,69
Z-150x1,75	2	2,08	1,85	2,04	2,07
Z-150x2	2	2,42	2,22	2,38	2,42
Z-150x2,5	2	3,04	2,85	2,96	3,04
Z-150x3	2	3,66	3,49	3,55	3,66
Z-200x1,25	2	1,64	1,31	1,59	1,64
Z-200x1,5	2	2,26	1,94	2,21	2,26
Z-200x1,75	2	2,92	2,61	2,87	2,92
Z-200x2	2	3,57	3,27	3,52	3,57
Z-200x2,5	2	4,52	4,26	4,43	4,52
Z-200x3	2	5,48	5,25	5,36	5,49
Z-250x1,5	2	3,60	3,19	3,95	3,60
Z-250x1,75	2	4,68	4,28	5,20	4,68
Z-250x2,0	2	5,75	5,36	6,45	5,76
Z-250x2,5	2	7,91	7,54	9,00	7,91
Z-250x3	2	9,51	9,17	10,88	9,52

Belka 2-przęslowa, stal S350GD, poszycie z blachy Super 40, 0,60mm, 2 wkręty w faldzie, zakłady 10% i 20% liczone do śrub, dopuszczalne ugięcie L/150 - jeżeli $L \leq 6,0m$ lub L/200 - jeżeli $L > 6,0m$

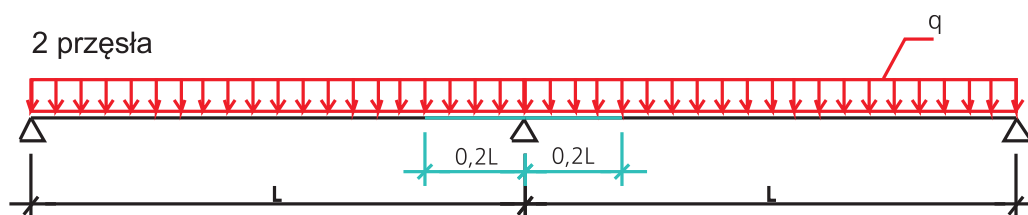
L = 6,0 m



Przekrój	Ilość tężników w każdym przęśle	Maksymalne obciążenie obliczeniowe grawitacyjne q_g [kN/m]	Maksymalne obciążenie obliczeniowe, grawitacyjne q_g [kN/m] + siła osiowa $N=10kN$	Maksymalne obciążenie obliczeniowe, unoszące q_u [kN/m]	Maksymalne obciążenie grawitacyjne charakterystyczne ze względu na ugięcia q_{ch} [kN/m]
Z-120x1	2	0,59	0,40	0,57	0,45
Z-120x1,25	2	0,88	0,70	0,86	0,60
Z-120x1,5	2	1,14	0,99	1,13	0,75
Z-120x1,75	2	1,40	1,25	1,37	0,89
Z-120x2	2	1,63	1,48	1,58	1,03
Z-120x2,5	2	2,01	1,90	1,95	1,29
Z-120x3	2	2,41	2,30	2,31	1,55
Z-150x1	2	0,72	0,49	0,69	0,72
Z-150x1,25	2	1,09	0,87	1,05	1,00
Z-150x1,5	2	1,51	1,29	1,47	1,26
Z-150x1,75	2	1,85	1,65	1,80	1,49
Z-150x2	2	2,16	1,98	2,08	1,75
Z-150x2,5	2	2,71	2,54	2,60	2,19
Z-150x3	2	3,26	3,11	3,11	2,65
Z-200x1,25	2	1,45	1,16	1,38	1,45
Z-200x1,5	2	2,01	1,72	1,92	2,01
Z-200x1,75	2	2,59	2,32	2,49	2,60
Z-200x2	2	3,17	2,91	3,06	3,18
Z-200x2,5	2	4,01	3,78	3,85	4,02
Z-200x3	2	4,88	4,66	4,66	4,88
Z-250x1,5	2	3,23	2,86	3,51	3,23
Z-250x1,75	2	4,19	3,83	4,60	4,19
Z-250x2,0	2	5,15	4,80	5,70	5,16
Z-250x2,5	2	7,09	6,75	7,95	7,09
Z-250x3	2	8,53	8,21	9,61	8,53

Belka 2-przęslowa, stal S350GD, poszycie z blachy Super 40, 0,60mm, 2 wkręty w faldzie, zakłady 10% i 20% liczone do śrub, dopuszczalne ugięcie L/150 - jeżeli $L \leq 6,0m$ lub L/200 - jeżeli $L > 6,0m$

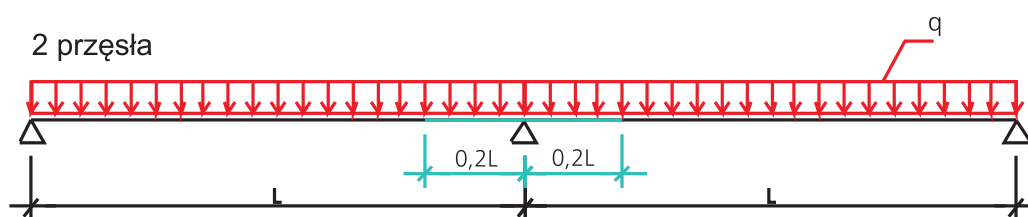
L = 6,3 m



Przekrój	Ilość tężników w każdym przęśle	Maksymalne obciążenie obliczeniowe grawitacyjne q_g [kN/m]	Maksymalne obciążenie obliczeniowe, grawitacyjne q_g [kN/m] + siła osiowa $N=10kN$	Maksymalne obciążenie obliczeniowe, unoszące q_u [kN/m]	Maksymalne obciążenie grawitacyjne charakterystyczne ze względu na ugięcia q_{ch} [kN/m]
Z-120x1	2	0,53	0,36	0,51	0,39
Z-120x1,25	2	0,79	0,63	0,78	0,52
Z-120x1,5	2	1,03	0,89	1,01	0,65
Z-120x1,75	2	1,26	1,12	1,23	0,78
Z-120x2	2	1,46	1,33	1,41	0,90
Z-120x2,5	2	1,82	1,70	1,74	1,12
Z-120x3	2	2,17	2,06	2,05	1,35
Z-150x1	2	0,64	0,43	0,61	0,64
Z-150x1,25	2	0,98	0,78	0,93	0,86
Z-150x1,5	2	1,35	1,16	1,29	1,10
Z-150x1,75	2	1,66	1,48	1,59	1,30
Z-150x2	2	1,93	1,77	1,84	1,52
Z-150x2,5	2	2,42	2,27	2,28	1,90
Z-150x3	2	2,92	2,79	2,73	2,30
Z-200x1,25	2	1,30	1,02	1,21	1,30
Z-200x1,5	2	1,80	1,53	1,68	1,79
Z-200x1,75	2	2,31	2,05	2,18	2,32
Z-200x2	2	2,83	2,59	2,67	2,84
Z-200x2,5	2	3,59	3,36	3,36	3,58
Z-200x3	2	4,35	4,15	4,06	4,35
Z-250x1,5	2	2,91	2,57	3,10	2,90
Z-250x1,75	2	3,77	3,44	4,07	3,77
Z-250x2,0	2	4,64	4,31	5,04	4,63
Z-250x2,5	2	6,38	6,06	7,04	6,37
Z-250x3	2	7,67	7,39	8,52	7,67

Belka 2-przęslowa, stal S350GD, poszycie z blachy Super 40, 0,60mm, 2 wkręty w faldzie, zakłady 10% i 20% liczone do śrub, dopuszczalne ugięcie L/150 - jeżeli $L \leq 6,0m$ lub L/200 - jeżeli $L > 6,0m$

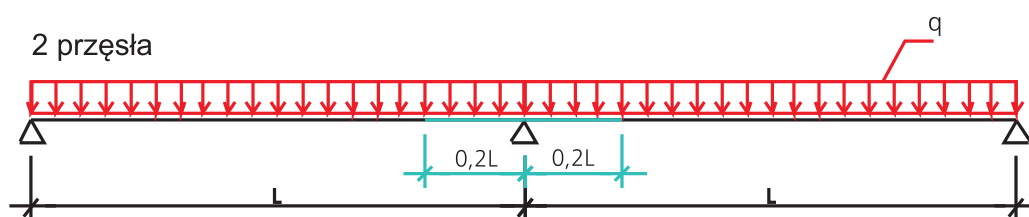
L = 6,6 m



Przekrój	Ilość tężników w każdym przęśle	Maksymalne obciążenie obliczeniowe grawitacyjne q_g [kN/m]	Maksymalne obciążenie obliczeniowe, grawitacyjne q_g [kN/m] + siła osiowa $N=10kN$	Maksymalne obciążenie obliczeniowe, unoszące q_u [kN/m]	Maksymalne obciążenie grawitacyjne charakterystyczne ze względu na ugięcia q_{ch} [kN/m]
Z-120x1	2	0,48	0,32	0,46	0,34
Z-120x1,25	2	0,71	0,57	0,69	0,46
Z-120x1,5	2	0,93	0,80	0,92	0,57
Z-120x1,75	2	1,14	1,01	1,11	0,68
Z-120x2	2	1,32	1,21	1,27	0,78
Z-120x2,5	2	1,63	1,53	1,55	0,98
Z-120x3	2	1,95	1,85	1,83	1,18
Z-150x1	2	0,58	0,39	0,54	0,57
Z-150x1,25	2	0,88	0,70	0,83	0,76
Z-150x1,5	2	1,22	1,04	1,16	0,96
Z-150x1,75	2	1,49	1,33	1,42	1,13
Z-150x2	2	1,75	1,59	1,63	1,33
Z-150x2,5	2	2,18	2,04	2,03	1,67
Z-150x3	2	2,62	2,50	2,41	2,01
Z-200x1,25	2	1,16	0,90	1,06	1,16
Z-200x1,5	2	1,61	1,36	1,48	1,61
Z-200x1,75	2	2,07	1,84	1,91	2,07
Z-200x2	2	2,54	2,31	2,34	2,53
Z-200x2,5	2	3,21	3,00	2,95	3,20
Z-200x3	2	3,89	3,71	3,57	3,89
Z-250x1,5	2	2,61	2,31	2,76	2,62
Z-250x1,75	2	3,40	3,10	3,62	3,40
Z-250x2,0	2	4,18	3,89	4,48	4,18
Z-250x2,5	2	5,75	5,47	6,25	5,76
Z-250x3	2	6,93	6,66	7,56	6,92

Belka 2-przęslowa, stal S350GD, poszycie z blachy Super 40, 0,60mm, 2 wkręty w faldzie, zakłady 10% i 20% liczone do śrub, dopuszczalne ugięcie L/150 - jeżeli $L \leq 6,0m$ lub L/200 - jeżeli $L > 6,0m$

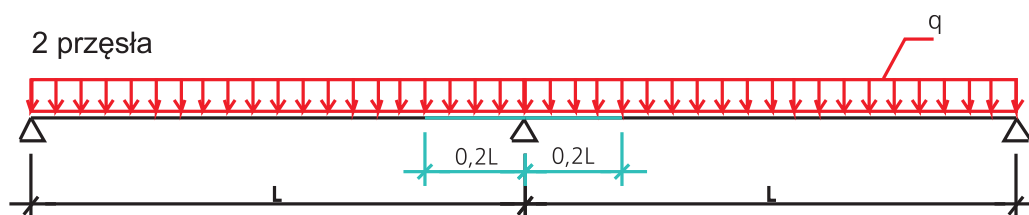
L = 6,9 m



Przekrój	Ilość tężników w każdym przęśle	Maksymalne obciążenie obliczeniowe grawitacyjne q_g [kN/m]	Maksymalne obciążenie obliczeniowe, grawitacyjne q_g [kN/m] + siła osiowa $N=10kN$	Maksymalne obciążenie obliczeniowe, unoszące q_u [kN/m]	Maksymalne obciążenie grawitacyjne charakterystyczne ze względu na ugięcia q_{ch} [kN/m]
Z-120x1	2	0,43	0,29	0,42	0,30
Z-120x1,25	2	0,65	0,51	0,63	0,40
Z-120x1,5	2	0,85	0,73	0,83	0,50
Z-120x1,75	2	1,04	0,92	1,00	0,60
Z-120x2	2	1,20	1,09	1,16	0,69
Z-120x2,5	2	1,48	1,39	1,40	0,87
Z-120x3	2	1,77	1,68	1,64	1,04
Z-150x1	2	0,52	0,35	0,48	0,50
Z-150x1,25	2	0,80	0,63	0,75	0,67
Z-150x1,5	2	1,10	0,94	1,03	0,84
Z-150x1,75	2	1,35	1,20	1,26	1,00
Z-150x2	2	1,58	1,44	1,46	1,17
Z-150x2,5	2	1,96	1,84	1,81	1,47
Z-150x3	2	2,37	2,25	2,15	1,77
Z-200x1,25	2	1,04	0,80	0,93	1,03
Z-200x1,5	2	1,44	1,22	1,30	1,44
Z-200x1,75	2	1,86	1,64	1,69	1,86
Z-200x2	2	2,29	2,07	2,07	2,28
Z-200x2,5	2	2,88	2,70	2,60	2,88
Z-200x3	2	3,49	3,32	3,13	3,49
Z-250x1,5	2	2,37	2,08	2,45	2,37
Z-250x1,75	2	3,08	2,80	3,22	3,08
Z-250x2,0	2	3,79	3,51	3,98	3,79
Z-250x2,5	2	5,21	4,95	5,56	5,22
Z-250x3	2	6,27	6,04	6,72	6,28

Belka 2-przęslowa, stal S350GD, poszycie z blachy Super 40, 0,60mm, 2 wkręty w faldzie, zakłady 10% i 20% liczone do śrub, dopuszczalne ugięcie L/150 - jeżeli $L \leq 6,0m$ lub L/200 - jeżeli $L > 6,0m$

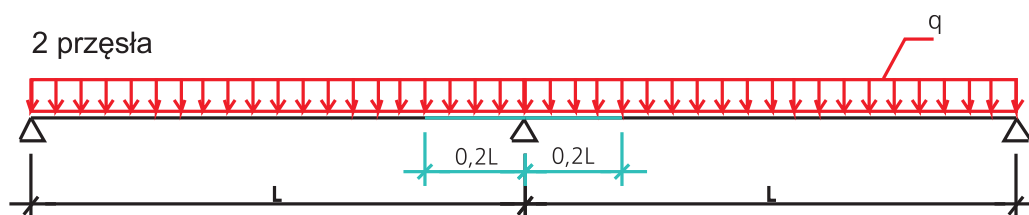
L = 7,2 m



Przekrój	Ilość tężników w każdym przęśle	Maksymalne obciążenie obliczeniowe grawitacyjne q_g [kN/m]	Maksymalne obciążenie obliczeniowe, grawitacyjne q_g [kN/m] + siła osiowa $N=10kN$	Maksymalne obciążenie obliczeniowe, unoszące q_u [kN/m]	Maksymalne obciążenie grawitacyjne charakterystyczne ze względu na ugięcia q_{ch} [kN/m]
Z-120x1	3	0,41	0,28	0,37	0,27
Z-120x1,25	3	0,63	0,51	0,57	0,35
Z-120x1,5	3	0,83	0,71	0,75	0,44
Z-120x1,75	3	1,01	0,90	0,92	0,53
Z-120x2	3	1,17	1,07	1,06	0,61
Z-120x2,5	3	1,45	1,36	1,32	0,76
Z-120x3	3	1,74	1,66	1,58	0,92
Z-150x1	3	0,51	0,35	0,47	0,44
Z-150x1,25	3	0,79	0,62	0,72	0,59
Z-150x1,5	3	1,09	0,93	1,00	0,75
Z-150x1,75	3	1,34	1,19	1,23	0,89
Z-150x2	3	1,56	1,43	1,44	1,03
Z-150x2,5	3	1,96	1,84	1,81	1,30
Z-150x3	3	2,36	2,25	2,18	1,57
Z-200x1,25	3	1,04	0,81	0,97	1,04
Z-200x1,5	3	1,44	1,23	1,35	1,43
Z-200x1,75	3	1,87	1,66	1,75	1,73
Z-200x2	3	2,30	2,09	2,16	2,04
Z-200x2,5	3	2,91	2,73	2,74	2,58
Z-200x3	3	3,53	3,37	3,33	3,13
Z-250x1,5	3	2,34	2,07	2,50	2,35
Z-250x1,75	3	3,06	2,79	3,29	3,06
Z-250x2,0	3	3,77	3,52	4,08	3,77
Z-250x2,5	3	5,23	4,97	5,68	5,23
Z-250x3	3	6,29	6,07	6,87	6,30

Belka 2-przęslowa, stal S350GD, poszycie z blachy Super 40, 0,60mm, 2 wkręty w faldzie, zakłady 10% i 20% liczone do śrub, dopuszczalne ugięcie L/150 - jeżeli $L \leq 6,0m$ lub L/200 - jeżeli $L > 6,0m$

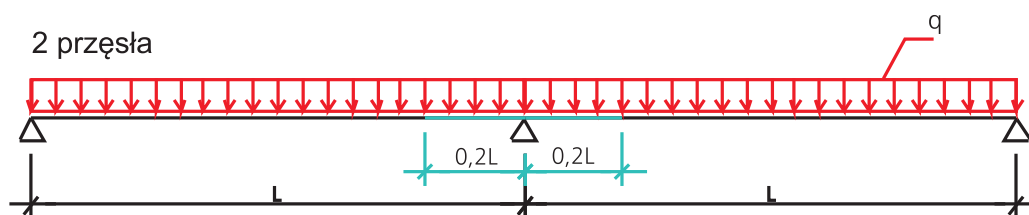
L = 7,5 m



Przekrój	Ilość tężników w każdym przęśle	Maksymalne obciążenie obliczeniowe grawitacyjne q_g [kN/m]	Maksymalne obciążenie obliczeniowe, grawitacyjne q_g [kN/m] + siła osiowa $N=10kN$	Maksymalne obciążenie obliczeniowe, unoszące q_u [kN/m]	Maksymalne obciążenie grawitacyjne charakterystyczne ze względu na ugięcia q_{ch} [kN/m]
Z-120x1	3	0,38	0,26	0,34	0,23
Z-120x1,25	3	0,57	0,45	0,51	0,32
Z-120x1,5	3	0,76	0,65	0,67	0,39
Z-120x1,75	3	0,92	0,82	0,81	0,46
Z-120x2	3	1,07	0,98	0,95	0,54
Z-120x2,5	3	1,33	1,24	1,18	0,68
Z-120x3	3	1,58	1,50	1,40	0,82
Z-150x1	3	0,47	0,31	0,42	0,39
Z-150x1,25	3	0,71	0,56	0,64	0,52
Z-150x1,5	3	1,00	0,84	0,89	0,66
Z-150x1,75	3	1,22	1,09	1,09	0,79
Z-150x2	3	1,42	1,29	1,28	0,92
Z-150x2,5	3	1,78	1,66	1,60	1,15
Z-150x3	3	2,15	2,03	1,93	1,39
Z-200x1,25	3	0,94	0,73	0,85	0,94
Z-200x1,5	3	1,30	1,11	1,19	1,27
Z-200x1,75	3	1,70	1,50	1,56	1,54
Z-200x2	3	2,08	1,89	1,91	1,81
Z-200x2,5	3	2,63	2,47	2,43	2,30
Z-200x3	3	3,19	3,04	2,95	2,78
Z-250x1,5	3	2,14	1,88	2,26	2,14
Z-250x1,75	3	2,79	2,54	2,96	2,79
Z-250x2,0	3	3,45	3,20	3,67	3,45
Z-250x2,5	3	4,77	4,53	5,12	4,65
Z-250x3	3	5,74	5,53	6,20	5,61

Belka 2-przęslowa, stal S350GD, poszycie z blachy Super 40, 0,60mm, 2 wkręty w faldzie, zakłady 10% i 20% liczone do śrub, dopuszczalne ugięcie L/150 - jeżeli $L \leq 6,0m$ lub L/200 - jeżeli $L > 6,0m$

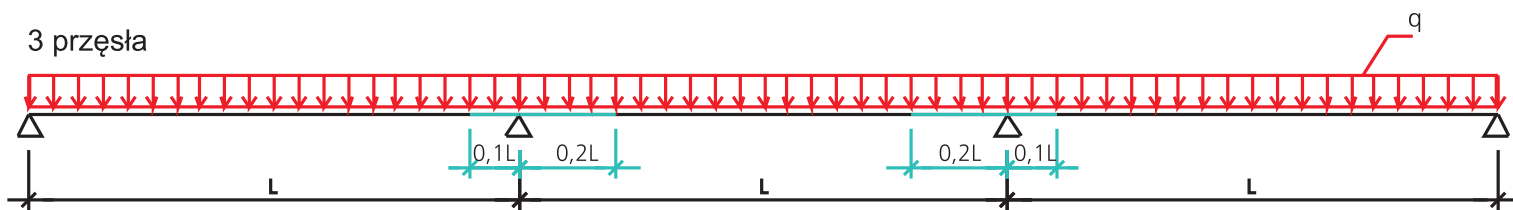
L = 7,8 m



Przekrój	Ilość tężników w każdym przęśle	Maksymalne obciążenie obliczeniowe grawitacyjne q_g [kN/m]	Maksymalne obciążenie obliczeniowe, grawitacyjne q_g [kN/m] + siła osiowa $N=10kN$	Maksymalne obciążenie obliczeniowe, unoszące q_u [kN/m]	Maksymalne obciążenie grawitacyjne charakterystyczne ze względu na ugięcia q_{ch} [kN/m]
Z-120x1	3	0,34	0,24	0,30	0,21
Z-120x1,25	3	0,52	0,42	0,46	0,28
Z-120x1,5	3	0,70	0,60	0,60	0,35
Z-120x1,75	3	0,85	0,75	0,73	0,41
Z-120x2	3	0,98	0,89	0,85	0,48
Z-120x2,5	3	1,22	1,14	1,05	0,61
Z-120x3	3	1,45	1,38	1,25	0,72
Z-150x1	3	0,42	0,28	0,37	0,35
Z-150x1,25	3	0,65	0,52	0,57	0,47
Z-150x1,5	3	0,90	0,77	0,79	0,58
Z-150x1,75	3	1,11	0,98	0,98	0,70
Z-150x2	3	1,30	1,18	1,14	0,81
Z-150x2,5	3	1,62	1,52	1,43	1,03
Z-150x3	3	1,95	1,85	1,72	1,24
Z-200x1,25	3	0,85	0,66	0,76	0,85
Z-200x1,5	3	1,18	1,00	1,06	1,14
Z-200x1,75	3	1,54	1,36	1,38	1,37
Z-200x2	3	1,89	1,71	1,70	1,62
Z-200x2,5	3	2,39	2,23	2,15	2,05
Z-200x3	3	2,90	2,76	2,62	2,48
Z-250x1,5	3	1,95	1,73	2,04	1,95
Z-250x1,75	3	2,55	2,33	2,67	2,55
Z-250x2,0	3	3,15	2,92	3,31	3,15
Z-250x2,5	3	4,37	4,15	4,62	4,16
Z-250x3	3	5,26	5,06	5,59	5,01

Belka 2-przęslowa, stal S350GD, poszycie z blachy Super 40, 0,60mm, 2 wkręty w faldzie, zakłady 10% i 20% liczone do śrub, dopuszczalne ugięcie L/150 - jeżeli $L \leq 6,0m$ lub L/200 - jeżeli $L > 6,0m$

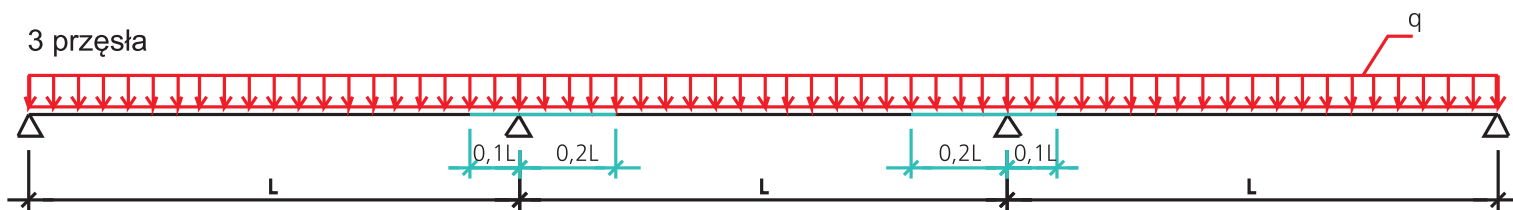
L = 8,1 m



Przekrój w przęśle skrajnym	Przekrój w przęsłach pozostałych	Ilość tężników w każdym przęśle	Maksymalne obciążenie obliczeniowe grawitacyjne q_g [kN/m]	Maksymalne obciążenie obliczeniowe, grawitacyjne q_g [kN/m] + siła osiowa $N=10kN$	Maksymalne obciążenie obliczeniowe, unoszące q_u [kN/m]	Maksymalne obciążenie grawitacyjne charakterystyczne ze względu na ugięcia q_{ch} [kN/m]
Z-120x1	Z-120x1	0	1,92	1,37	2,06	1,92
Z-120x1,25	Z-120x1	0	2,26	1,44	3,04	2,26
Z-120x1,5	Z-120x1,25	0	3,25	2,52	3,92	3,25
Z-120x1,75	Z-120x1,5	0	4,16	3,51	4,71	4,16
Z-120x2	Z-120x1,75	0	4,84	4,38	5,39	4,84
Z-120x2,5	Z-120x2	0	5,76	5,20	6,57	5,76
Z-120x3	Z-120x2,5	0	7,06	6,55	7,71	7,06
Z-150x1	Z-150x1	0	2,31	1,54	2,51	2,31
Z-150x1,25	Z-150x1	0	2,64	1,54	3,73	2,64
Z-150x1,5	Z-150x1,25	0	3,85	2,88	5,04	3,86
Z-150x1,75	Z-150x1,5	0	5,11	4,20	6,10	5,11
Z-150x2	Z-150x1,75	0	6,06	5,32	7,01	6,06
Z-150x2,5	Z-150x2	0	7,16	6,38	8,64	7,16
Z-150x3	Z-150x2,5	0	8,85	8,15	10,23	8,85
Z-200x1,25	Z-200x1,25	0	4,37	3,40	4,99	4,37
Z-200x1,5	Z-200x1,25	0	4,85	3,40	6,77	4,86
Z-200x1,75	Z-200x1,5	0	6,49	5,14	8,58	6,49
Z-200x2	Z-200x1,75	0	8,11	6,85	10,29	8,12
Z-200x2,5	Z-200x2	0	9,76	8,57	12,83	9,77
Z-200x3	Z-200x2,5	0	12,26	11,18	15,33	12,26
Z-250x1,5	Z-250x1,5	0	8,93	7,93	9,66	8,94
Z-250x1,75	Z-250x1,5	0	10,31	9,59	10,31	10,31
Z-250x2,0	Z-250x1,75	0	13,01	12,13	17,52	13,01
Z-250x2,5	Z-250x2,0	0	16,64	15,18	24,74	16,63
Z-250x3	Z-250x2,5	0	20,03	19,32	32,39	20,04

Belka 3-przęslowa, stal S350GD, poszycie z blachy Super 40, 0,60mm, 2 wkręty w faldzie, zakłady 10% i 20% liczone do śrub, dopuszczalne ugięcie L/150 - jeżeli $L \leq 6,0m$ lub L/200 - jeżeli $L > 6,0m$

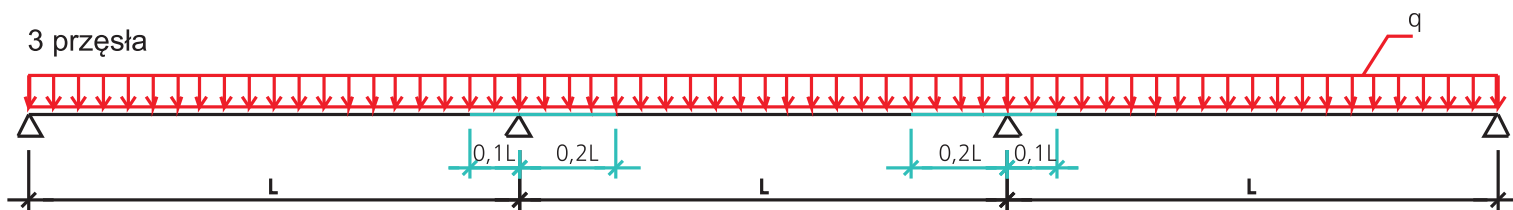
L = 3,0 m



Przekrój w przęśle skrajnym	Przekrój w przęsłach pozostałych	Ilość tężników w każdym przęśle	Maksymalne obciążenie obliczeniowe grawitacyjne q_g [kN/m]	Maksymalne obciążenie obliczeniowe, grawitacyjne q_g [kN/m] + siła osiowa $N=10kN$	Maksymalne obciążenie obliczeniowe, unoszące q_u [kN/m]	Maksymalne obciążenie grawitacyjne charakterystyczne ze względu na ugięcia q_{ch} [kN/m]
Z-120x1	Z-120x1	0	1,66	1,18	1,71	1,66
Z-120x1,25	Z-120x1	0	1,91	1,21	2,54	1,91
Z-120x1,5	Z-120x1,25	0	2,78	2,15	3,30	2,78
Z-120x1,75	Z-120x1,5	0	3,56	3,00	3,96	3,57
Z-120x2	Z-120x1,75	0	4,23	3,74	4,52	4,23
Z-120x2,5	Z-120x2	0	4,92	4,43	5,49	4,93
Z-120x3	Z-120x2,5	0	6,00	5,57	6,40	6,00
Z-150x1	Z-150x1	0	1,95	1,25	2,04	1,96
Z-150x1,25	Z-150x1	0	2,18	1,25	3,06	2,18
Z-150x1,5	Z-150x1,25	0	3,22	2,39	4,15	3,22
Z-150x1,75	Z-150x1,5	0	4,29	3,51	5,03	4,29
Z-150x2	Z-150x1,75	0	5,17	4,46	5,77	5,18
Z-150x2,5	Z-150x2	0	5,99	5,34	7,08	6,00
Z-150x3	Z-150x2,5	0	7,37	6,78	8,35	7,37
Z-200x1,25	Z-200x1,25	0	3,64	2,65	3,97	3,64
Z-200x1,5	Z-200x1,25	0	3,89	2,65	5,42	3,90
Z-200x1,75	Z-200x1,5	0	5,25	4,10	6,88	5,25
Z-200x2	Z-200x1,75	0	6,58	5,49	8,26	6,58
Z-200x2,5	Z-200x2	0	7,90	6,86	10,27	7,90
Z-200x3	Z-200x2,5	0	9,84	8,92	12,22	9,85
Z-250x1,5	Z-250x1,5	0	7,35	6,49	8,78	7,35
Z-250x1,75	Z-250x1,5	0	8,84	7,48	9,38	8,84
Z-250x2,0	Z-250x1,75	0	10,72	9,70	15,42	10,72
Z-250x2,5	Z-250x2,0	0	13,17	11,92	21,29	13,18
Z-250x3	Z-250x2,5	0	16,57	15,96	25,84	16,58

Belka 3-przęslowa, stal S350GD, poszycie z blachy Super 40, 0,60mm, 2 wkręty w faldzie, zakłady 10% i 20% liczone do śrub, dopuszczalne ugięcie L/150 - jeżeli $L \leq 6,0m$ lub L/200 - jeżeli $L > 6,0m$

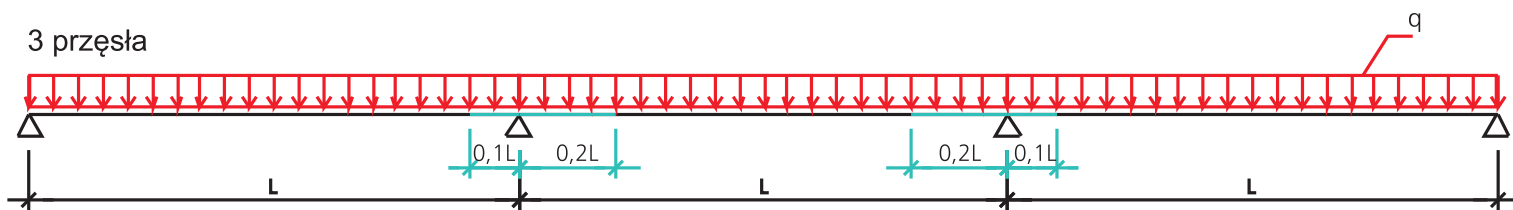
L = 3,3 m



Przekrój w przęśle skrajnym	Przekrój w przęsłach pozostałych	Ilość tężników w każdym przęśle	Maksymalne obciążenie obliczeniowe grawitacyjne q_g [kN/m]	Maksymalne obciążenie obliczeniowe, grawitacyjne q_g [kN/m] + siła osiowa $N=10kN$	Maksymalne obciążenie obliczeniowe, unoszące q_u [kN/m]	Maksymalne obciążenie grawitacyjne charakterystyczne ze względu na ugięcia q_{ch} [kN/m]
Z-120x1	Z-120x1	0	1,46	1,03	1,45	1,45
Z-120x1,25	Z-120x1	0	1,66	1,04	2,17	1,66
Z-120x1,5	Z-120x1,25	0	2,43	1,88	2,82	2,42
Z-120x1,75	Z-120x1,5	0	3,13	2,62	3,39	3,13
Z-120x2	Z-120x1,75	0	3,74	3,28	3,87	3,74
Z-120x2,5	Z-120x2	0	4,31	3,88	4,67	4,30
Z-120x3	Z-120x2,5	0	5,22	4,84	5,42	5,22
Z-150x1	Z-150x1	0	1,69	1,05	1,69	1,69
Z-150x1,25	Z-150x1	0	1,86	1,05	2,55	1,85
Z-150x1,5	Z-150x1,25	0	2,76	2,04	3,48	2,76
Z-150x1,75	Z-150x1,5	0	3,69	3,02	4,23	3,69
Z-150x2	Z-150x1,75	0	4,45	3,84	4,85	4,45
Z-150x2,5	Z-150x2	0	5,14	4,57	5,92	5,14
Z-150x3	Z-150x2,5	0	6,30	5,78	6,95	6,30
Z-200x1,25	Z-200x1,25	0	3,09	2,16	3,22	3,09
Z-200x1,5	Z-200x1,25	0	3,23	2,16	4,42	3,23
Z-200x1,75	Z-200x1,5	0	4,38	3,38	5,64	4,38
Z-200x2	Z-200x1,75	0	5,50	4,56	6,76	5,50
Z-200x2,5	Z-200x2	0	6,59	5,70	8,38	6,60
Z-200x3	Z-200x2,5	0	8,17	7,36	9,93	8,16
Z-250x1,5	Z-250x1,5	0	6,15	5,41	7,82	6,14
Z-250x1,75	Z-250x1,5	0	7,07	5,84	8,59	7,08
Z-250x2,0	Z-250x1,75	0	8,84	7,67	12,50	8,84
Z-250x2,5	Z-250x2,0	0	10,60	9,51	17,25	10,61
Z-250x3	Z-250x2,5	0	13,90	12,97	20,91	13,91

Belka 3-przęslowa, stal S350GD, poszycie z blachy Super 40, 0,60mm, 2 wkręty w faldzie, zakłady 10% i 20% liczone do śrub, dopuszczalne ugięcie L/150 - jeżeli $L \leq 6,0m$ lub L/200 - jeżeli $L > 6,0m$

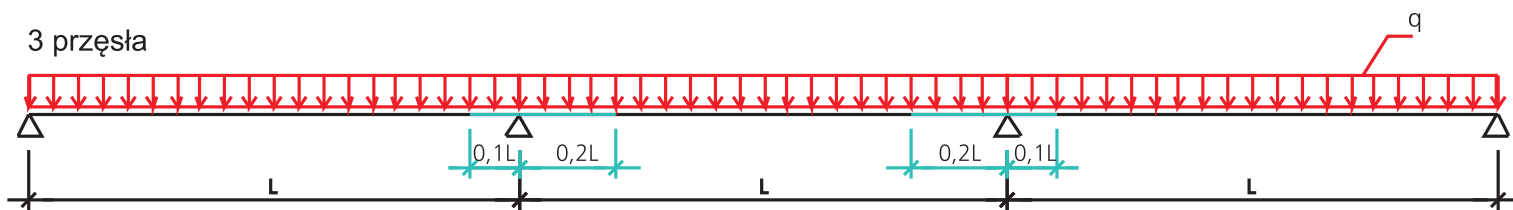
L = 3,6 m



Przekrój w przęśle skrajnym	Przekrój w przęsłach pozostałych	Ilość tężników w każdym przęśle	Maksymalne obciążenie obliczeniowe grawitacyjne q_g [kN/m]	Maksymalne obciążenie obliczeniowe, grawitacyjne q_g [kN/m] + siła osiowa $N=10kN$	Maksymalne obciążenie obliczeniowe, unoszące q_u [kN/m]	Maksymalne obciążenie grawitacyjne charakterystyczne ze względu na ugięcia q_{ch} [kN/m]
Z-120x1	Z-120x1	0	1,30	0,91	1,24	1,30
Z-120x1,25	Z-120x1	0	1,46	0,92	1,87	1,45
Z-120x1,5	Z-120x1,25	0	2,15	1,66	2,44	2,16
Z-120x1,75	Z-120x1,5	0	2,78	2,33	2,94	2,77
Z-120x2	Z-120x1,75	0	3,33	2,91	3,34	3,34
Z-120x2,5	Z-120x2	0	3,83	3,44	4,03	3,82
Z-120x3	Z-120x2,5	0	4,62	4,28	4,67	4,62
Z-150x1	Z-150x1	0	1,49	0,91	1,42	1,48
Z-150x1,25	Z-150x1	0	1,61	0,91	2,17	1,60
Z-150x1,5	Z-150x1,25	0	2,41	1,78	2,98	2,41
Z-150x1,75	Z-150x1,5	0	3,23	2,64	3,62	3,23
Z-150x2	Z-150x1,75	0	3,91	3,36	4,14	3,91
Z-150x2,5	Z-150x2	0	4,51	4,00	5,04	4,51
Z-150x3	Z-150x2,5	0	5,49	5,04	5,88	5,49
Z-200x1,25	Z-200x1,25	0	2,67	1,82	2,67	2,67
Z-200x1,5	Z-200x1,25	0	2,75	1,82	3,68	2,75
Z-200x1,75	Z-200x1,5	0	3,74	2,88	4,68	3,74
Z-200x2	Z-200x1,75	0	4,71	3,88	5,63	4,71
Z-200x2,5	Z-200x2	0	5,64	4,85	6,95	5,64
Z-200x3	Z-200x2,5	0	6,95	6,25	8,21	6,95
Z-250x1,5	Z-250x1,5	0	5,22	4,58	6,41	5,22
Z-250x1,75	Z-250x1,5	0	5,77	4,67	7,84	5,76
Z-250x2,0	Z-250x1,75	0	7,23	6,19	10,26	7,23
Z-250x2,5	Z-250x2,0	0	8,69	7,71	14,17	8,69
Z-250x3	Z-250x2,5	0	11,46	10,55	17,13	11,47

Belka 3-przęslowa, stal S350GD, poszycie z blachy Super 40, 0,60mm, 2 wkręty w faldzie, zakłady 10% i 20% liczone do śrub, dopuszczalne ugięcie L/150 - jeżeli $L \leq 6,0m$ lub L/200 - jeżeli $L > 6,0m$

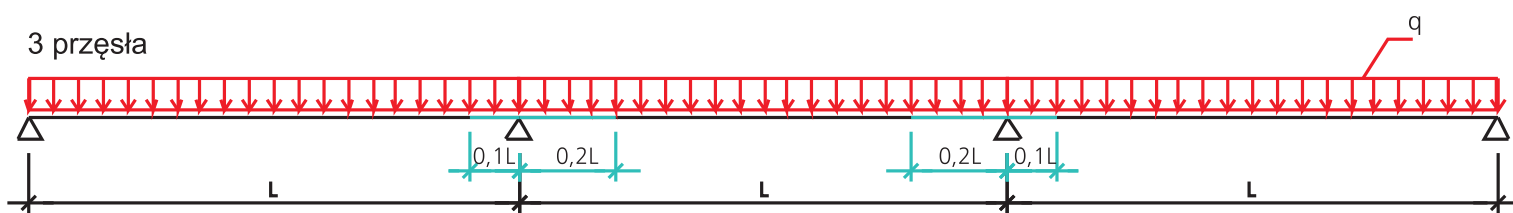
L = 3,9 m



Przekrój w przęśle skrajnym	Przekrój w przęsłach pozostałych	Ilość tężników w każdym przęśle	Maksymalne obciążenie obliczeniowe grawitacyjne q_g [kN/m]	Maksymalne obciążenie obliczeniowe, grawitacyjne q_g [kN/m] + siła osiowa $N=10kN$	Maksymalne obciążenie obliczeniowe, unoszące q_u [kN/m]	Maksymalne obciążenie grawitacyjne charakterystyczne ze względu na ugięcia q_{ch} [kN/m]
Z-120x1	Z-120x1	1	1,38	1,02	1,10	1,37
Z-120x1,25	Z-120x1	1	1,94	1,46	1,64	1,88
Z-120x1,5	Z-120x1,25	1	2,47	2,18	2,14	2,32
Z-120x1,75	Z-120x1,5	1	2,98	2,70	2,58	2,77
Z-120x2	Z-120x1,75	1	3,47	3,22	2,96	3,22
Z-120x2,5	Z-120x2	1	4,34	4,10	3,63	4,03
Z-120x3	Z-120x2,5	1	5,23	5,02	4,30	4,83
Z-150x1	Z-150x1	1	1,75	1,28	1,34	1,75
Z-150x1,25	Z-150x1	1	2,49	1,81	2,02	2,48
Z-150x1,5	Z-150x1,25	1	3,27	2,87	2,77	3,27
Z-150x1,75	Z-150x1,5	1	3,95	3,58	3,38	3,95
Z-150x2	Z-150x1,75	1	4,62	4,28	3,92	4,62
Z-150x2,5	Z-150x2	1	5,81	5,51	4,86	5,81
Z-150x3	Z-150x2,5	1	7,06	6,78	5,80	7,06
Z-200x1,25	Z-200x1,25	1	3,45	2,84	2,67	3,44
Z-200x1,5	Z-200x1,25	1	4,54	3,99	3,69	4,55
Z-200x1,75	Z-200x1,5	1	5,67	5,14	4,74	5,67
Z-200x2	Z-200x1,75	1	6,82	6,32	5,78	6,82
Z-200x2,5	Z-200x2	1	8,63	8,19	7,27	8,64
Z-200x3	Z-200x2,5	1	10,56	10,15	8,79	10,56
Z-250x1,5	Z-250x1,5	1	6,59	6,29	6,59	6,59
Z-250x1,75	Z-250x1,5	1	7,18	6,86	7,17	7,18
Z-250x2,0	Z-250x1,75	1	10,49	9,81	11,33	10,49
Z-250x2,5	Z-250x2,0	1	13,81	13,19	15,77	13,81
Z-250x3	Z-250x2,5	1	16,52	15,95	19,12	16,51

Belka 3-przęslowa, stal S350GD, poszycie z blachy Super 40, 0,60mm, 2 wkręty w faldzie, zakłady 10% i 20% liczone do śrub, dopuszczalne ugięcie L/150 - jeżeli $L \leq 6,0m$ lub L/200 - jeżeli $L > 6,0m$

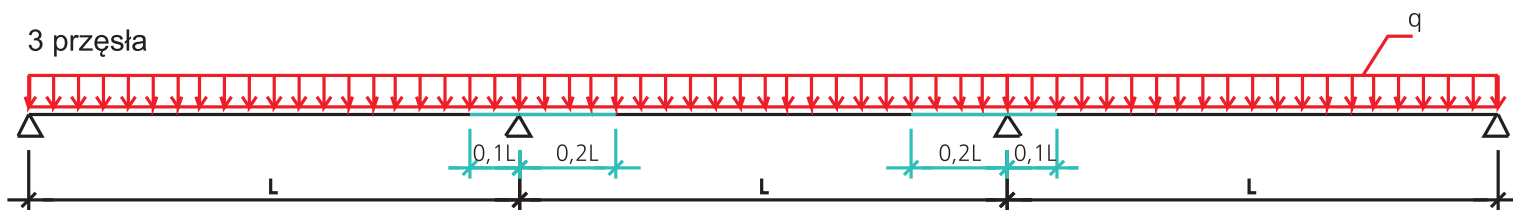
L = 4,2 m



Przekrój w przęśle skrajnym	Przekrój w przęsłach pozostałych	Ilość tężników w każdym przęśle	Maksymalne obciążenie obliczeniowe grawitacyjne q_g [kN/m]	Maksymalne obciążenie obliczeniowe, grawitacyjne q_g [kN/m] + siła osiowa $N=10kN$	Maksymalne obciążenie obliczeniowe, unoszące q_u [kN/m]	Maksymalne obciążenie grawitacyjne charakterystyczne ze względu na ugięcia q_{ch} [kN/m]
Z-120x1	Z-120x1	1	1,20	0,88	0,93	1,16
Z-120x1,25	Z-120x1	1	1,70	1,23	1,39	1,53
Z-120x1,5	Z-120x1,25	1	2,18	1,91	1,82	1,90
Z-120x1,75	Z-120x1,5	1	2,61	2,36	2,19	2,25
Z-120x2	Z-120x1,75	1	3,04	2,82	2,52	2,62
Z-120x2,5	Z-120x2	1	3,79	3,59	3,07	3,27
Z-120x3	Z-120x2,5	1	4,57	4,37	3,60	3,93
Z-150x1	Z-150x1	1	1,51	1,09	1,10	1,51
Z-150x1,25	Z-150x1	1	2,15	1,52	1,67	2,15
Z-150x1,5	Z-150x1,25	1	2,85	2,50	2,31	2,84
Z-150x1,75	Z-150x1,5	1	3,44	3,11	2,81	3,44
Z-150x2	Z-150x1,75	1	4,02	3,71	3,25	4,02
Z-150x2,5	Z-150x2	1	5,05	4,78	4,02	5,05
Z-150x3	Z-150x2,5	1	6,12	5,88	4,78	6,12
Z-200x1,25	Z-200x1,25	1	2,97	2,43	2,17	2,97
Z-200x1,5	Z-200x1,25	1	3,92	3,44	3,00	3,93
Z-200x1,75	Z-200x1,5	1	4,90	4,43	3,87	4,90
Z-200x2	Z-200x1,75	1	5,89	5,45	4,71	5,90
Z-200x2,5	Z-200x2	1	7,46	7,07	5,91	7,46
Z-200x3	Z-200x2,5	1	9,12	8,76	7,14	9,11
Z-250x1,5	Z-250x1,5	1	6,05	5,49	5,85	6,06
Z-250x1,75	Z-250x1,5	1	6,60	6,30	6,60	6,60
Z-250x2,0	Z-250x1,75	1	9,15	8,56	9,45	9,15
Z-250x2,5	Z-250x2,0	1	12,05	11,50	13,15	12,05
Z-250x3	Z-250x2,5	1	14,40	13,91	15,95	14,40

Belka 3-przęslowa, stal S350GD, poszycie z blachy Super 40, 0,60mm, 2 wkręty w faldzie, zakłady 10% i 20% liczone do śrub, dopuszczalne ugięcie L/150 - jeżeli $L \leq 6,0m$ lub L/200 - jeżeli $L > 6,0m$

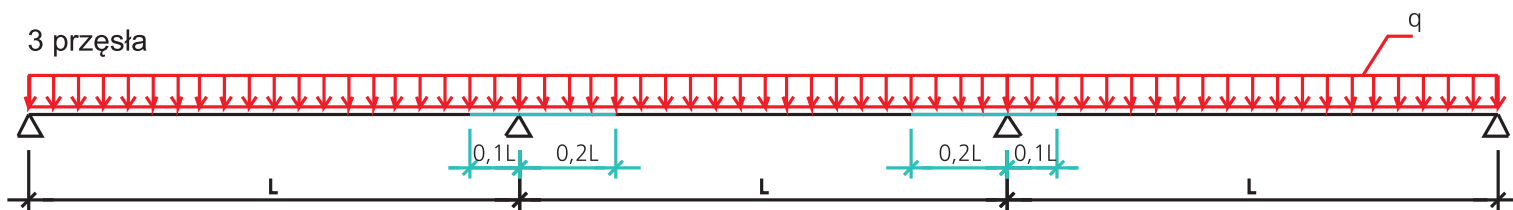
L = 4,5 m



Przekrój w przęśle skrajnym	Przekrój w przęsłach pozostałych	Ilość tężników w każdym przęśle	Maksymalne obciążenie obliczeniowe grawitacyjne q_g [kN/m]	Maksymalne obciążenie obliczeniowe, grawitacyjne q_g [kN/m] + siła osiowa $N=10kN$	Maksymalne obciążenie obliczeniowe, unoszące q_u [kN/m]	Maksymalne obciążenie grawitacyjne charakterystyczne ze względu na ugięcia q_{ch} [kN/m]
Z-120x1	Z-120x1	1	1,06	0,76	0,79	0,95
Z-120x1,25	Z-120x1	1	1,50	1,06	1,20	1,26
Z-120x1,5	Z-120x1,25	1	1,93	1,69	1,56	1,56
Z-120x1,75	Z-120x1,5	1	2,31	2,10	1,89	1,85
Z-120x2	Z-120x1,75	1	2,69	2,49	2,16	2,16
Z-120x2,5	Z-120x2	1	3,34	3,17	2,62	2,70
Z-120x3	Z-120x2,5	1	4,02	3,85	3,06	3,23
Z-150x1	Z-150x1	1	1,32	0,95	0,92	1,32
Z-150x1,25	Z-150x1	1	1,85	1,28	1,41	1,84
Z-150x1,5	Z-150x1,25	1	2,50	2,19	1,95	2,50
Z-150x1,75	Z-150x1,5	1	3,02	2,73	2,37	3,02
Z-150x2	Z-150x1,75	1	3,52	3,25	2,74	3,53
Z-150x2,5	Z-150x2	1	4,43	4,19	3,37	4,43
Z-150x3	Z-150x2,5	1	5,35	5,13	3,99	5,36
Z-200x1,25	Z-200x1,25	1	2,58	2,11	1,77	2,58
Z-200x1,5	Z-200x1,25	1	3,42	2,90	2,46	3,42
Z-200x1,75	Z-200x1,5	1	4,27	3,85	3,17	4,27
Z-200x2	Z-200x1,75	1	5,14	4,74	3,87	5,14
Z-200x2,5	Z-200x2	1	6,50	6,15	4,85	6,50
Z-200x3	Z-200x2,5	1	7,93	7,61	5,84	7,93
Z-250x1,5	Z-250x1,5	1	5,42	4,83	4,89	5,41
Z-250x1,75	Z-250x1,5	1	6,10	5,81	6,10	6,10
Z-250x2,0	Z-250x1,75	1	8,05	7,54	7,91	8,05
Z-250x2,5	Z-250x2,0	1	10,61	10,12	11,01	10,61
Z-250x3	Z-250x2,5	1	12,67	12,24	13,35	12,68

Belka 3-przęslowa, stal S350GD, poszycie z blachy Super 40, 0,60mm, 2 wkręty w faldzie, zakłady 10% i 20% liczone do śrub, dopuszczalne ugięcie L/150 - jeżeli $L \leq 6,0m$ lub L/200 - jeżeli $L > 6,0m$

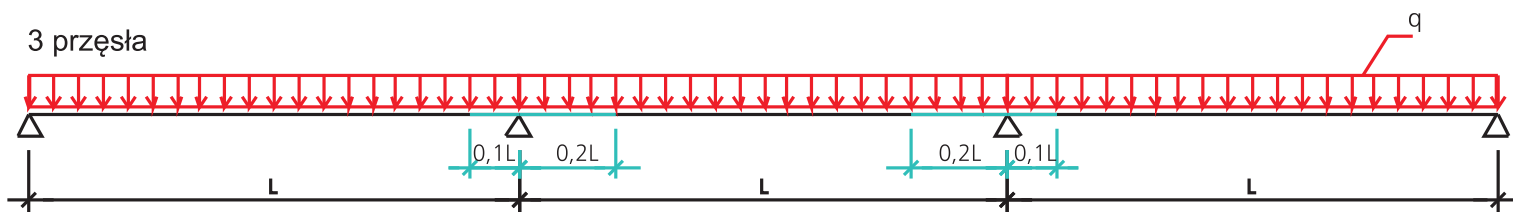
L = 4,8 m



Przekrój w przęśle skrajnym	Przekrój w przęsłach pozostałych	Ilość tężników w każdym przęśle	Maksymalne obciążenie obliczeniowe grawitacyjne q_g [kN/m]	Maksymalne obciążenie obliczeniowe, grawitacyjne q_g [kN/m] + siła osiowa $N=10kN$	Maksymalne obciążenie obliczeniowe, unoszące q_u [kN/m]	Maksymalne obciążenie grawitacyjne charakterystyczne ze względu na ugięcia q_{ch} [kN/m]
Z-120x1	Z-120x1	1	0,94	0,67	0,69	0,80
Z-120x1,25	Z-120x1	1	1,31	0,91	1,05	1,05
Z-120x1,5	Z-120x1,25	1	1,72	1,51	1,37	1,29
Z-120x1,75	Z-120x1,5	1	2,07	1,88	1,65	1,55
Z-120x2	Z-120x1,75	1	2,41	2,23	1,89	1,80
Z-120x2,5	Z-120x2	1	2,99	2,82	2,27	2,25
Z-120x3	Z-120x2,5	1	3,58	3,42	2,64	2,69
Z-150x1	Z-150x1	1	1,16	0,83	0,78	1,16
Z-150x1,25	Z-150x1	1	1,60	1,09	1,21	1,60
Z-150x1,5	Z-150x1,25	1	2,22	1,91	1,67	2,19
Z-150x1,75	Z-150x1,5	1	2,68	2,41	2,04	2,60
Z-150x2	Z-150x1,75	1	3,13	2,89	2,35	3,03
Z-150x2,5	Z-150x2	1	3,91	3,69	2,87	3,81
Z-150x3	Z-150x2,5	1	4,72	4,53	3,37	4,59
Z-200x1,25	Z-200x1,25	1	2,26	1,83	1,47	2,25
Z-200x1,5	Z-200x1,25	1	3,00	2,46	2,05	3,00
Z-200x1,75	Z-200x1,5	1	3,75	3,37	2,64	3,75
Z-200x2	Z-200x1,75	1	4,52	4,15	3,22	4,51
Z-200x2,5	Z-200x2	1	5,71	5,39	4,02	5,70
Z-200x3	Z-200x2,5	1	6,95	6,66	4,81	6,95
Z-250x1,5	Z-250x1,5	1	4,80	4,29	4,10	4,80
Z-250x1,75	Z-250x1,5	1	5,66	5,38	5,37	5,66
Z-250x2,0	Z-250x1,75	1	7,15	6,69	6,64	7,15
Z-250x2,5	Z-250x2,0	1	9,41	8,98	9,25	9,41
Z-250x3	Z-250x2,5	1	11,24	10,85	11,21	11,25

Belka 3-przęslowa, stal S350GD, poszycie z blachy Super 40, 0,60mm, 2 wkręty w faldzie, zakłady 10% i 20% liczone do śrub, dopuszczalne ugięcie L/150 - jeżeli $L \leq 6,0m$ lub L/200 - jeżeli $L > 6,0m$

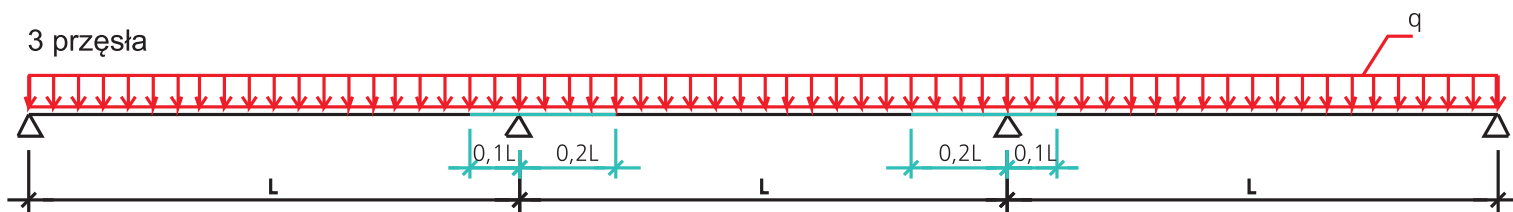
L = 5,1 m



Przekrój w przęśle skrajnym	Przekrój w przęsłach pozostałych	Ilość tężników w każdym przęśle	Maksymalne obciążenie obliczeniowe grawitacyjne q_g [kN/m]	Maksymalne obciążenie obliczeniowe, grawitacyjne q_g [kN/m] + siła osiowa $N=10kN$	Maksymalne obciążenie obliczeniowe, unoszące q_u [kN/m]	Maksymalne obciążenie grawitacyjne charakterystyczne ze względu na ugięcia q_{ch} [kN/m]
Z-120x1	Z-120x1	1	0,84	0,60	0,61	0,67
Z-120x1,25	Z-120x1	1	1,16	0,80	0,92	0,88
Z-120x1,5	Z-120x1,25	1	1,56	1,36	1,21	1,09
Z-120x1,75	Z-120x1,5	1	1,87	1,69	1,46	1,30
Z-120x2	Z-120x1,75	1	2,18	2,01	1,67	1,51
Z-120x2,5	Z-120x2	1	2,69	2,54	2,00	1,89
Z-120x3	Z-120x2,5	1	3,21	3,07	2,31	2,26
Z-150x1	Z-150x1	1	1,03	0,73	0,67	1,03
Z-150x1,25	Z-150x1	1	1,39	0,94	1,05	1,40
Z-150x1,5	Z-150x1,25	1	1,99	1,66	1,45	1,84
Z-150x1,75	Z-150x1,5	1	2,40	2,16	1,77	2,19
Z-150x2	Z-150x1,75	1	2,80	2,57	2,03	2,55
Z-150x2,5	Z-150x2	1	3,49	3,29	2,46	3,21
Z-150x3	Z-150x2,5	1	4,20	4,02	2,89	3,86
Z-200x1,25	Z-200x1,25	1	1,99	1,60	1,23	1,99
Z-200x1,5	Z-200x1,25	1	2,65	2,11	1,72	2,65
Z-200x1,75	Z-200x1,5	1	3,31	2,97	2,23	3,31
Z-200x2	Z-200x1,75	1	3,99	3,67	2,71	3,99
Z-200x2,5	Z-200x2	1	5,04	4,75	3,36	5,04
Z-200x3	Z-200x2,5	1	6,13	5,86	4,01	6,14
Z-250x1,5	Z-250x1,5	1	4,25	3,79	3,46	4,25
Z-250x1,75	Z-250x1,5	1	5,26	4,86	4,53	5,26
Z-250x2,0	Z-250x1,75	1	6,33	5,92	5,59	6,34
Z-250x2,5	Z-250x2,0	1	8,36	7,97	7,79	8,35
Z-250x3	Z-250x2,5	1	9,99	9,64	9,45	9,99

Belka 3-przęslowa, stal S350GD, poszycie z blachy Super 40, 0,60mm, 2 wkręty w faldzie, zakłady 10% i 20% liczone do śrub, dopuszczalne ugięcie L/150 - jeżeli $L \leq 6,0m$ lub L/200 - jeżeli $L > 6,0m$

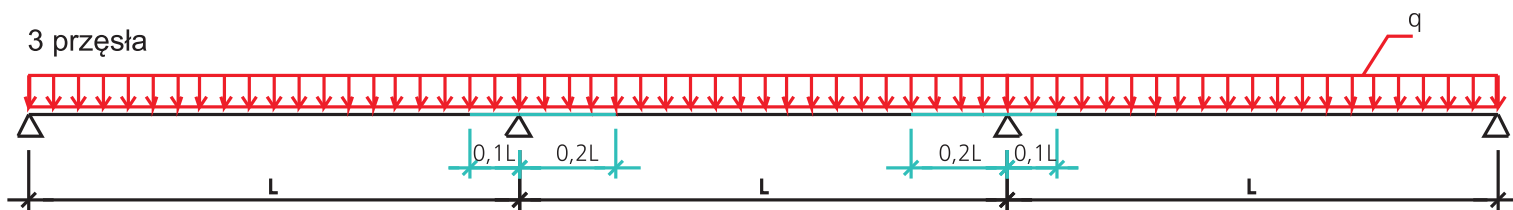
L = 5,4 m



Przekrój w przęśle skrajnym	Przekrój w przęsłach pozostałych	Ilość tężników w każdym przęśle	Maksymalne obciążenie obliczeniowe grawitacyjne q_g [kN/m]	Maksymalne obciążenie obliczeniowe, grawitacyjne q_g [kN/m] + siła osiowa $N=10kN$	Maksymalne obciążenie obliczeniowe, unoszące q_u [kN/m]	Maksymalne obciążenie grawitacyjne charakterystyczne ze względu na ugięcia q_{ch} [kN/m]
Z-120x1	Z-120x1	2	0,83	0,59	0,60	0,56
Z-120x1,25	Z-120x1	2	1,18	0,83	0,91	0,75
Z-120x1,5	Z-120x1,25	2	1,63	1,42	1,20	0,93
Z-120x1,75	Z-120x1,5	2	1,99	1,79	1,46	1,10
Z-120x2	Z-120x1,75	2	2,30	2,12	1,69	1,28
Z-120x2,5	Z-120x2	2	2,87	2,71	2,08	1,61
Z-120x3	Z-120x2,5	2	3,45	3,29	2,48	1,93
Z-150x1	Z-150x1	2	1,05	0,73	0,75	0,94
Z-150x1,25	Z-150x1	2	1,48	1,04	1,14	1,24
Z-150x1,5	Z-150x1,25	2	2,17	1,80	1,58	1,57
Z-150x1,75	Z-150x1,5	2	2,66	2,38	1,94	1,86
Z-150x2	Z-150x1,75	2	3,10	2,84	2,25	2,17
Z-150x2,5	Z-150x2	2	3,89	3,66	2,82	2,73
Z-150x3	Z-150x2,5	2	4,70	4,49	3,39	3,29
Z-200x1,25	Z-200x1,25	2	2,11	1,70	1,52	2,11
Z-200x1,5	Z-200x1,25	2	2,91	2,40	2,11	2,91
Z-200x1,75	Z-200x1,5	2	3,75	3,36	2,74	3,64
Z-200x2	Z-200x1,75	2	4,58	4,21	3,36	4,29
Z-200x2,5	Z-200x2	2	5,81	5,47	4,24	5,43
Z-200x3	Z-200x2,5	2	7,05	6,75	5,13	6,57
Z-250x1,5	Z-250x1,5	2	4,47	3,99	3,71	4,46
Z-250x1,75	Z-250x1,5	2	4,91	4,66	4,87	4,91
Z-250x2,0	Z-250x1,75	2	7,27	6,80	6,03	7,27
Z-250x2,5	Z-250x2,0	2	10,02	9,55	8,40	10,01
Z-250x3	Z-250x2,5	2	12,02	11,59	10,17	12,02

Belka 3-przęslowa, stal S350GD, poszycie z blachy Super 40, 0,60mm, 2 wkręty w faldzie, zakłady 10% i 20% liczone do śrub, dopuszczalne ugięcie L/150 - jeżeli $L \leq 6,0m$ lub L/200 - jeżeli $L > 6,0m$

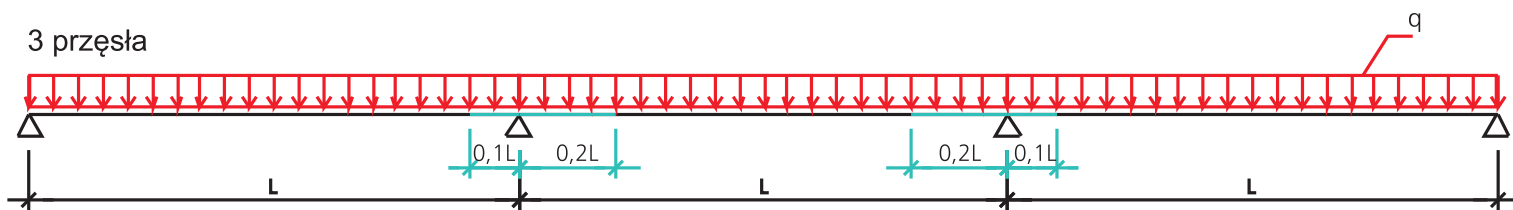
L = 5,7 m



Przekrój w przęśle skrajnym	Przekrój w przęsłach pozostałych	Ilość tężników w każdym przęśle	Maksymalne obciążenie obliczeniowe grawitacyjne q_g [kN/m]	Maksymalne obciążenie obliczeniowe, grawitacyjne q_g [kN/m] + siła osiowa $N=10kN$	Maksymalne obciążenie obliczeniowe, unoszące q_u [kN/m]	Maksymalne obciążenie grawitacyjne charakterystyczne ze względu na ugięcia q_{ch} [kN/m]
Z-120x1	Z-120x1	2	0,75	0,52	0,53	0,48
Z-120x1,25	Z-120x1	2	1,05	0,74	0,81	0,64
Z-120x1,5	Z-120x1,25	2	1,45	1,25	1,06	0,79
Z-120x1,75	Z-120x1,5	2	1,77	1,58	1,29	0,95
Z-120x2	Z-120x1,75	2	2,06	1,88	1,49	1,10
Z-120x2,5	Z-120x2	2	2,56	2,41	1,83	1,37
Z-120x3	Z-120x2,5	2	3,07	2,92	2,17	1,65
Z-150x1	Z-150x1	2	0,93	0,64	0,65	0,80
Z-150x1,25	Z-150x1	2	1,31	0,91	1,00	1,07
Z-150x1,5	Z-150x1,25	2	1,93	1,59	1,38	1,34
Z-150x1,75	Z-150x1,5	2	2,36	2,11	1,69	1,59
Z-150x2	Z-150x1,75	2	2,75	2,52	1,96	1,86
Z-150x2,5	Z-150x2	2	3,45	3,25	2,46	2,34
Z-150x3	Z-150x2,5	2	4,17	3,98	2,94	2,82
Z-200x1,25	Z-200x1,25	2	1,87	1,50	1,31	1,87
Z-200x1,5	Z-200x1,25	2	2,58	2,11	1,83	2,58
Z-200x1,75	Z-200x1,5	2	3,32	2,97	2,37	3,12
Z-200x2	Z-200x1,75	2	4,06	3,72	2,91	3,68
Z-200x2,5	Z-200x2	2	5,14	4,84	3,66	4,66
Z-200x3	Z-200x2,5	2	6,25	5,97	4,44	5,64
Z-250x1,5	Z-250x1,5	2	4,03	3,60	3,27	4,03
Z-250x1,75	Z-250x1,5	2	4,59	4,35	4,29	4,59
Z-250x2,0	Z-250x1,75	2	6,54	6,10	5,31	6,54
Z-250x2,5	Z-250x2,0	2	8,96	8,53	7,40	8,96
Z-250x3	Z-250x2,5	2	10,75	10,36	8,95	10,75

Belka 3-przęslowa, stal S350GD, poszycie z blachy Super 40, 0,60mm, 2 wkręty w faldzie, zakłady 10% i 20% liczone do śrub, dopuszczalne ugięcie L/150 - jeżeli $L \leq 6,0m$ lub L/200 - jeżeli $L > 6,0m$

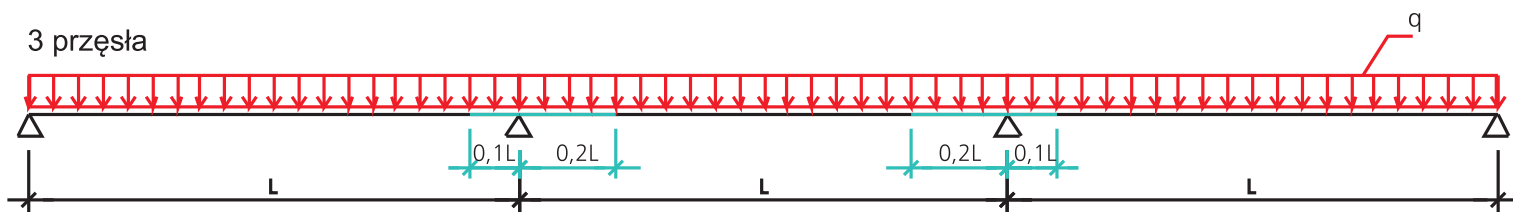
L = 6,0 m



Przekrój w przęśle skrajnym	Przekrój w przęsłach pozostałych	Ilość tężników w każdym przęśle	Maksymalne obciążenie obliczeniowe grawitacyjne q_g [kN/m]	Maksymalne obciążenie obliczeniowe, grawitacyjne q_g [kN/m] + siła osiowa $N=10kN$	Maksymalne obciążenie obliczeniowe, unoszące q_u [kN/m]	Maksymalne obciążenie grawitacyjne charakterystyczne ze względu na ugięcia q_{ch} [kN/m]
Z-120x1	Z-120x1	2	0,67	0,46	0,47	0,32
Z-120x1,25	Z-120x1	2	0,94	0,65	0,72	0,42
Z-120x1,5	Z-120x1,25	2	1,30	1,13	0,93	0,52
Z-120x1,75	Z-120x1,5	2	1,59	1,42	1,14	0,62
Z-120x2	Z-120x1,75	2	1,84	1,69	1,32	0,71
Z-120x2,5	Z-120x2	2	2,29	2,16	1,61	0,89
Z-120x3	Z-120x2,5	2	2,74	2,61	1,91	1,07
Z-150x1	Z-150x1	2	0,83	0,57	0,57	0,52
Z-150x1,25	Z-150x1	2	1,17	0,80	0,87	0,69
Z-150x1,5	Z-150x1,25	2	1,72	1,41	1,21	0,87
Z-150x1,75	Z-150x1,5	2	2,11	1,88	1,48	1,03
Z-150x2	Z-150x1,75	2	2,46	2,25	1,73	1,20
Z-150x2,5	Z-150x2	2	3,08	2,89	2,14	1,51
Z-150x3	Z-150x2,5	2	3,71	3,54	2,57	1,82
Z-200x1,25	Z-200x1,25	2	1,66	1,31	1,14	1,32
Z-200x1,5	Z-200x1,25	2	2,29	1,86	1,59	1,68
Z-200x1,75	Z-200x1,5	2	2,96	2,64	2,06	2,02
Z-200x2	Z-200x1,75	2	3,62	3,30	2,53	2,38
Z-200x2,5	Z-200x2	2	4,57	4,29	3,19	3,02
Z-200x3	Z-200x2,5	2	5,55	5,30	3,85	3,65
Z-250x1,5	Z-250x1,5	2	3,65	3,26	2,88	3,34
Z-250x1,75	Z-250x1,5	2	4,31	4,08	3,78	4,03
Z-250x2,0	Z-250x1,75	2	5,86	5,46	4,68	4,72
Z-250x2,5	Z-250x2,0	2	8,05	7,66	6,53	6,11
Z-250x3	Z-250x2,5	2	9,66	9,31	7,90	7,36

Belka 3-przęslowa, stal S350GD, poszycie z blachy Super 40, 0,60mm, 2 wkręty w faldzie, zakłady 10% i 20% liczone do śrub, dopuszczalne ugięcie L/150 - jeżeli $L \leq 6,0m$ lub L/200 - jeżeli $L > 6,0m$

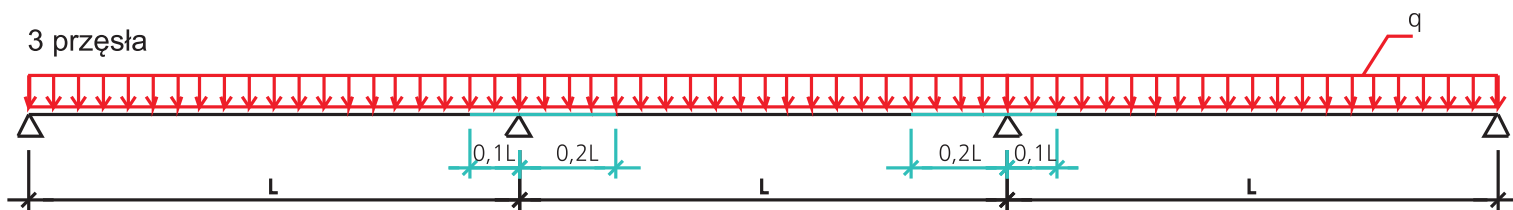
L = 6,3 m



Przekrój w przęśle skrajnym	Przekrój w przęsłach pozostałych	Ilość tężników w każdym przęśle	Maksymalne obciążenie obliczeniowe grawitacyjne q_g [kN/m]	Maksymalne obciążenie obliczeniowe, grawitacyjne q_g [kN/m] + siła osiowa $N=10kN$	Maksymalne obciążenie obliczeniowe, unoszące q_u [kN/m]	Maksymalne obciążenie grawitacyjne charakterystyczne ze względu na ugięcia q_{ch} [kN/m]
Z-120x1	Z-120x1	2	0,60	0,42	0,42	0,27
Z-120x1,25	Z-120x1	2	0,85	0,59	0,64	0,36
Z-120x1,5	Z-120x1,25	2	1,17	1,01	0,84	0,45
Z-120x1,75	Z-120x1,5	2	1,44	1,28	1,02	0,53
Z-120x2	Z-120x1,75	2	1,66	1,52	1,17	0,62
Z-120x2,5	Z-120x2	2	2,06	1,94	1,44	0,78
Z-120x3	Z-120x2,5	2	2,47	2,34	1,70	0,93
Z-150x1	Z-150x1	2	0,73	0,50	0,50	0,45
Z-150x1,25	Z-150x1	2	1,04	0,71	0,77	0,60
Z-150x1,5	Z-150x1,25	2	1,54	1,26	1,07	0,75
Z-150x1,75	Z-150x1,5	2	1,89	1,69	1,32	0,90
Z-150x2	Z-150x1,75	2	2,20	2,01	1,53	1,05
Z-150x2,5	Z-150x2	2	2,76	2,59	1,89	1,32
Z-150x3	Z-150x2,5	2	3,32	3,17	2,25	1,59
Z-200x1,25	Z-200x1,25	2	1,48	1,16	0,99	1,16
Z-200x1,5	Z-200x1,25	2	2,05	1,65	1,39	1,46
Z-200x1,75	Z-200x1,5	2	2,64	2,34	1,79	1,76
Z-200x2	Z-200x1,75	2	3,23	2,94	2,21	2,07
Z-200x2,5	Z-200x2	2	4,08	3,82	2,77	2,63
Z-200x3	Z-200x2,5	2	4,96	4,72	3,36	3,17
Z-250x1,5	Z-250x1,5	2	3,32	2,92	2,55	2,90
Z-250x1,75	Z-250x1,5	2	4,05	3,83	3,35	3,50
Z-250x2,0	Z-250x1,75	2	5,28	4,90	4,15	4,10
Z-250x2,5	Z-250x2,0	2	7,24	6,89	5,78	5,31
Z-250x3	Z-250x2,5	2	8,71	8,39	7,00	6,40

Belka 3-przęslowa, stal S350GD, poszycie z blachy Super 40, 0,60mm, 2 wkręty w faldzie, zakłady 10% i 20% liczone do śrub, dopuszczalne ugięcie L/150 - jeżeli $L \leq 6,0m$ lub L/200 - jeżeli $L > 6,0m$

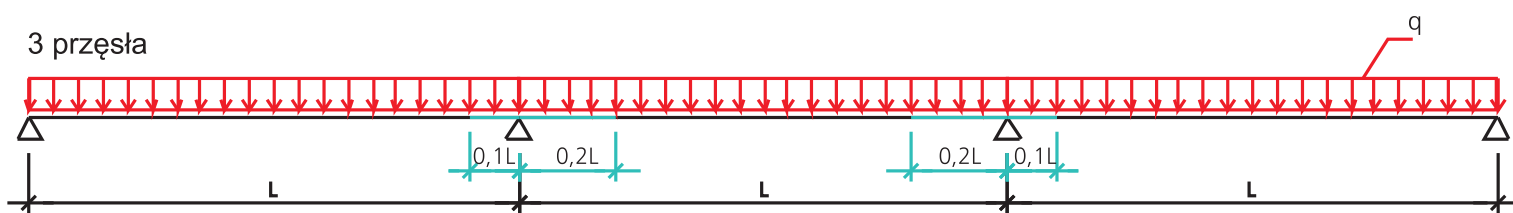
L = 6,6 m



Przekrój w przęśle skrajnym	Przekrój w przęsłach pozostałych	Ilość tężników w każdym przęśle	Maksymalne obciążenie obliczeniowe grawitacyjne q_g [kN/m]	Maksymalne obciążenie obliczeniowe, grawitacyjne q_g [kN/m] + siła osiowa $N=10kN$	Maksymalne obciążenie obliczeniowe, unoszące q_u [kN/m]	Maksymalne obciążenie grawitacyjne charakterystyczne ze względu na ugięcia q_{ch} [kN/m]
Z-120x1	Z-120x1	2	0,54	0,37	0,38	0,24
Z-120x1,25	Z-120x1	2	0,76	0,53	0,57	0,31
Z-120x1,5	Z-120x1,25	2	1,06	0,92	0,76	0,39
Z-120x1,75	Z-120x1,5	2	1,30	1,15	0,92	0,46
Z-120x2	Z-120x1,75	2	1,51	1,38	1,05	0,54
Z-120x2,5	Z-120x2	2	1,86	1,75	1,29	0,68
Z-120x3	Z-120x2,5	2	2,22	2,11	1,51	0,81
Z-150x1	Z-150x1	2	0,66	0,45	0,45	0,39
Z-150x1,25	Z-150x1	2	0,94	0,63	0,69	0,52
Z-150x1,5	Z-150x1,25	2	1,39	1,13	0,96	0,66
Z-150x1,75	Z-150x1,5	2	1,71	1,51	1,16	0,78
Z-150x2	Z-150x1,75	2	1,99	1,81	1,36	0,92
Z-150x2,5	Z-150x2	2	2,48	2,33	1,67	1,15
Z-150x3	Z-150x2,5	2	2,99	2,84	2,00	1,39
Z-200x1,25	Z-200x1,25	2	1,32	1,03	0,87	1,01
Z-200x1,5	Z-200x1,25	2	1,83	1,47	1,21	1,27
Z-200x1,75	Z-200x1,5	2	2,36	2,10	1,58	1,54
Z-200x2	Z-200x1,75	2	2,90	2,63	1,94	1,81
Z-200x2,5	Z-200x2	2	3,65	3,42	2,43	2,29
Z-200x3	Z-200x2,5	2	4,43	4,22	2,94	2,77
Z-250x1,5	Z-250x1,5	2	2,98	2,64	2,27	2,54
Z-250x1,75	Z-250x1,5	2	3,81	3,53	2,97	3,06
Z-250x2,0	Z-250x1,75	2	4,76	4,42	3,67	3,59
Z-250x2,5	Z-250x2,0	2	6,54	6,21	5,13	4,64
Z-250x3	Z-250x2,5	2	7,87	7,57	6,21	5,59

Belka 3-przęslowa, stal S350GD, poszycie z blachy Super 40, 0,60mm, 2 wkręty w faldzie, zakłady 10% i 20% liczone do śrub, dopuszczalne ugięcie L/150 - jeżeli $L \leq 6,0m$ lub L/200 - jeżeli $L > 6,0m$

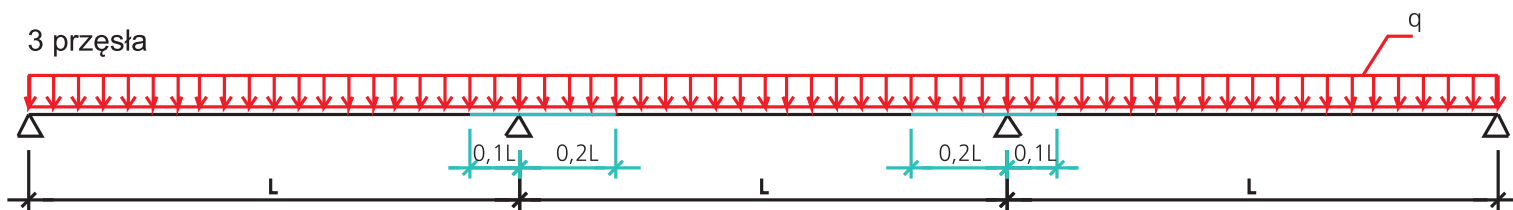
L = 6,9 m



Przekrój w przęśle skrajnym	Przekrój w przęsłach pozostałych	Ilość tężników w każdym przęśle	Maksymalne obciążenie obliczeniowe grawitacyjne q_g [kN/m]	Maksymalne obciążenie obliczeniowe, grawitacyjne q_g [kN/m] + siła osiowa $N=10kN$	Maksymalne obciążenie obliczeniowe, unoszące q_u [kN/m]	Maksymalne obciążenie grawitacyjne charakterystyczne ze względu na ugięcia q_{ch} [kN/m]
Z-120x1	Z-120x1	2	0,49	0,33	0,34	0,21
Z-120x1,25	Z-120x1	2	0,69	0,47	0,52	0,28
Z-120x1,5	Z-120x1,25	2	0,97	0,82	0,68	0,34
Z-120x1,75	Z-120x1,5	2	1,18	1,05	0,84	0,40
Z-120x2	Z-120x1,75	2	1,37	1,25	0,96	0,48
Z-120x2,5	Z-120x2	2	1,69	1,58	1,16	0,60
Z-120x3	Z-120x2,5	2	2,02	1,92	1,36	0,71
Z-150x1	Z-150x1	2	0,59	0,40	0,40	0,34
Z-150x1,25	Z-150x1	2	0,84	0,56	0,61	0,46
Z-150x1,5	Z-150x1,25	2	1,26	1,01	0,85	0,58
Z-150x1,75	Z-150x1,5	2	1,54	1,37	1,05	0,69
Z-150x2	Z-150x1,75	2	1,80	1,64	1,21	0,80
Z-150x2,5	Z-150x2	2	2,24	2,10	1,49	1,01
Z-150x3	Z-150x2,5	2	2,70	2,56	1,77	1,22
Z-200x1,25	Z-200x1,25	2	1,19	0,93	0,77	0,88
Z-200x1,5	Z-200x1,25	2	1,65	1,30	1,07	1,12
Z-200x1,75	Z-200x1,5	2	2,12	1,87	1,40	1,35
Z-200x2	Z-200x1,75	2	2,60	2,36	1,71	1,59
Z-200x2,5	Z-200x2	2	3,28	3,07	2,14	2,02
Z-200x3	Z-200x2,5	2	3,99	3,79	2,58	2,44
Z-250x1,5	Z-250x1,5	2	2,71	2,38	2,01	2,24
Z-250x1,75	Z-250x1,5	2	3,51	3,19	2,64	2,70
Z-250x2,0	Z-250x1,75	2	4,31	4,00	3,27	3,16
Z-250x2,5	Z-250x2,0	2	5,92	5,62	4,57	4,08
Z-250x3	Z-250x2,5	2	7,12	6,85	5,53	4,92

Belka 3-przęslowa, stal S350GD, poszycie z blachy Super 40, 0,60mm, 2 wkręty w faldzie, zakłady 10% i 20% liczone do śrub, dopuszczalne ugięcie L/150 - jeżeli $L \leq 6,0m$ lub L/200 - jeżeli $L > 6,0m$

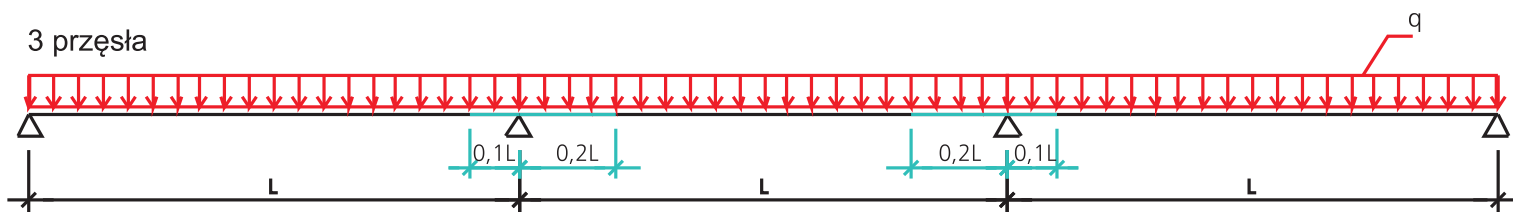
L = 7,2 m



Przekrój w przęśle skrajnym	Przekrój w przęsłach pozostałych	Ilość tężników w każdym przęśle	Maksymalne obciążenie obliczeniowe grawitacyjne q_g [kN/m]	Maksymalne obciążenie obliczeniowe, grawitacyjne q_g [kN/m] + siła osiowa $N=10kN$	Maksymalne obciążenie obliczeniowe, unoszące q_u [kN/m]	Maksymalne obciążenie grawitacyjne charakterystyczne ze względu na ugięcia q_{ch} [kN/m]
Z-120x1	Z-120x1	3	0,48	0,32	0,31	0,19
Z-120x1,25	Z-120x1	3	0,68	0,46	0,47	0,24
Z-120x1,5	Z-120x1,25	3	0,95	0,82	0,62	0,31
Z-120x1,75	Z-120x1,5	3	1,16	1,04	0,75	0,36
Z-120x2	Z-120x1,75	3	1,35	1,23	0,88	0,42
Z-120x2,5	Z-120x2	3	1,67	1,56	1,09	0,53
Z-120x3	Z-120x2,5	3	1,99	1,90	1,30	0,64
Z-150x1	Z-150x1	3	0,59	0,40	0,39	0,31
Z-150x1,25	Z-150x1	3	0,83	0,56	0,59	0,41
Z-150x1,5	Z-150x1,25	3	1,25	1,01	0,82	0,51
Z-150x1,75	Z-150x1,5	3	1,54	1,36	1,01	0,60
Z-150x2	Z-150x1,75	3	1,79	1,63	1,19	0,72
Z-150x2,5	Z-150x2	3	2,25	2,11	1,49	0,89
Z-150x3	Z-150x2,5	3	2,70	2,58	1,79	1,08
Z-200x1,25	Z-200x1,25	3	1,20	0,94	0,80	0,78
Z-200x1,5	Z-200x1,25	3	1,66	1,32	1,10	0,99
Z-200x1,75	Z-200x1,5	3	2,15	1,91	1,44	1,19
Z-200x2	Z-200x1,75	3	2,63	2,40	1,78	1,41
Z-200x2,5	Z-200x2	3	3,33	3,13	2,25	1,79
Z-200x3	Z-200x2,5	3	4,05	3,86	2,74	2,16
Z-250x1,5	Z-250x1,5	3	2,58	2,30	2,05	1,97
Z-250x1,75	Z-250x1,5	3	3,39	3,11	2,69	2,39
Z-250x2,0	Z-250x1,75	3	4,19	3,93	3,33	2,80
Z-250x2,5	Z-250x2,0	3	5,85	5,58	4,66	3,62
Z-250x3	Z-250x2,5	3	7,04	6,79	5,63	4,36

Belka 3-przęslowa, stal S350GD, poszycie z blachy Super 40, 0,60mm, 2 wkręty w faldzie, zakłady 10% i 20% liczone do śrub, dopuszczalne ugięcie L/150 - jeżeli $L \leq 6,0m$ lub L/200 - jeżeli $L > 6,0m$

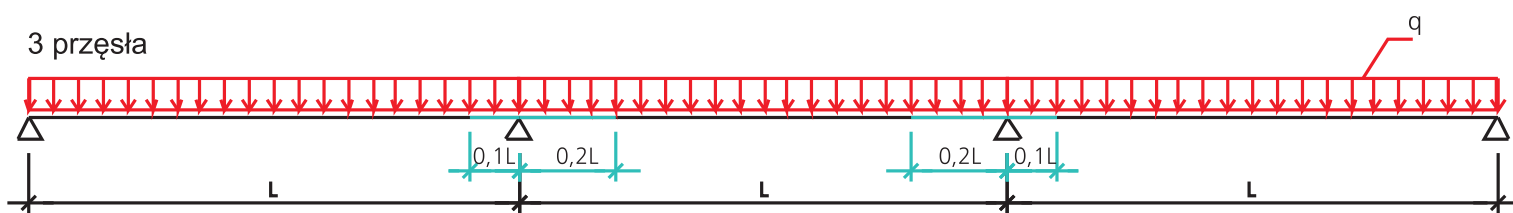
L = 7,5 m



Przekrój w przęśle skrajnym	Przekrój w przęsłach pozostałych	Ilość tężników w każdym przęśle	Maksymalne obciążenie obliczeniowe grawitacyjne q_g [kN/m]	Maksymalne obciążenie obliczeniowe, grawitacyjne q_g [kN/m] + siła osiowa $N=10kN$	Maksymalne obciążenie obliczeniowe, unoszące q_u [kN/m]	Maksymalne obciążenie grawitacyjne charakterystyczne ze względu na ugięcia q_{ch} [kN/m]
Z-120x1	Z-120x1	3	0,44	0,30	0,28	0,16
Z-120x1,25	Z-120x1	3	0,62	0,42	0,41	0,21
Z-120x1,5	Z-120x1,25	3	0,87	0,75	0,55	0,27
Z-120x1,75	Z-120x1,5	3	1,06	0,95	0,67	0,32
Z-120x2	Z-120x1,75	3	1,23	1,12	0,78	0,37
Z-120x2,5	Z-120x2	3	1,53	1,43	0,96	0,46
Z-120x3	Z-120x2,5	3	1,82	1,73	1,15	0,56
Z-150x1	Z-150x1	3	0,54	0,36	0,34	0,27
Z-150x1,25	Z-150x1	3	0,76	0,51	0,53	0,36
Z-150x1,5	Z-150x1,25	3	1,13	0,92	0,73	0,45
Z-150x1,75	Z-150x1,5	3	1,40	1,24	0,90	0,54
Z-150x2	Z-150x1,75	3	1,63	1,48	1,06	0,63
Z-150x2,5	Z-150x2	3	2,04	1,91	1,32	0,80
Z-150x3	Z-150x2,5	3	2,46	2,34	1,59	0,96
Z-200x1,25	Z-200x1,25	3	1,08	0,84	0,70	0,69
Z-200x1,5	Z-200x1,25	3	1,50	1,19	0,98	0,88
Z-200x1,75	Z-200x1,5	3	1,95	1,73	1,28	1,07
Z-200x2	Z-200x1,75	3	2,38	2,17	1,57	1,25
Z-200x2,5	Z-200x2	3	3,01	2,83	1,99	1,58
Z-200x3	Z-200x2,5	3	3,66	3,49	2,43	1,92
Z-250x1,5	Z-250x1,5	3	2,38	2,13	1,85	1,76
Z-250x1,75	Z-250x1,5	3	3,13	2,88	2,43	2,13
Z-250x2,0	Z-250x1,75	3	3,88	3,63	3,01	2,49
Z-250x2,5	Z-250x2,0	3	5,41	5,16	4,19	3,22
Z-250x3	Z-250x2,5	3	6,51	6,29	5,08	3,88

Belka 3-przęslowa, stal S350GD, poszycie z blachy Super 40, 0,60mm, 2 wkręty w faldzie, zakłady 10% i 20% liczone do śrub, dopuszczalne ugięcie L/150 - jeżeli $L \leq 6,0m$ lub L/200 - jeżeli $L > 6,0m$

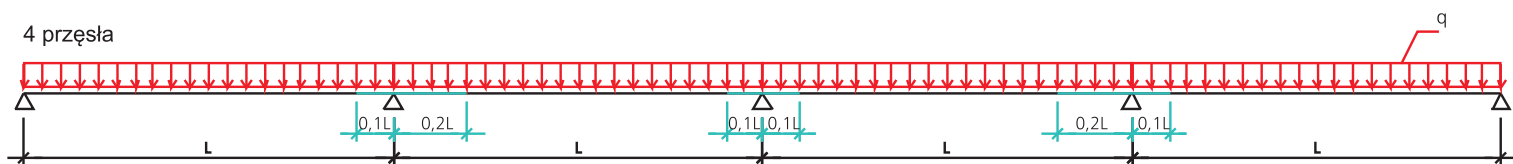
L = 7,8 m



Przekrój w przęśle skrajnym	Przekrój w przęsłach pozostałych	Ilość tężników w każdym przęśle	Maksymalne obciążenie obliczeniowe grawitacyjne q_g [kN/m]	Maksymalne obciążenie obliczeniowe, grawitacyjne q_g [kN/m] + siła osiowa $N=10kN$	Maksymalne obciążenie obliczeniowe, unoszące q_u [kN/m]	Maksymalne obciążenie grawitacyjne charakterystyczne ze względu na ugięcia q_{ch} [kN/m]
Z-120x1	Z-120x1	3	0,40	0,27	0,24	0,15
Z-120x1,25	Z-120x1	3	0,57	0,38	0,37	0,19
Z-120x1,5	Z-120x1,25	3	0,80	0,68	0,50	0,24
Z-120x1,75	Z-120x1,5	3	0,98	0,86	0,60	0,28
Z-120x2	Z-120x1,75	3	1,13	1,03	0,70	0,33
Z-120x2,5	Z-120x2	3	1,40	1,30	0,86	0,41
Z-120x3	Z-120x2,5	3	1,66	1,58	1,02	0,50
Z-150x1	Z-150x1	3	0,49	0,33	0,30	0,24
Z-150x1,25	Z-150x1	3	0,69	0,45	0,47	0,32
Z-150x1,5	Z-150x1,25	3	1,04	0,83	0,65	0,41
Z-150x1,75	Z-150x1,5	3	1,28	1,13	0,80	0,48
Z-150x2	Z-150x1,75	3	1,48	1,35	0,93	0,57
Z-150x2,5	Z-150x2	3	1,86	1,74	1,17	0,71
Z-150x3	Z-150x2,5	3	2,23	2,12	1,41	0,86
Z-200x1,25	Z-200x1,25	3	0,98	0,76	0,62	0,63
Z-200x1,5	Z-200x1,25	3	1,36	1,08	0,87	0,78
Z-200x1,75	Z-200x1,5	3	1,77	1,56	1,13	0,95
Z-200x2	Z-200x1,75	3	2,17	1,97	1,39	1,12
Z-200x2,5	Z-200x2	3	2,74	2,56	1,76	1,42
Z-200x3	Z-200x2,5	3	3,33	3,16	2,15	1,71
Z-250x1,5	Z-250x1,5	3	2,21	1,97	1,67	1,57
Z-250x1,75	Z-250x1,5	3	2,90	2,66	2,19	1,89
Z-250x2,0	Z-250x1,75	3	3,59	3,36	2,71	2,22
Z-250x2,5	Z-250x2,0	3	5,00	4,74	3,79	2,87
Z-250x3	Z-250x2,5	3	6,02	5,79	4,58	3,46

Belka 3-przęslowa, stal S350GD, poszycie z blachy Super 40, 0,60mm, 2 wkręty w faldzie, zakłady 10% i 20% liczone do śrub, dopuszczalne ugięcie L/150 - jeżeli $L \leq 6,0m$ lub L/200 - jeżeli $L > 6,0m$

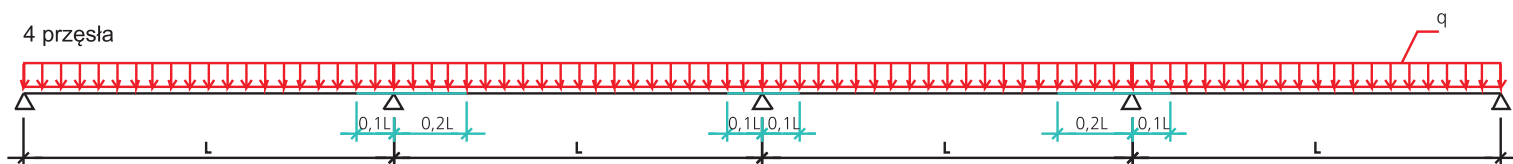
L = 8,1 m



Przekrój w przęśle skrajnym	Przekrój w przęsłach pozostałych	Ilość tężników w każdym przęśle	Maksymalne obciążenie obliczeniowe grawitacyjne q_g [kN/m]	Maksymalne obciążenie obliczeniowe, grawitacyjne q_g [kN/m] + siła osiowa $N=10kN$	Maksymalne obciążenie obliczeniowe, unoszące q_u [kN/m]	Maksymalne obciążenie grawitacyjne charakterystyczne ze względu na ugięcia q_{ch} [kN/m]
Z-120x1	Z-120x1	0	1,82	1,30	2,16	1,82
Z-120x1,25	Z-120x1	0	2,12	1,35	3,17	2,12
Z-120x1,5	Z-120x1,25	0	3,06	2,38	4,09	3,06
Z-120x1,75	Z-120x1,5	0	3,93	3,31	4,91	3,93
Z-120x2	Z-120x1,75	0	4,62	4,14	5,62	4,62
Z-120x2,5	Z-120x2	0	5,44	4,91	6,85	5,44
Z-120x3	Z-120x2,5	0	6,67	6,18	8,03	6,67
Z-150x1	Z-150x1	0	2,20	1,44	2,63	2,20
Z-150x1,25	Z-150x1	0	2,46	1,44	3,90	2,46
Z-150x1,5	Z-150x1,25	0	3,62	2,70	5,26	3,62
Z-150x1,75	Z-150x1,5	0	4,81	3,96	6,36	4,82
Z-150x2	Z-150x1,75	0	5,80	5,02	7,31	5,80
Z-150x2,5	Z-150x2	0	6,75	6,02	9,00	6,75
Z-150x3	Z-150x2,5	0	8,34	7,68	10,65	8,34
Z-200x1,25	Z-200x1,25	0	4,16	3,18	5,22	4,17
Z-200x1,5	Z-200x1,25	0	4,54	3,18	6,38	4,54
Z-200x1,75	Z-200x1,5	0	6,08	4,83	8,96	6,08
Z-200x2	Z-200x1,75	0	7,63	6,44	10,74	7,63
Z-200x2,5	Z-200x2	0	9,19	8,06	13,38	9,19
Z-200x3	Z-200x2,5	0	11,54	10,52	15,97	11,53
Z-250x1,5	Z-250x1,5	0	8,46	7,51	9,29	8,47
Z-250x1,75	Z-250x1,5	0	9,28	9,01	9,29	9,29
Z-250x2,0	Z-250x1,75	0	12,25	11,43	15,77	12,25
Z-250x2,5	Z-250x2,0	0	15,73	14,35	22,24	15,72
Z-250x3	Z-250x2,5	0	18,87	18,19	33,97	18,87

Belka 4-przęslowa, stal S350GD, poszycie z blachy Super 40, 0,60mm, 2 wkręty w faldzie, zakłady 10% i 20% liczone do śrub, dopuszczalne ugięcie L/150 - jeżeli $L \leq 6,0m$ lub L/200 - jeżeli $L > 6,0m$

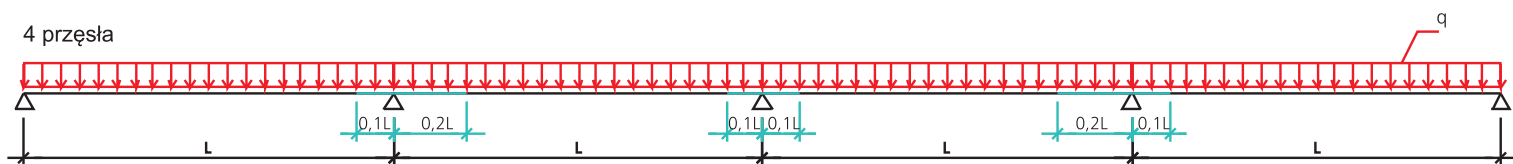
L = 3,0 m



Przekrój w przęśle skrajnym	Przekrój w przęsłach pozostałych	Ilość tężników w każdym przęśle	Maksymalne obciążenie obliczeniowe grawitacyjne q_g [kN/m]	Maksymalne obciążenie obliczeniowe, grawitacyjne q_g [kN/m] + siła osiowa $N=10kN$	Maksymalne obciążenie obliczeniowe, unoszące q_u [kN/m]	Maksymalne obciążenie grawitacyjne charakterystyczne ze względu na ugięcia q_{ch} [kN/m]
Z-120x1	Z-120x1	0	1,57	1,11	1,79	1,56
Z-120x1,25	Z-120x1	0	1,79	1,13	2,66	1,79
Z-120x1,5	Z-120x1,25	0	2,61	2,02	3,45	2,61
Z-120x1,75	Z-120x1,5	0	3,35	2,82	4,14	3,35
Z-120x2	Z-120x1,75	0	4,02	3,54	4,72	4,03
Z-120x2,5	Z-120x2	0	4,64	4,18	5,73	4,64
Z-120x3	Z-120x2,5	0	5,65	5,24	6,68	5,65
Z-150x1	Z-150x1	0	1,85	1,17	2,14	1,85
Z-150x1,25	Z-150x1	0	2,04	1,17	3,20	2,03
Z-150x1,5	Z-150x1,25	0	3,02	2,24	4,34	3,02
Z-150x1,75	Z-150x1,5	0	4,04	3,31	5,25	4,03
Z-150x2	Z-150x1,75	0	4,87	4,20	6,02	4,88
Z-150x2,5	Z-150x2	0	5,64	5,02	7,39	5,64
Z-150x3	Z-150x2,5	0	6,94	6,38	8,71	6,94
Z-200x1,25	Z-200x1,25	0	3,46	2,48	4,16	3,46
Z-200x1,5	Z-200x1,25	0	3,63	2,48	5,67	3,63
Z-200x1,75	Z-200x1,5	0	4,91	3,83	7,20	4,91
Z-200x2	Z-200x1,75	0	6,17	5,15	8,62	6,17
Z-200x2,5	Z-200x2	0	7,41	6,44	10,72	7,41
Z-200x3	Z-200x2,5	0	9,24	8,37	12,75	9,24
Z-250x1,5	Z-250x1,5	0	6,98	6,16	8,35	6,98
Z-250x1,75	Z-250x1,5	0	8,29	7,03	8,44	8,29
Z-250x2,0	Z-250x1,75	0	10,12	9,13	14,10	10,13
Z-250x2,5	Z-250x2,0	0	12,42	11,24	19,75	12,42
Z-250x3	Z-250x2,5	0	15,59	15,01	27,12	15,58

Belka 4-przęslowa, stal S350GD, poszycie z blachy Super 40, 0,60mm, 2 wkręty w faldzie, zakłady 10% i 20% liczone do śrub, dopuszczalne ugięcie L/150 - jeżeli $L \leq 6,0m$ lub L/200 - jeżeli $L > 6,0m$

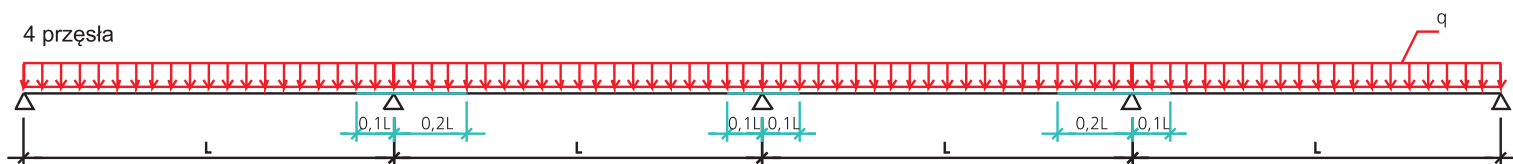
L = 3,3 m



Przekrój w przęśle skrajnym	Przekrój w przęsłach pozostałych	Ilość tężników w każdym przęśle	Maksymalne obciążenie obliczeniowe grawitacyjne q_g [kN/m]	Maksymalne obciążenie obliczeniowe, grawitacyjne q_g [kN/m] + siła osiowa $N=10kN$	Maksymalne obciążenie obliczeniowe, unoszące q_u [kN/m]	Maksymalne obciążenie grawitacyjne charakterystyczne ze względu na ugięcia q_{ch} [kN/m]
Z-120x1	Z-120x1	0	1,37	0,97	1,52	1,38
Z-120x1,25	Z-120x1	0	1,55	0,98	2,27	1,55
Z-120x1,5	Z-120x1,25	0	2,28	1,76	2,95	2,28
Z-120x1,75	Z-120x1,5	0	2,93	2,47	3,55	2,93
Z-120x2	Z-120x1,75	0	3,51	3,09	4,04	3,51
Z-120x2,5	Z-120x2	0	4,04	3,64	4,89	4,04
Z-120x3	Z-120x2,5	0	4,91	4,54	5,67	4,91
Z-150x1	Z-150x1	0	1,59	0,98	1,78	1,59
Z-150x1,25	Z-150x1	0	1,73	0,98	2,68	1,73
Z-150x1,5	Z-150x1,25	0	2,59	1,91	3,65	2,58
Z-150x1,75	Z-150x1,5	0	3,47	2,84	4,42	3,47
Z-150x2	Z-150x1,75	0	4,19	3,61	5,06	4,19
Z-150x2,5	Z-150x2	0	4,84	4,30	6,19	4,83
Z-150x3	Z-150x2,5	0	5,92	5,43	7,25	5,92
Z-200x1,25	Z-200x1,25	0	2,93	2,01	3,38	2,93
Z-200x1,5	Z-200x1,25	0	3,01	2,01	4,64	3,01
Z-200x1,75	Z-200x1,5	0	4,09	3,17	5,89	4,09
Z-200x2	Z-200x1,75	0	5,15	4,26	7,06	5,15
Z-200x2,5	Z-200x2	0	6,18	5,33	8,75	6,17
Z-200x3	Z-200x2,5	0	7,64	6,89	10,38	7,64
Z-250x1,5	Z-250x1,5	0	5,86	5,16	7,51	5,86
Z-250x1,75	Z-250x1,5	0	6,61	5,48	7,73	6,62
Z-250x2,0	Z-250x1,75	0	8,30	7,21	12,70	8,30
Z-250x2,5	Z-250x2,0	0	9,98	8,94	17,67	9,98
Z-250x3	Z-250x2,5	0	13,11	12,23	21,95	13,11

Belka 4-przęslowa, stal S350GD, poszycie z blachy Super 40, 0,60mm, 2 wkręty w faldzie, zakłady 10% i 20% liczone do śrub, dopuszczalne ugięcie L/150 - jeżeli $L \leq 6,0m$ lub L/200 - jeżeli $L > 6,0m$

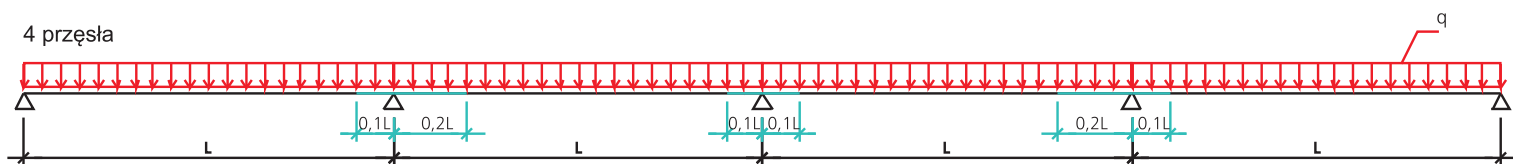
L = 3,6 m



Przekrój w przęśle skrajnym	Przekrój w przęsłach pozostałych	Ilość tężników w każdym przęśle	Maksymalne obciążenie obliczeniowe grawitacyjne q_g [kN/m]	Maksymalne obciążenie obliczeniowe, grawitacyjne q_g [kN/m] + siła osiowa $N=10kN$	Maksymalne obciążenie obliczeniowe, unoszące q_u [kN/m]	Maksymalne obciążenie grawitacyjne charakterystyczne ze względu na ugięcia q_{ch} [kN/m]
Z-120x1	Z-120x1	0	1,22	0,85	1,30	1,22
Z-120x1,25	Z-120x1	0	1,35	0,85	1,96	1,35
Z-120x1,5	Z-120x1,25	0	2,01	1,55	2,56	2,01
Z-120x1,75	Z-120x1,5	0	2,61	2,18	3,08	2,61
Z-120x2	Z-120x1,75	0	3,13	2,74	3,51	3,12
Z-120x2,5	Z-120x2	0	3,58	3,22	4,22	3,58
Z-120x3	Z-120x2,5	0	4,33	4,01	4,89	4,33
Z-150x1	Z-150x1	0	1,40	0,84	1,49	1,39
Z-150x1,25	Z-150x1	0	1,49	0,84	2,28	1,49
Z-150x1,5	Z-150x1,25	0	2,26	1,66	3,12	2,26
Z-150x1,75	Z-150x1,5	0	3,03	2,48	3,79	3,04
Z-150x2	Z-150x1,75	0	3,66	3,15	4,33	3,66
Z-150x2,5	Z-150x2	0	4,22	3,75	5,27	4,22
Z-150x3	Z-150x2,5	0	5,15	4,73	6,15	5,14
Z-200x1,25	Z-200x1,25	0	2,53	1,69	2,80	2,52
Z-200x1,5	Z-200x1,25	0	2,55	1,69	3,86	2,56
Z-200x1,75	Z-200x1,5	0	3,49	2,69	4,91	3,49
Z-200x2	Z-200x1,75	0	4,41	3,63	5,90	4,40
Z-200x2,5	Z-200x2	0	5,28	4,54	7,27	5,27
Z-200x3	Z-200x2,5	0	6,50	5,84	8,59	6,49
Z-250x1,5	Z-250x1,5	0	4,97	4,36	6,74	4,97
Z-250x1,75	Z-250x1,5	0	5,38	4,36	7,05	5,38
Z-250x2,0	Z-250x1,75	0	6,76	5,80	10,78	6,77
Z-250x2,5	Z-250x2,0	0	8,15	7,24	14,86	8,15
Z-250x3	Z-250x2,5	0	10,78	9,93	18,00	10,79

Belka 4-przęslowa, stal S350GD, poszycie z blachy Super 40, 0,60mm, 2 wkręty w faldzie, zakłady 10% i 20% liczone do śrub, dopuszczalne ugięcie L/150 - jeżeli $L \leq 6,0m$ lub L/200 - jeżeli $L > 6,0m$

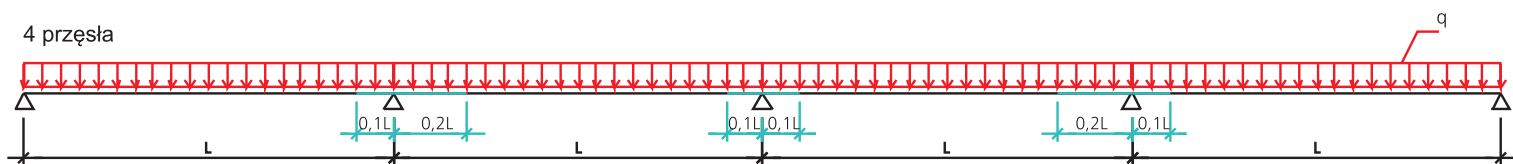
L = 3,9 m



Przekrój w przęśle skrajnym	Przekrój w przęsłach pozostałych	Ilość tężników w każdym przęśle	Maksymalne obciążenie obliczeniowe grawitacyjne q_g [kN/m]	Maksymalne obciążenie obliczeniowe, grawitacyjne q_g [kN/m] + siła osiowa $N=10kN$	Maksymalne obciążenie obliczeniowe, unoszące q_u [kN/m]	Maksymalne obciążenie grawitacyjne charakterystyczne ze względu na ugięcia q_{ch} [kN/m]
Z-120x1	Z-120x1	1	1,24	0,91	1,15	1,23
Z-120x1,25	Z-120x1	1	1,76	1,33	1,72	1,76
Z-120x1,5	Z-120x1,25	1	2,25	1,98	2,24	2,25
Z-120x1,75	Z-120x1,5	1	2,71	2,46	2,70	2,71
Z-120x2	Z-120x1,75	1	3,16	2,93	3,12	3,16
Z-120x2,5	Z-120x2	1	3,94	3,73	3,81	3,95
Z-120x3	Z-120x2,5	1	4,76	4,57	4,50	4,76
Z-150x1	Z-150x1	1	1,57	1,15	1,40	1,57
Z-150x1,25	Z-150x1	1	2,25	1,66	2,12	2,25
Z-150x1,5	Z-150x1,25	1	2,97	2,62	2,90	2,98
Z-150x1,75	Z-150x1,5	1	3,60	3,26	3,54	3,60
Z-150x2	Z-150x1,75	1	4,20	3,90	4,10	4,21
Z-150x2,5	Z-150x2	1	5,29	5,02	5,10	5,28
Z-150x3	Z-150x2,5	1	6,42	6,17	6,09	6,42
Z-200x1,25	Z-200x1,25	1	3,10	2,56	2,82	3,10
Z-200x1,5	Z-200x1,25	1	4,12	3,61	3,88	4,11
Z-200x1,75	Z-200x1,5	1	5,16	4,67	4,99	5,16
Z-200x2	Z-200x1,75	1	6,21	5,75	6,08	6,22
Z-200x2,5	Z-200x2	1	7,86	7,46	7,64	7,86
Z-200x3	Z-200x2,5	1	9,61	9,24	9,23	9,61
Z-250x1,5	Z-250x1,5	1	6,20	5,67	6,20	6,20
Z-250x1,75	Z-250x1,5	1	6,45	6,17	6,46	6,45
Z-250x2,0	Z-250x1,75	1	9,52	8,91	10,44	9,52
Z-250x2,5	Z-250x2,0	1	12,61	12,04	14,43	12,61
Z-250x3	Z-250x2,5	1	15,08	14,56	20,15	15,08

Belka 4-przęslowa, stal S350GD, poszycie z blachy Super 40, 0,60mm, 2 wkręty w faldzie, zakłady 10% i 20% liczone do śrub, dopuszczalne ugięcie L/150 - jeżeli $L \leq 6,0m$ lub L/200 - jeżeli $L > 6,0m$

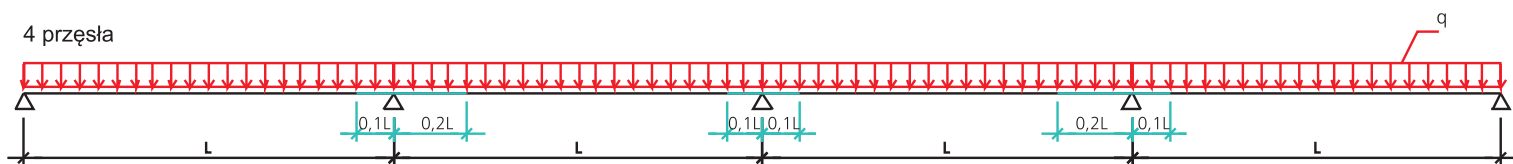
L = 4,2 m



Przekrój w przęśle skrajnym	Przekrój w przęsłach pozostałych	Ilość tężników w każdym przęśle	Maksymalne obciążenie obliczeniowe grawitacyjne q_g [kN/m]	Maksymalne obciążenie obliczeniowe, grawitacyjne q_g [kN/m] + siła osiowa $N=10kN$	Maksymalne obciążenie obliczeniowe, unoszące q_u [kN/m]	Maksymalne obciążenie grawitacyjne charakterystyczne ze względu na ugięcia q_{ch} [kN/m]
Z-120x1	Z-120x1	1	1,07	0,79	0,98	1,08
Z-120x1,25	Z-120x1	1	1,54	1,14	1,46	1,54
Z-120x1,5	Z-120x1,25	1	1,97	1,74	1,91	1,97
Z-120x1,75	Z-120x1,5	1	2,38	2,15	2,30	2,37
Z-120x2	Z-120x1,75	1	2,76	2,55	2,64	2,76
Z-120x2,5	Z-120x2	1	3,44	3,26	3,22	3,44
Z-120x3	Z-120x2,5	1	4,14	3,97	3,77	4,15
Z-150x1	Z-150x1	1	1,35	0,98	1,16	1,35
Z-150x1,25	Z-150x1	1	1,95	1,38	1,76	1,95
Z-150x1,5	Z-150x1,25	1	2,58	2,27	2,42	2,58
Z-150x1,75	Z-150x1,5	1	3,13	2,83	2,95	3,13
Z-150x2	Z-150x1,75	1	3,65	3,38	3,42	3,66
Z-150x2,5	Z-150x2	1	4,59	4,34	4,21	4,58
Z-150x3	Z-150x2,5	1	5,57	5,34	5,02	5,56
Z-200x1,25	Z-200x1,25	1	2,67	2,18	2,28	2,67
Z-200x1,5	Z-200x1,25	1	3,55	3,10	3,16	3,55
Z-200x1,75	Z-200x1,5	1	4,45	4,02	4,06	4,44
Z-200x2	Z-200x1,75	1	5,36	4,95	4,95	5,36
Z-200x2,5	Z-200x2	1	6,78	6,43	6,21	6,78
Z-200x3	Z-200x2,5	1	8,28	7,95	7,49	8,28
Z-250x1,5	Z-250x1,5	1	5,54	4,95	5,67	5,54
Z-250x1,75	Z-250x1,5	1	5,94	5,67	5,93	5,94
Z-250x2,0	Z-250x1,75	1	8,31	7,78	9,54	8,31
Z-250x2,5	Z-250x2,0	1	11,00	10,50	13,14	10,99
Z-250x3	Z-250x2,5	1	13,15	12,70	16,81	13,15

Belka 4-przęslowa, stal S350GD, poszycie z blachy Super 40, 0,60mm, 2 wkręty w faldzie, zakłady 10% i 20% liczone do śrub, dopuszczalne ugięcie L/150 - jeżeli $L \leq 6,0m$ lub L/200 - jeżeli $L > 6,0m$

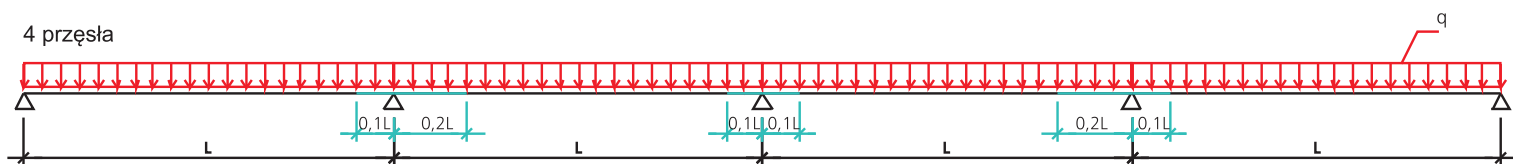
L = 4,5 m



Przekrój w przęśle skrajnym	Przekrój w przęsłach pozostałych	Ilość tężników w każdym przęśle	Maksymalne obciążenie obliczeniowe grawitacyjne q_g [kN/m]	Maksymalne obciążenie obliczeniowe, grawitacyjne q_g [kN/m] + siła osiowa $N=10kN$	Maksymalne obciążenie obliczeniowe, unoszące q_u [kN/m]	Maksymalne obciążenie grawitacyjne charakterystyczne ze względu na ugięcia q_{ch} [kN/m]
Z-120x1	Z-120x1	1	0,94	0,69	0,84	0,95
Z-120x1,25	Z-120x1	1	1,36	0,97	1,26	1,36
Z-120x1,5	Z-120x1,25	1	1,74	1,53	1,64	1,74
Z-120x1,75	Z-120x1,5	1	2,10	1,90	1,99	2,07
Z-120x2	Z-120x1,75	1	2,44	2,25	2,28	2,41
Z-120x2,5	Z-120x2	1	3,03	2,87	2,75	3,01
Z-120x3	Z-120x2,5	1	3,64	3,48	3,21	3,61
Z-150x1	Z-150x1	1	1,18	0,84	0,97	1,18
Z-150x1,25	Z-150x1	1	1,68	1,17	1,49	1,69
Z-150x1,5	Z-150x1,25	1	2,27	1,98	2,05	2,27
Z-150x1,75	Z-150x1,5	1	2,75	2,48	2,50	2,74
Z-150x2	Z-150x1,75	1	3,20	2,96	2,88	3,20
Z-150x2,5	Z-150x2	1	4,02	3,79	3,53	4,02
Z-150x3	Z-150x2,5	1	4,86	4,66	4,19	4,86
Z-200x1,25	Z-200x1,25	1	2,31	1,89	1,87	2,32
Z-200x1,5	Z-200x1,25	1	3,09	2,66	2,59	3,09
Z-200x1,75	Z-200x1,5	1	3,87	3,49	3,34	3,87
Z-200x2	Z-200x1,75	1	4,67	4,30	4,07	4,67
Z-200x2,5	Z-200x2	1	5,90	5,58	5,10	5,90
Z-200x3	Z-200x2,5	1	7,20	6,90	6,13	7,19
Z-250x1,5	Z-250x1,5	1	4,88	4,35	5,16	4,87
Z-250x1,75	Z-250x1,5	1	5,48	5,23	5,49	5,49
Z-250x2,0	Z-250x1,75	1	7,32	6,85	8,33	7,31
Z-250x2,5	Z-250x2,0	1	9,68	9,24	11,60	9,68
Z-250x3	Z-250x2,5	1	11,58	11,17	14,07	11,58

Belka 4-przęslowa, stal S350GD, poszycie z blachy Super 40, 0,60mm, 2 wkręty w faldzie, zakłady 10% i 20% liczone do śrub, dopuszczalne ugięcie L/150 - jeżeli $L \leq 6,0m$ lub L/200 - jeżeli $L > 6,0m$

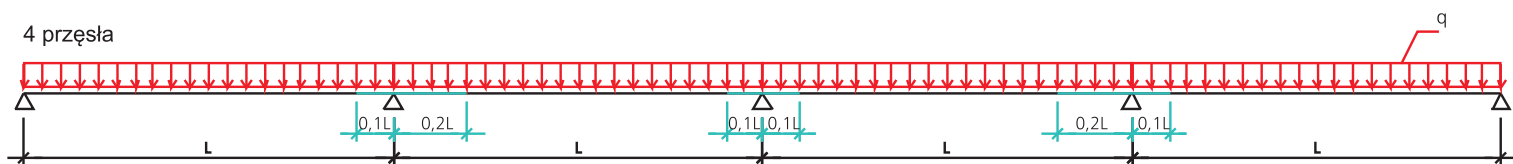
L = 4,8 m



Przekrój w przęśle skrajnym	Przekrój w przęsłach pozostałych	Ilość tężników w każdym przęśle	Maksymalne obciążenie obliczeniowe grawitacyjne q_g [kN/m]	Maksymalne obciążenie obliczeniowe, grawitacyjne q_g [kN/m] + siła osiowa $N=10kN$	Maksymalne obciążenie obliczeniowe, unoszące q_u [kN/m]	Maksymalne obciążenie grawitacyjne charakterystyczne ze względu na ugięcia q_{ch} [kN/m]
Z-120x1	Z-120x1	1	0,83	0,61	0,72	0,84
Z-120x1,25	Z-120x1	1	1,20	0,84	1,10	1,17
Z-120x1,5	Z-120x1,25	1	1,56	1,36	1,44	1,45
Z-120x1,75	Z-120x1,5	1	1,88	1,69	1,74	1,73
Z-120x2	Z-120x1,75	1	2,17	2,01	1,98	2,01
Z-120x2,5	Z-120x2	1	2,69	2,55	2,39	2,51
Z-120x3	Z-120x2,5	1	3,23	3,10	2,77	3,00
Z-150x1	Z-150x1	1	1,04	0,74	0,83	1,04
Z-150x1,25	Z-150x1	1	1,46	0,99	1,27	1,46
Z-150x1,5	Z-150x1,25	1	2,01	1,75	1,75	2,00
Z-150x1,75	Z-150x1,5	1	2,43	2,19	2,14	2,43
Z-150x2	Z-150x1,75	1	2,83	2,61	2,47	2,83
Z-150x2,5	Z-150x2	1	3,54	3,35	3,00	3,55
Z-150x3	Z-150x2,5	1	4,28	4,10	3,54	4,28
Z-200x1,25	Z-200x1,25	1	2,02	1,64	1,56	2,03
Z-200x1,5	Z-200x1,25	1	2,71	2,25	2,16	2,70
Z-200x1,75	Z-200x1,5	1	3,40	3,05	2,78	3,40
Z-200x2	Z-200x1,75	1	4,09	3,76	3,39	4,09
Z-200x2,5	Z-200x2	1	5,17	4,88	4,23	5,17
Z-200x3	Z-200x2,5	1	6,29	6,03	5,06	6,30
Z-250x1,5	Z-250x1,5	1	4,32	3,86	4,32	4,33
Z-250x1,75	Z-250x1,5	1	5,08	4,85	5,09	5,09
Z-250x2,0	Z-250x1,75	1	6,48	6,07	7,00	6,49
Z-250x2,5	Z-250x2,0	1	8,59	8,20	9,74	8,59
Z-250x3	Z-250x2,5	1	10,27	9,91	11,82	10,26

Belka 4-przęslowa, stal S350GD, poszycie z blachy Super 40, 0,60mm, 2 wkręty w faldzie, zakłady 10% i 20% liczone do śrub, dopuszczalne ugięcie L/150 - jeżeli $L \leq 6,0m$ lub L/200 - jeżeli $L > 6,0m$

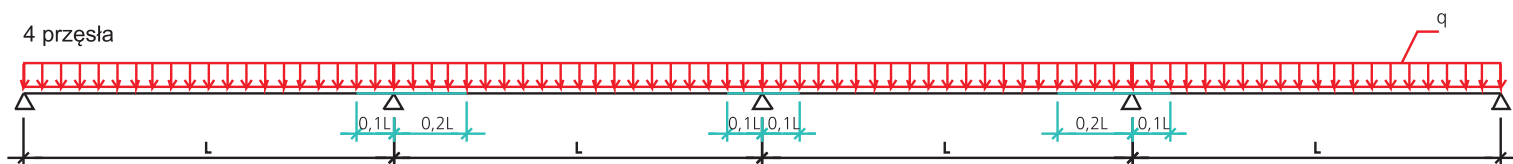
L = 5,1 m



Przekrój w przęśle skrajnym	Przekrój w przęsłach pozostałych	Ilość tężników w każdym przęśle	Maksymalne obciążenie obliczeniowe grawitacyjne q_g [kN/m]	Maksymalne obciążenie obliczeniowe, grawitacyjne q_g [kN/m] + siła osiowa $N=10kN$	Maksymalne obciążenie obliczeniowe, unoszące q_u [kN/m]	Maksymalne obciążenie grawitacyjne charakterystyczne ze względu na ugięcia q_{ch} [kN/m]
Z-120x1	Z-120x1	1	0,75	0,54	0,64	0,75
Z-120x1,25	Z-120x1	1	1,06	0,73	0,97	0,98
Z-120x1,5	Z-120x1,25	1	1,40	1,22	1,27	1,22
Z-120x1,75	Z-120x1,5	1	1,69	1,53	1,53	1,46
Z-120x2	Z-120x1,75	1	1,95	1,81	1,74	1,69
Z-120x2,5	Z-120x2	1	2,42	2,28	2,09	2,11
Z-120x3	Z-120x2,5	1	2,88	2,76	2,42	2,53
Z-150x1	Z-150x1	1	0,92	0,64	0,71	0,92
Z-150x1,25	Z-150x1	1	1,27	0,85	1,10	1,27
Z-150x1,5	Z-150x1,25	1	1,78	1,53	1,53	1,79
Z-150x1,75	Z-150x1,5	1	2,16	1,95	1,85	2,16
Z-150x2	Z-150x1,75	1	2,53	2,33	2,13	2,52
Z-150x2,5	Z-150x2	1	3,15	2,98	2,59	3,16
Z-150x3	Z-150x2,5	1	3,80	3,63	3,03	3,80
Z-200x1,25	Z-200x1,25	1	1,79	1,43	1,30	1,78
Z-200x1,5	Z-200x1,25	1	2,38	1,92	1,82	2,38
Z-200x1,75	Z-200x1,5	1	3,00	2,69	2,34	2,99
Z-200x2	Z-200x1,75	1	3,62	3,32	2,85	3,61
Z-200x2,5	Z-200x2	1	4,56	4,29	3,53	4,56
Z-200x3	Z-200x2,5	1	5,55	5,31	4,22	5,55
Z-250x1,5	Z-250x1,5	1	3,82	3,41	3,64	3,82
Z-250x1,75	Z-250x1,5	1	4,73	4,39	4,73	4,73
Z-250x2,0	Z-250x1,75	1	5,75	5,38	5,91	5,75
Z-250x2,5	Z-250x2,0	1	7,62	7,27	8,22	7,62
Z-250x3	Z-250x2,5	1	9,12	8,80	9,96	9,11

Belka 4-przęslowa, stal S350GD, poszycie z blachy Super 40, 0,60mm, 2 wkręty w faldzie, zakłady 10% i 20% liczone do śrub, dopuszczalne ugięcie L/150 - jeżeli $L \leq 6,0m$ lub L/200 - jeżeli $L > 6,0m$

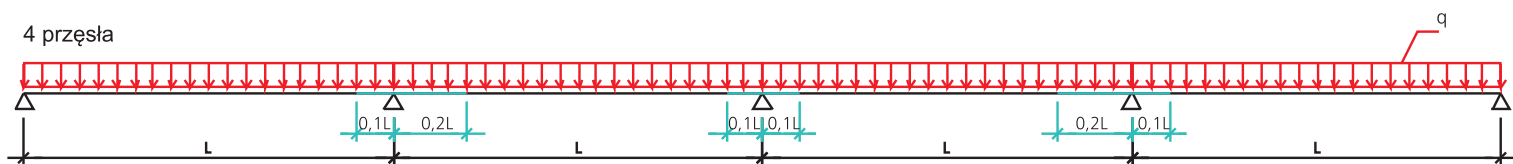
L = 5,4 m



Przekrój w przęśle skrajnym	Przekrój w przęsłach pozostałych	Ilość tężników w każdym przęśle	Maksymalne obciążenie obliczeniowe grawitacyjne q_g [kN/m]	Maksymalne obciążenie obliczeniowe, grawitacyjne q_g [kN/m] + siła osiowa $N=10kN$	Maksymalne obciążenie obliczeniowe, unoszące q_u [kN/m]	Maksymalne obciążenie grawitacyjne charakterystyczne ze względu na ugięcia q_{ch} [kN/m]
Z-120x1	Z-120x1	2	0,76	0,54	0,64	0,63
Z-120x1,25	Z-120x1	2	1,08	0,76	0,96	0,83
Z-120x1,5	Z-120x1,25	2	1,45	1,26	1,26	1,04
Z-120x1,75	Z-120x1,5	2	1,77	1,58	1,53	1,23
Z-120x2	Z-120x1,75	2	2,05	1,89	1,78	1,44
Z-120x2,5	Z-120x2	2	2,56	2,41	2,19	1,80
Z-120x3	Z-120x2,5	2	3,08	2,94	2,61	2,15
Z-150x1	Z-150x1	2	0,97	0,67	0,79	0,96
Z-150x1,25	Z-150x1	2	1,34	0,93	1,20	1,34
Z-150x1,5	Z-150x1,25	2	1,93	1,64	1,67	1,74
Z-150x1,75	Z-150x1,5	2	2,36	2,12	2,04	2,08
Z-150x2	Z-150x1,75	2	2,76	2,53	2,38	2,42
Z-150x2,5	Z-150x2	2	3,46	3,26	2,97	3,04
Z-150x3	Z-150x2,5	2	4,19	4,01	3,57	3,67
Z-200x1,25	Z-200x1,25	2	1,93	1,55	1,60	1,93
Z-200x1,5	Z-200x1,25	2	2,63	2,18	2,23	2,63
Z-200x1,75	Z-200x1,5	2	3,35	3,01	2,89	3,36
Z-200x2	Z-200x1,75	2	4,08	3,75	3,54	4,09
Z-200x2,5	Z-200x2	2	5,17	4,87	4,46	5,17
Z-200x3	Z-200x2,5	2	6,29	6,02	5,42	6,30
Z-250x1,5	Z-250x1,5	2	4,14	3,73	3,93	4,14
Z-250x1,75	Z-250x1,5	2	4,41	4,20	4,41	4,41
Z-250x2,0	Z-250x1,75	2	6,53	6,09	6,37	6,53
Z-250x2,5	Z-250x2,0	2	8,85	8,42	8,88	8,84
Z-250x3	Z-250x2,5	2	10,62	10,24	10,74	10,61

Belka 4-przęslowa, stal S350GD, poszycie z blachy Super 40, 0,60mm, 2 wkręty w faldzie, zakłady 10% i 20% liczone do śrub, dopuszczalne ugięcie L/150 - jeżeli $L \leq 6,0m$ lub L/200 - jeżeli $L > 6,0m$

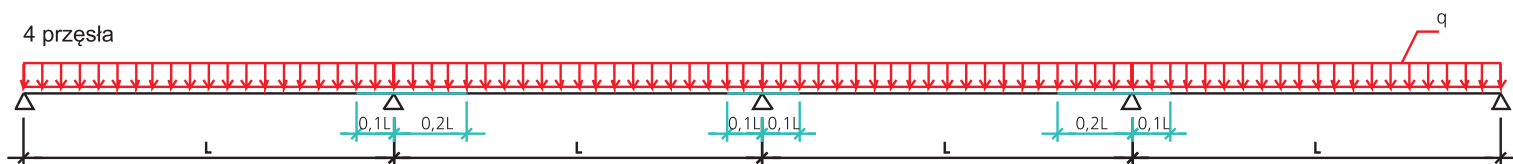
L = 5,7 m



Przekrój w przęśle skrajnym	Przekrój w przęsłach pozostałych	Ilość tężników w każdym przęśle	Maksymalne obciążenie obliczeniowe grawitacyjne q_g [kN/m]	Maksymalne obciążenie obliczeniowe, grawitacyjne q_g [kN/m] + siła osiowa $N=10kN$	Maksymalne obciążenie obliczeniowe, unoszące q_u [kN/m]	Maksymalne obciążenie grawitacyjne charakterystyczne ze względu na ugięcia q_{ch} [kN/m]
Z-120x1	Z-120x1	2	0,68	0,48	0,57	0,54
Z-120x1,25	Z-120x1	2	0,96	0,67	0,85	0,71
Z-120x1,5	Z-120x1,25	2	1,30	1,12	1,11	0,89
Z-120x1,75	Z-120x1,5	2	1,58	1,42	1,35	1,06
Z-120x2	Z-120x1,75	2	1,84	1,68	1,56	1,23
Z-120x2,5	Z-120x2	2	2,29	2,15	1,93	1,54
Z-120x3	Z-120x2,5	2	2,75	2,62	2,29	1,84
Z-150x1	Z-150x1	2	0,85	0,59	0,69	0,85
Z-150x1,25	Z-150x1	2	1,19	0,83	1,05	1,18
Z-150x1,5	Z-150x1,25	2	1,72	1,45	1,46	1,50
Z-150x1,75	Z-150x1,5	2	2,10	1,88	1,78	1,78
Z-150x2	Z-150x1,75	2	2,45	2,25	2,08	2,08
Z-150x2,5	Z-150x2	2	3,08	2,90	2,58	2,61
Z-150x3	Z-150x2,5	2	3,72	3,56	3,10	3,14
Z-200x1,25	Z-200x1,25	2	1,71	1,37	1,39	1,71
Z-200x1,5	Z-200x1,25	2	2,33	1,92	1,93	2,34
Z-200x1,75	Z-200x1,5	2	2,98	2,66	2,50	2,98
Z-200x2	Z-200x1,75	2	3,63	3,32	3,06	3,63
Z-200x2,5	Z-200x2	2	4,59	4,32	3,87	4,59
Z-200x3	Z-200x2,5	2	5,59	5,34	4,68	5,59
Z-250x1,5	Z-250x1,5	2	3,74	3,32	3,45	3,75
Z-250x1,75	Z-250x1,5	2	4,13	3,92	4,13	4,13
Z-250x2,0	Z-250x1,75	2	5,83	5,44	5,61	5,84
Z-250x2,5	Z-250x2,0	2	7,91	7,53	7,81	7,91
Z-250x3	Z-250x2,5	2	9,49	9,15	9,45	9,49

Belka 4-przęslowa, stal S350GD, poszycie z blachy Super 40, 0,60mm, 2 wkręty w faldzie, zakłady 10% i 20% liczone do śrub, dopuszczalne ugięcie L/150 - jeżeli $L \leq 6,0m$ lub L/200 - jeżeli $L > 6,0m$

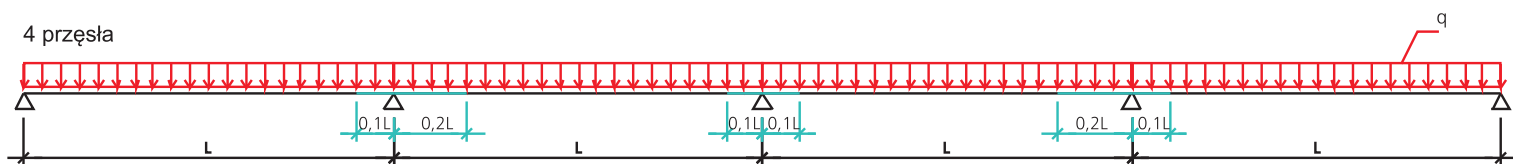
L = 6,0 m



Przekrój w przęśle skrajnym	Przekrój w przęsłach pozostałych	Ilość tężników w każdym przęśle	Maksymalne obciążenie obliczeniowe grawitacyjne q_g [kN/m]	Maksymalne obciążenie obliczeniowe, grawitacyjne q_g [kN/m] + siła osiowa $N=10kN$	Maksymalne obciążenie obliczeniowe, unoszące q_u [kN/m]	Maksymalne obciążenie grawitacyjne charakterystyczne ze względu na ugięcia q_{ch} [kN/m]
Z-120x1	Z-120x1	2	0,61	0,42	0,50	0,35
Z-120x1,25	Z-120x1	2	0,85	0,59	0,75	0,46
Z-120x1,5	Z-120x1,25	2	1,17	1,01	0,99	0,57
Z-120x1,75	Z-120x1,5	2	1,42	1,28	1,20	0,68
Z-120x2	Z-120x1,75	2	1,65	1,51	1,39	0,80
Z-120x2,5	Z-120x2	2	2,05	1,93	1,70	0,99
Z-120x3	Z-120x2,5	2	2,46	2,35	2,01	1,20
Z-150x1	Z-150x1	2	0,76	0,52	0,60	0,57
Z-150x1,25	Z-150x1	2	1,06	0,72	0,92	0,77
Z-150x1,5	Z-150x1,25	2	1,54	1,28	1,28	0,96
Z-150x1,75	Z-150x1,5	2	1,88	1,68	1,57	1,15
Z-150x2	Z-150x1,75	2	2,20	2,02	1,82	1,34
Z-150x2,5	Z-150x2	2	2,76	2,59	2,26	1,69
Z-150x3	Z-150x2,5	2	3,33	3,18	2,71	2,03
Z-200x1,25	Z-200x1,25	2	1,52	1,21	1,20	1,48
Z-200x1,5	Z-200x1,25	2	2,08	1,68	1,68	1,87
Z-200x1,75	Z-200x1,5	2	2,66	2,36	2,18	2,25
Z-200x2	Z-200x1,75	2	3,23	2,96	2,67	2,66
Z-200x2,5	Z-200x2	2	4,09	3,85	3,36	3,37
Z-200x3	Z-200x2,5	2	4,99	4,76	4,07	4,07
Z-250x1,5	Z-250x1,5	2	3,36	2,97	3,05	3,36
Z-250x1,75	Z-250x1,5	2	3,87	3,67	3,87	3,87
Z-250x2,0	Z-250x1,75	2	5,24	4,87	4,95	5,23
Z-250x2,5	Z-250x2,0	2	7,10	6,75	6,90	6,81
Z-250x3	Z-250x2,5	2	8,52	8,21	8,35	8,21

Belka 4-przęslowa, stal S350GD, poszycie z blachy Super 40, 0,60mm, 2 wkręty w faldzie, zakłady 10% i 20% liczone do śrub, dopuszczalne ugięcie L/150 - jeżeli $L \leq 6,0m$ lub L/200 - jeżeli $L > 6,0m$

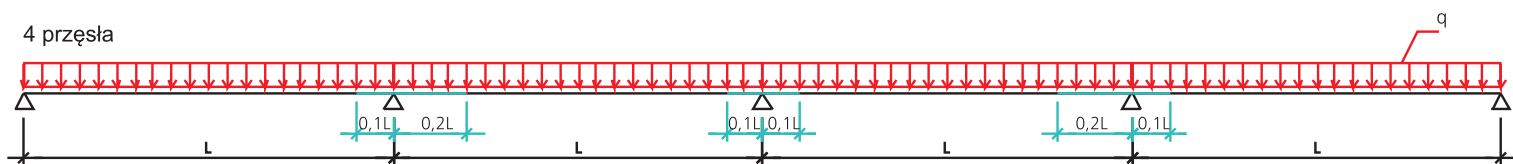
L = 6,3 m



Przekrój w przęśle skrajnym	Przekrój w przęsłach pozostałych	Ilość tężników w każdym przęśle	Maksymalne obciążenie obliczeniowe grawitacyjne q_g [kN/m]	Maksymalne obciążenie obliczeniowe, grawitacyjne q_g [kN/m] + siła osiowa $N=10kN$	Maksymalne obciążenie obliczeniowe, unoszące q_u [kN/m]	Maksymalne obciążenie grawitacyjne charakterystyczne ze względu na ugięcia q_{ch} [kN/m]
Z-120x1	Z-120x1	2	0,55	0,38	0,45	0,30
Z-120x1,25	Z-120x1	2	0,76	0,53	0,67	0,40
Z-120x1,5	Z-120x1,25	2	1,06	0,92	0,88	0,50
Z-120x1,75	Z-120x1,5	2	1,28	1,15	1,08	0,59
Z-120x2	Z-120x1,75	2	1,50	1,36	1,24	0,69
Z-120x2,5	Z-120x2	2	1,86	1,75	1,51	0,86
Z-120x3	Z-120x2,5	2	2,22	2,11	1,79	1,04
Z-150x1	Z-150x1	2	0,68	0,46	0,53	0,50
Z-150x1,25	Z-150x1	2	0,94	0,64	0,81	0,66
Z-150x1,5	Z-150x1,25	2	1,39	1,14	1,13	0,84
Z-150x1,75	Z-150x1,5	2	1,69	1,51	1,38	1,00
Z-150x2	Z-150x1,75	2	1,97	1,81	1,60	1,17
Z-150x2,5	Z-150x2	2	2,48	2,33	1,99	1,47
Z-150x3	Z-150x2,5	2	2,99	2,85	2,38	1,77
Z-200x1,25	Z-200x1,25	2	1,36	1,07	1,05	1,29
Z-200x1,5	Z-200x1,25	2	1,86	1,49	1,47	1,62
Z-200x1,75	Z-200x1,5	2	2,38	2,11	1,90	1,96
Z-200x2	Z-200x1,75	2	2,90	2,65	2,33	2,31
Z-200x2,5	Z-200x2	2	3,67	3,44	2,94	2,93
Z-200x3	Z-200x2,5	2	4,46	4,25	3,54	3,54
Z-250x1,5	Z-250x1,5	2	3,03	2,67	2,70	3,02
Z-250x1,75	Z-250x1,5	2	3,63	3,44	3,54	3,63
Z-250x2,0	Z-250x1,75	2	4,72	4,39	4,38	4,58
Z-250x2,5	Z-250x2,0	2	6,39	6,08	6,11	5,93
Z-250x3	Z-250x2,5	2	7,68	7,39	7,39	7,15

Belka 4-przęslowa, stal S350GD, poszycie z blachy Super 40, 0,60mm, 2 wkręty w faldzie, zakłady 10% i 20% liczone do śrub, dopuszczalne ugięcie L/150 - jeżeli $L \leq 6,0m$ lub L/200 - jeżeli $L > 6,0m$

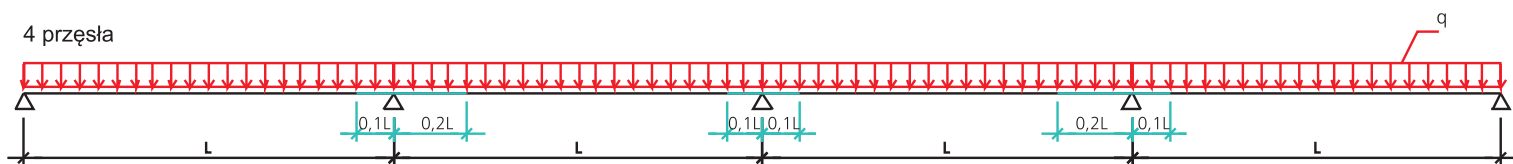
L = 6,6 m



Przekrój w przęśle skrajnym	Przekrój w przęsłach pozostałych	Ilość tężników w każdym przęśle	Maksymalne obciążenie obliczeniowe grawitacyjne q_g [kN/m]	Maksymalne obciążenie obliczeniowe, grawitacyjne q_g [kN/m] + siła osiowa $N=10kN$	Maksymalne obciążenie obliczeniowe, unoszące q_u [kN/m]	Maksymalne obciążenie grawitacyjne charakterystyczne ze względu na ugięcia q_{ch} [kN/m]
Z-120x1	Z-120x1	2	0,50	0,34	0,40	0,26
Z-120x1,25	Z-120x1	2	0,69	0,47	0,60	0,35
Z-120x1,5	Z-120x1,25	2	0,97	0,82	0,80	0,44
Z-120x1,75	Z-120x1,5	2	1,17	1,05	0,97	0,52
Z-120x2	Z-120x1,75	2	1,35	1,24	1,12	0,60
Z-120x2,5	Z-120x2	2	1,69	1,58	1,36	0,76
Z-120x3	Z-120x2,5	2	2,02	1,92	1,59	0,91
Z-150x1	Z-150x1	2	0,61	0,41	0,47	0,44
Z-150x1,25	Z-150x1	2	0,84	0,57	0,72	0,59
Z-150x1,5	Z-150x1,25	2	1,25	1,02	1,00	0,74
Z-150x1,75	Z-150x1,5	2	1,53	1,37	1,23	0,88
Z-150x2	Z-150x1,75	2	1,79	1,63	1,43	1,02
Z-150x2,5	Z-150x2	2	2,23	2,09	1,77	1,29
Z-150x3	Z-150x2,5	2	2,70	2,57	2,10	1,55
Z-200x1,25	Z-200x1,25	2	1,22	0,95	0,92	1,13
Z-200x1,5	Z-200x1,25	2	1,67	1,33	1,28	1,42
Z-200x1,75	Z-200x1,5	2	2,13	1,90	1,67	1,71
Z-200x2	Z-200x1,75	2	2,61	2,37	2,04	2,02
Z-200x2,5	Z-200x2	2	3,29	3,08	2,57	2,56
Z-200x3	Z-200x2,5	2	4,00	3,81	3,10	3,10
Z-250x1,5	Z-250x1,5	2	2,73	2,40	2,39	2,73
Z-250x1,75	Z-250x1,5	2	3,42	3,18	3,14	3,37
Z-250x2,0	Z-250x1,75	2	4,27	3,96	3,89	4,01
Z-250x2,5	Z-250x2,0	2	5,78	5,50	5,42	5,18
Z-250x3	Z-250x2,5	2	6,95	6,68	6,56	6,25

Belka 4-przęslowa, stal S350GD, poszycie z blachy Super 40, 0,60mm, 2 wkręty w faldzie, zakłady 10% i 20% liczone do śrub, dopuszczalne ugięcie L/150 - jeżeli $L \leq 6,0m$ lub L/200 - jeżeli $L > 6,0m$

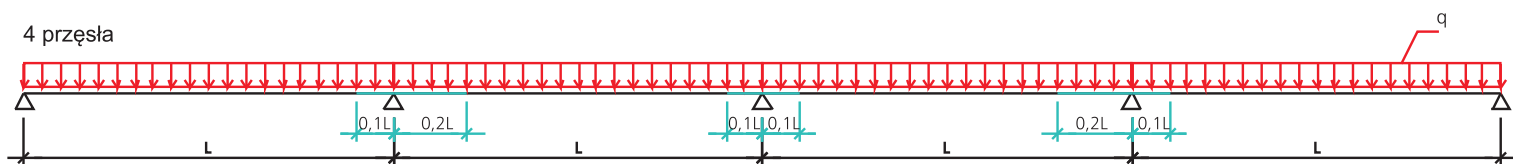
L = 6,9 m



Przekrój w przęśle skrajnym	Przekrój w przęsłach pozostałych	Ilość tężników w każdym przęśle	Maksymalne obciążenie obliczeniowe grawitacyjne q_g [kN/m]	Maksymalne obciążenie obliczeniowe, grawitacyjne q_g [kN/m] + siła osiowa $N=10kN$	Maksymalne obciążenie obliczeniowe, unoszące q_u [kN/m]	Maksymalne obciążenie grawitacyjne charakterystyczne ze względu na ugięcia q_{ch} [kN/m]
Z-120x1	Z-120x1	2	0,45	0,30	0,36	0,23
Z-120x1,25	Z-120x1	2	0,63	0,42	0,55	0,31
Z-120x1,5	Z-120x1,25	2	0,88	0,75	0,72	0,39
Z-120x1,75	Z-120x1,5	2	1,07	0,95	0,87	0,46
Z-120x2	Z-120x1,75	2	1,24	1,13	1,01	0,53
Z-120x2,5	Z-120x2	2	1,53	1,44	1,23	0,67
Z-120x3	Z-120x2,5	2	1,83	1,74	1,44	0,80
Z-150x1	Z-150x1	2	0,55	0,37	0,41	0,39
Z-150x1,25	Z-150x1	2	0,76	0,51	0,65	0,51
Z-150x1,5	Z-150x1,25	2	1,14	0,91	0,90	0,64
Z-150x1,75	Z-150x1,5	2	1,39	1,23	1,10	0,77
Z-150x2	Z-150x1,75	2	1,62	1,48	1,28	0,90
Z-150x2,5	Z-150x2	2	2,03	1,90	1,58	1,14
Z-150x3	Z-150x2,5	2	2,44	2,32	1,87	1,36
Z-200x1,25	Z-200x1,25	2	1,10	0,85	0,82	1,00
Z-200x1,5	Z-200x1,25	2	1,51	1,19	1,13	1,25
Z-200x1,75	Z-200x1,5	2	1,93	1,71	1,47	1,51
Z-200x2	Z-200x1,75	2	2,35	2,13	1,80	1,78
Z-200x2,5	Z-200x2	2	2,96	2,77	2,26	2,25
Z-200x3	Z-200x2,5	2	3,60	3,43	2,73	2,73
Z-250x1,5	Z-250x1,5	2	2,48	2,17	2,12	2,48
Z-250x1,75	Z-250x1,5	2	3,17	2,89	2,79	3,00
Z-250x2,0	Z-250x1,75	2	3,87	3,60	3,46	3,53
Z-250x2,5	Z-250x2,0	2	5,25	4,99	4,83	4,56
Z-250x3	Z-250x2,5	2	6,31	6,07	5,84	5,50

Belka 4-przęslowa, stal S350GD, poszycie z blachy Super 40, 0,60mm, 2 wkręty w faldzie, zakłady 10% i 20% liczone do śrub, dopuszczalne ugięcie L/150 - jeżeli $L \leq 6,0m$ lub L/200 - jeżeli $L > 6,0m$

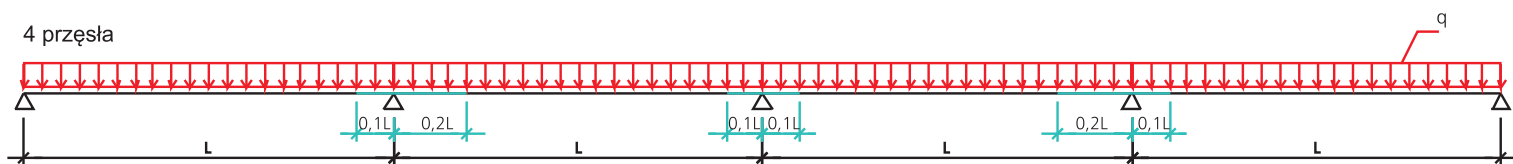
L = 7,2 m



Przekrój w przęśle skrajnym	Przekrój w przęsłach pozostałych	Ilość tężników w każdym przęśle	Maksymalne obciążenie obliczeniowe grawitacyjne q_g [kN/m]	Maksymalne obciążenie obliczeniowe, grawitacyjne q_g [kN/m] + siła osiowa $N=10kN$	Maksymalne obciążenie obliczeniowe, unoszące q_u [kN/m]	Maksymalne obciążenie grawitacyjne charakterystyczne ze względu na ugięcia q_{ch} [kN/m]
Z-120x1	Z-120x1	3	0,44	0,31	0,33	0,21
Z-120x1,25	Z-120x1	3	0,61	0,42	0,50	0,28
Z-120x1,5	Z-120x1,25	3	0,88	0,73	0,65	0,34
Z-120x1,75	Z-120x1,5	3	1,06	0,95	0,80	0,40
Z-120x2	Z-120x1,75	3	1,24	1,13	0,92	0,47
Z-120x2,5	Z-120x2	3	1,53	1,44	1,15	0,59
Z-120x3	Z-120x2,5	3	1,84	1,75	1,37	0,70
Z-150x1	Z-150x1	3	0,54	0,36	0,41	0,34
Z-150x1,25	Z-150x1	3	0,75	0,51	0,62	0,45
Z-150x1,5	Z-150x1,25	3	1,15	0,91	0,87	0,58
Z-150x1,75	Z-150x1,5	3	1,41	1,26	1,07	0,68
Z-150x2	Z-150x1,75	3	1,64	1,50	1,25	0,79
Z-150x2,5	Z-150x2	3	2,06	1,93	1,57	1,00
Z-150x3	Z-150x2,5	3	2,48	2,37	1,90	1,21
Z-200x1,25	Z-200x1,25	3	1,09	0,86	0,84	0,87
Z-200x1,5	Z-200x1,25	3	1,52	1,20	1,17	1,10
Z-200x1,75	Z-200x1,5	3	1,97	1,75	1,52	1,33
Z-200x2	Z-200x1,75	3	2,42	2,21	1,88	1,57
Z-200x2,5	Z-200x2	3	3,06	2,87	2,38	1,99
Z-200x3	Z-200x2,5	3	3,72	3,54	2,89	2,41
Z-250x1,5	Z-250x1,5	3	2,47	2,18	2,16	2,20
Z-250x1,75	Z-250x1,5	3	3,05	2,87	2,84	2,66
Z-250x2,0	Z-250x1,75	3	3,98	3,69	3,53	3,12
Z-250x2,5	Z-250x2,0	3	5,49	5,14	4,92	4,03
Z-250x3	Z-250x2,5	3	6,62	6,37	5,95	4,87

Belka 4-przęslowa, stal S350GD, poszycie z blachy Super 40, 0,60mm, 2 wkręty w faldzie, zakłady 10% i 20% liczone do śrub, dopuszczalne ugięcie L/150 - jeżeli $L \leq 6,0m$ lub L/200 - jeżeli $L > 6,0m$

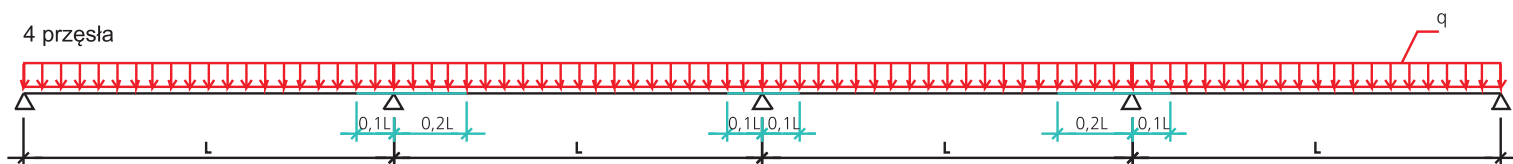
L = 7,5 m



Przekrój w przęśle skrajnym	Przekrój w przęsłach pozostałych	Ilość tężników w każdym przęśle	Maksymalne obciążenie obliczeniowe grawitacyjne q_g [kN/m]	Maksymalne obciążenie obliczeniowe, grawitacyjne q_g [kN/m] + siła osiowa $N=10kN$	Maksymalne obciążenie obliczeniowe, unoszące q_u [kN/m]	Maksymalne obciążenie grawitacyjne charakterystyczne ze względu na ugięcia q_{ch} [kN/m]
Z-120x1	Z-120x1	3	0,40	0,28	0,29	0,19
Z-120x1,25	Z-120x1	3	0,55	0,38	0,44	0,24
Z-120x1,5	Z-120x1,25	3	0,80	0,67	0,58	0,30
Z-120x1,75	Z-120x1,5	3	0,98	0,87	0,71	0,35
Z-120x2	Z-120x1,75	3	1,12	1,03	0,83	0,41
Z-120x2,5	Z-120x2	3	1,39	1,31	1,02	0,52
Z-120x3	Z-120x2,5	3	1,67	1,59	1,22	0,62
Z-150x1	Z-150x1	3	0,49	0,33	0,36	0,30
Z-150x1,25	Z-150x1	3	0,69	0,46	0,55	0,41
Z-150x1,5	Z-150x1,25	3	1,05	0,83	0,78	0,50
Z-150x1,75	Z-150x1,5	3	1,28	1,14	0,95	0,60
Z-150x2	Z-150x1,75	3	1,50	1,36	1,11	0,71
Z-150x2,5	Z-150x2	3	1,88	1,75	1,39	0,89
Z-150x3	Z-150x2,5	3	2,25	2,15	1,68	1,07
Z-200x1,25	Z-200x1,25	3	0,99	0,78	0,74	0,78
Z-200x1,5	Z-200x1,25	3	1,38	1,08	1,04	0,98
Z-200x1,75	Z-200x1,5	3	1,79	1,58	1,35	1,18
Z-200x2	Z-200x1,75	3	2,19	1,99	1,67	1,40
Z-200x2,5	Z-200x2	3	2,77	2,60	2,11	1,77
Z-200x3	Z-200x2,5	3	3,36	3,20	2,57	2,14
Z-250x1,5	Z-250x1,5	3	2,25	1,99	1,96	1,96
Z-250x1,75	Z-250x1,5	3	2,89	2,68	2,57	2,37
Z-250x2,0	Z-250x1,75	3	3,63	3,37	3,18	2,77
Z-250x2,5	Z-250x2,0	3	5,02	4,69	4,44	3,59
Z-250x3	Z-250x2,5	3	6,04	5,82	5,37	4,32

Belka 4-przęslowa, stal S350GD, poszycie z blachy Super 40, 0,60mm, 2 wkręty w faldzie, zakłady 10% i 20% liczone do śrub, dopuszczalne ugięcie L/150 - jeżeli $L \leq 6,0m$ lub L/200 - jeżeli $L > 6,0m$

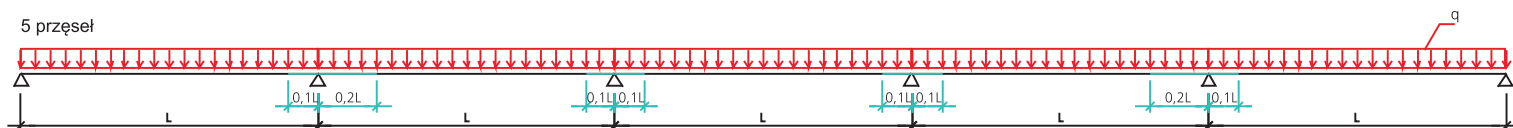
L = 7,8 m



Przekrój w przęśle skrajnym	Przekrój w przęsłach pozostałych	Ilość tężników w każdym przęśle	Maksymalne obciążenie obliczeniowe grawitacyjne q_g [kN/m]	Maksymalne obciążenie obliczeniowe, grawitacyjne q_g [kN/m] + siła osiowa $N=10kN$	Maksymalne obciążenie obliczeniowe, unoszące q_u [kN/m]	Maksymalne obciążenie grawitacyjne charakterystyczne ze względu na ugięcia q_{ch} [kN/m]
Z-120x1	Z-120x1	3	0,37	0,24	0,26	0,16
Z-120x1,25	Z-120x1	3	0,51	0,35	0,39	0,21
Z-120x1,5	Z-120x1,25	3	0,73	0,61	0,52	0,26
Z-120x1,75	Z-120x1,5	3	0,89	0,80	0,63	0,32
Z-120x2	Z-120x1,75	3	1,03	0,94	0,73	0,37
Z-120x2,5	Z-120x2	3	1,28	1,20	0,91	0,47
Z-120x3	Z-120x2,5	3	1,52	1,45	1,09	0,56
Z-150x1	Z-150x1	3	0,45	0,30	0,32	0,27
Z-150x1,25	Z-150x1	3	0,62	0,41	0,49	0,36
Z-150x1,5	Z-150x1,25	3	0,95	0,75	0,68	0,45
Z-150x1,75	Z-150x1,5	3	1,18	1,04	0,85	0,54
Z-150x2	Z-150x1,75	3	1,37	1,24	0,98	0,63
Z-150x2,5	Z-150x2	3	1,71	1,60	1,23	0,80
Z-150x3	Z-150x2,5	3	2,05	1,95	1,50	0,96
Z-200x1,25	Z-200x1,25	3	0,90	0,70	0,65	0,70
Z-200x1,5	Z-200x1,25	3	1,24	0,97	0,92	0,87
Z-200x1,75	Z-200x1,5	3	1,62	1,43	1,20	1,06
Z-200x2	Z-200x1,75	3	1,98	1,81	1,48	1,24
Z-200x2,5	Z-200x2	3	2,51	2,35	1,87	1,58
Z-200x3	Z-200x2,5	3	3,05	2,91	2,27	1,91
Z-250x1,5	Z-250x1,5	3	2,06	1,81	1,76	1,75
Z-250x1,75	Z-250x1,5	3	2,69	2,45	2,31	2,11
Z-250x2,0	Z-250x1,75	3	3,32	3,09	2,87	2,48
Z-250x2,5	Z-250x2,0	3	4,60	4,28	4,01	3,20
Z-250x3	Z-250x2,5	3	5,53	5,32	4,85	3,86

Belka 4-przęslowa, stal S350GD, poszycie z blachy Super 40, 0,60mm, 2 wkręty w faldzie, zakłady 10% i 20% liczone do śrub, dopuszczalne ugięcie L/150 - jeżeli $L \leq 6,0m$ lub L/200 - jeżeli $L > 6,0m$

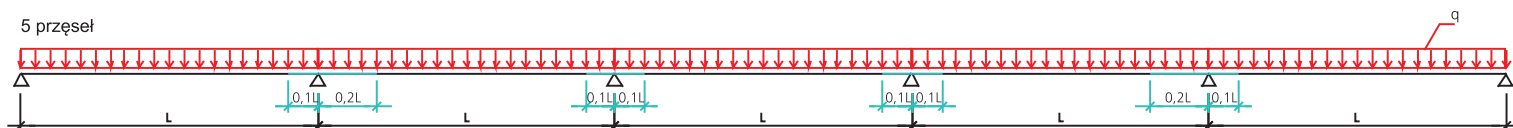
L = 8,1 m



Przekrój w przęśle skrajnym	Przekrój w przęsłach pozostałych	Ilość tężników w każdym przęśle	Maksymalne obciążenie obliczeniowe grawitacyjne q_g [kN/m]	Maksymalne obciążenie obliczeniowe, grawitacyjne q_g [kN/m] + siła osiowa $N=10kN$	Maksymalne obciążenie obliczeniowe, unoszące q_u [kN/m]	Maksymalne obciążenie grawitacyjne charakterystyczne ze względu na ugięcia q_{ch} [kN/m]
Z-120x1	Z-120x1	0	1,85	1,32	2,13	1,85
Z-120x1,25	Z-120x1	0	2,15	1,37	3,13	2,15
Z-120x1,5	Z-120x1,25	0	3,11	2,41	4,04	3,11
Z-120x1,75	Z-120x1,5	0	3,99	3,36	4,85	3,99
Z-120x2	Z-120x1,75	0	4,68	4,20	5,55	4,68
Z-120x2,5	Z-120x2	0	5,52	4,98	6,76	5,52
Z-120x3	Z-120x2,5	0	6,77	6,28	7,93	6,77
Z-150x1	Z-150x1	0	2,23	1,47	2,59	2,23
Z-150x1,25	Z-150x1	0	2,51	1,47	3,85	2,51
Z-150x1,5	Z-150x1,25	0	3,68	2,74	5,19	3,68
Z-150x1,75	Z-150x1,5	0	4,89	4,02	6,28	4,89
Z-150x2	Z-150x1,75	0	5,88	5,10	7,22	5,88
Z-150x2,5	Z-150x2	0	6,85	6,11	8,89	6,85
Z-150x3	Z-150x2,5	0	8,47	7,80	10,52	8,47
Z-200x1,25	Z-200x1,25	0	4,22	3,23	5,15	4,22
Z-200x1,5	Z-200x1,25	0	4,61	3,23	6,56	4,62
Z-200x1,75	Z-200x1,5	0	6,19	4,91	8,85	6,18
Z-200x2	Z-200x1,75	0	7,75	6,54	10,60	7,75
Z-200x2,5	Z-200x2	0	9,33	8,18	13,21	9,34
Z-200x3	Z-200x2,5	0	11,71	10,69	15,78	11,72
Z-250x1,5	Z-250x1,5	0	8,65	7,67	9,51	8,65
Z-250x1,75	Z-250x1,5	0	9,57	9,15	9,57	9,57
Z-250x2	Z-250x1,75	0	12,50	11,65	16,24	12,50
Z-250x2,5	Z-250x2,0	0	15,95	14,56	22,92	15,95
Z-250x3	Z-250x2,5	0	19,21	18,52	33,49	19,21

Belka 5-przęslowa, stal S350GD, poszycie z blachy Super 40, 0,60mm, 2 wkręty w faldzie, zakłady 10% i 20% liczone do śrub, dopuszczalne ugięcie L/150 - jeżeli $L \leq 6,0m$ lub L/200 - jeżeli $L > 6,0m$

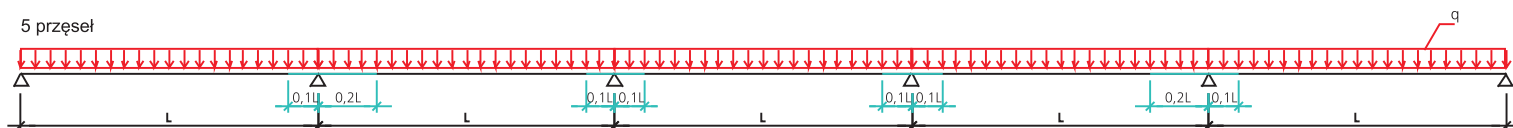
L = 3,0 m



Przekrój w przęśle skrajnym	Przekrój w przęstach pozostałych	Ilość tężników w każdym przęśle	Maksymalne obciążenie obliczeniowe grawitacyjne q_g [kN/m]	Maksymalne obciążenie obliczeniowe, grawitacyjne q_g [kN/m] + siła osiowa $N=10kN$	Maksymalne obciążenie obliczeniowe, unoszące q_u [kN/m]	Maksymalne obciążenie grawitacyjne charakterystyczne ze względu na ugięcia q_{ch} [kN/m]
Z-120x1	Z-120x1	0	1,59	1,13	1,77	1,59
Z-120x1,25	Z-120x1	0	1,81	1,16	2,62	1,82
Z-120x1,5	Z-120x1,25	0	2,65	2,06	3,40	2,65
Z-120x1,75	Z-120x1,5	0	3,41	2,87	4,08	3,41
Z-120x2	Z-120x1,75	0	4,09	3,58	4,66	4,09
Z-120x2,5	Z-120x2	0	4,71	4,24	5,65	4,71
Z-120x3	Z-120x2,5	0	5,74	5,33	6,59	5,74
Z-150x1	Z-150x1	0	1,88	1,20	2,11	1,88
Z-150x1,25	Z-150x1	0	2,07	1,20	3,16	2,07
Z-150x1,5	Z-150x1,25	0	3,07	2,28	4,28	3,07
Z-150x1,75	Z-150x1,5	0	4,10	3,36	5,19	4,10
Z-150x2	Z-150x1,75	0	4,95	4,27	5,95	4,95
Z-150x2,5	Z-150x2	0	5,73	5,10	7,29	5,73
Z-150x3	Z-150x2,5	0	7,05	6,47	8,60	7,05
Z-200x1,25	Z-200x1,25	0	3,51	2,52	4,10	3,50
Z-200x1,5	Z-200x1,25	0	3,69	2,52	5,59	3,70
Z-200x1,75	Z-200x1,5	0	4,99	3,90	7,10	4,99
Z-200x2	Z-200x1,75	0	6,27	5,23	8,51	6,27
Z-200x2,5	Z-200x2	0	7,54	6,55	10,58	7,53
Z-200x3	Z-200x2,5	0	9,38	8,51	12,59	9,39
Z-250x1,5	Z-250x1,5	0	7,11	6,28	8,49	7,11
Z-250x1,75	Z-250x1,5	0	8,43	7,14	8,70	8,43
Z-250x2	Z-250x1,75	0	10,34	9,28	14,52	10,33
Z-250x2,5	Z-250x2,0	0	12,61	11,42	20,34	12,61
Z-250x3	Z-250x2,5	0	15,88	15,29	26,73	15,88

Belka 5-przęslowa, stal S350GD, poszycie z blachy Super 40, 0,60mm, 2 wkręty w faldzie, zakłady 10% i 20% liczone do śrub, dopuszczalne ugięcie L/150 - jeżeli $L \leq 6,0m$ lub L/200 - jeżeli $L > 6,0m$

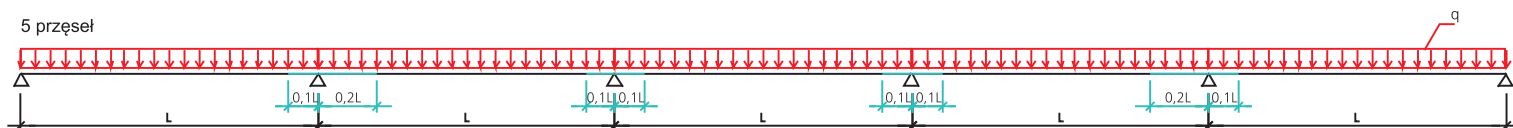
L = 3,3 m



Przekrój w przęśle skrajnym	Przekrój w przęśtach pozostałych	Ilość tężników w każdym przęśle	Maksymalne obciążenie obliczeniowe grawitacyjne q_g [kN/m]	Maksymalne obciążenie obliczeniowe, grawitacyjne q_g [kN/m] + siła osiowa $N=10kN$	Maksymalne obciążenie obliczeniowe, unoszące q_u [kN/m]	Maksymalne obciążenie grawitacyjne charakterystyczne ze względu na ugięcia q_{ch} [kN/m]
Z-120x1	Z-120x1	0	1,40	0,99	1,50	1,39
Z-120x1,25	Z-120x1	0	1,57	0,99	2,24	1,57
Z-120x1,5	Z-120x1,25	0	2,31	1,78	2,91	2,31
Z-120x1,75	Z-120x1,5	0	2,98	2,51	3,50	2,98
Z-120x2	Z-120x1,75	0	3,58	3,13	3,99	3,57
Z-120x2,5	Z-120x2	0	4,10	3,70	4,82	4,11
Z-120x3	Z-120x2,5	0	4,98	4,62	5,60	4,99
Z-150x1	Z-150x1	0	1,62	1,00	1,74	1,62
Z-150x1,25	Z-150x1	0	1,76	1,00	2,64	1,76
Z-150x1,5	Z-150x1,25	0	2,63	1,94	3,60	2,63
Z-150x1,75	Z-150x1,5	0	3,52	2,88	4,36	3,52
Z-150x2	Z-150x1,75	0	4,25	3,66	5,00	4,26
Z-150x2,5	Z-150x2	0	4,92	4,37	6,11	4,91
Z-150x3	Z-150x2,5	0	6,01	5,52	7,16	6,02
Z-200x1,25	Z-200x1,25	0	2,98	2,05	3,34	2,98
Z-200x1,5	Z-200x1,25	0	3,06	2,05	4,57	3,06
Z-200x1,75	Z-200x1,5	0	4,16	3,22	5,82	4,16
Z-200x2	Z-200x1,75	0	5,23	4,33	6,97	5,24
Z-200x2,5	Z-200x2	0	6,28	5,43	8,64	6,28
Z-200x3	Z-200x2,5	0	7,78	7,01	10,24	7,77
Z-250x1,5	Z-250x1,5	0	5,94	5,23	7,65	5,94
Z-250x1,75	Z-250x1,5	0	6,73	5,56	7,97	6,73
Z-250x2	Z-250x1,75	0	8,43	7,32	12,93	8,43
Z-250x2,5	Z-250x2,0	0	10,13	9,08	17,85	10,14
Z-250x3	Z-250x2,5	0	13,37	12,42	21,64	13,36

Belka 5-przęslowa, stal S350GD, poszycie z blachy Super 40, 0,60mm, 2 wkręty w faldzie, zakłady 10% i 20% liczone do śrub, dopuszczalne ugięcie L/150 - jeżeli $L \leq 6,0m$ lub L/200 - jeżeli $L > 6,0m$

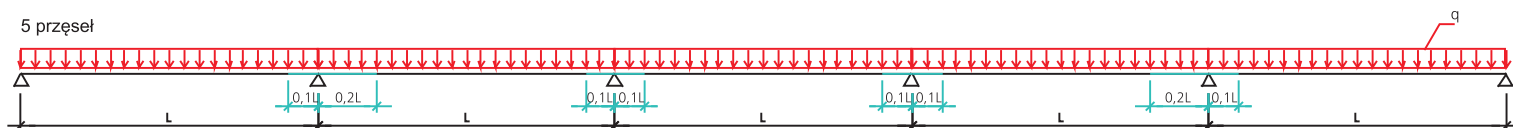
L = 3,6 m



Przekrój w przęśle skrajnym	Przekrój w przęśtach pozostałych	Ilość tężników w każdym przęśle	Maksymalne obciążenie obliczeniowe grawitacyjne q_g [kN/m]	Maksymalne obciążenie obliczeniowe, grawitacyjne q_g [kN/m] + siła osiowa $N=10kN$	Maksymalne obciążenie obliczeniowe, unoszące q_u [kN/m]	Maksymalne obciążenie grawitacyjne charakterystyczne ze względu na ugięcia q_{ch} [kN/m]
Z-120x1	Z-120x1	0	1,24	0,87	1,29	1,24
Z-120x1,25	Z-120x1	0	1,39	0,87	1,94	1,38
Z-120x1,5	Z-120x1,25	0	2,05	1,58	2,52	2,05
Z-120x1,75	Z-120x1,5	0	2,65	2,22	3,04	2,64
Z-120x2	Z-120x1,75	0	3,18	2,78	3,46	3,17
Z-120x2,5	Z-120x2	0	3,64	3,28	4,16	3,64
Z-120x3	Z-120x2,5	0	4,41	4,07	4,82	4,40
Z-150x1	Z-150x1	0	1,42	0,86	1,48	1,42
Z-150x1,25	Z-150x1	0	1,52	0,86	2,25	1,52
Z-150x1,5	Z-150x1,25	0	2,29	1,68	3,08	2,29
Z-150x1,75	Z-150x1,5	0	3,08	2,52	3,73	3,09
Z-150x2	Z-150x1,75	0	3,72	3,20	4,27	3,73
Z-150x2,5	Z-150x2	0	4,29	3,82	5,20	4,30
Z-150x3	Z-150x2,5	0	5,24	4,80	6,06	5,24
Z-200x1,25	Z-200x1,25	0	2,57	1,72	2,76	2,57
Z-200x1,5	Z-200x1,25	0	2,60	1,72	3,80	2,60
Z-200x1,75	Z-200x1,5	0	3,55	2,74	4,85	3,56
Z-200x2	Z-200x1,75	0	4,48	3,70	5,81	4,48
Z-200x2,5	Z-200x2	0	5,36	4,62	7,18	5,37
Z-200x3	Z-200x2,5	0	6,60	5,95	8,48	6,61
Z-250x1,5	Z-250x1,5	0	5,04	4,43	6,64	5,04
Z-250x1,75	Z-250x1,5	0	5,48	4,44	7,27	5,48
Z-250x2	Z-250x1,75	0	6,89	5,90	10,62	6,89
Z-250x2,5	Z-250x2,0	0	8,29	7,35	14,65	8,29
Z-250x3	Z-250x2,5	0	10,95	10,09	17,73	10,95

Belka 5-przęslowa, stal S350GD, poszycie z blachy Super 40, 0,60mm, 2 wkręty w faldzie, zakłady 10% i 20% liczone do śrub, dopuszczalne ugięcie L/150 - jeżeli $L \leq 6,0m$ lub L/200 - jeżeli $L > 6,0m$

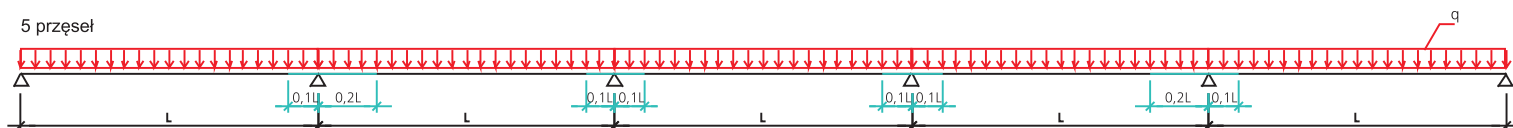
L = 3,9 m



Przekrój w przęśle skrajnym	Przekrój w przęsłach pozostałych	Ilość tężników w każdym przęśle	Maksymalne obciążenie obliczeniowe grawitacyjne q_g [kN/m]	Maksymalne obciążenie obliczeniowe, grawitacyjne q_g [kN/m] + siła osiowa $N=10kN$	Maksymalne obciążenie obliczeniowe, unoszące q_u [kN/m]	Maksymalne obciążenie grawitacyjne charakterystyczne ze względu na ugięcia q_{ch} [kN/m]
Z-120x1	Z-120x1	1	1,27	0,94	1,14	1,28
Z-120x1,25	Z-120x1	1	1,77	1,28	1,70	1,76
Z-120x1,5	Z-120x1,25	1	2,32	2,04	2,21	2,31
Z-120x1,75	Z-120x1,5	1	2,79	2,53	2,67	2,79
Z-120x2	Z-120x1,75	1	3,25	3,01	3,07	3,25
Z-120x2,5	Z-120x2	1	4,06	3,85	3,76	4,06
Z-120x3	Z-120x2,5	1	4,90	4,70	4,43	4,90
Z-150x1	Z-150x1	1	1,62	1,18	1,38	1,62
Z-150x1,25	Z-150x1	1	2,24	1,60	2,09	2,24
Z-150x1,5	Z-150x1,25	1	3,06	2,63	2,86	3,06
Z-150x1,75	Z-150x1,5	1	3,70	3,36	3,49	3,70
Z-150x2	Z-150x1,75	1	4,32	4,01	4,05	4,33
Z-150x2,5	Z-150x2	1	5,44	5,16	5,02	5,44
Z-150x3	Z-150x2,5	1	6,61	6,35	6,00	6,61
Z-200x1,25	Z-200x1,25	1	3,20	2,63	2,77	3,20
Z-200x1,5	Z-200x1,25	1	4,25	3,61	3,82	4,25
Z-200x1,75	Z-200x1,5	1	5,30	4,81	4,92	5,31
Z-200x2	Z-200x1,75	1	6,39	5,92	5,98	6,38
Z-200x2,5	Z-200x2	1	8,09	7,67	7,53	8,09
Z-200x3	Z-200x2,5	1	9,88	9,50	9,10	9,88
Z-250x1,5	Z-250x1,5	1	6,33	5,85	6,32	6,33
Z-250x1,75	Z-250x1,5	1	6,65	6,36	6,65	6,65
Z-250x2	Z-250x1,75	1	9,80	9,18	10,75	9,81
Z-250x2,5	Z-250x2,0	1	12,96	12,38	14,86	12,96
Z-250x3	Z-250x2,5	1	15,50	14,96	19,83	15,50

Belka 5-przęslowa, stal S350GD, poszycie z blachy Super 40, 0,60mm, 2 wkręty w faldzie, zakłady 10% i 20% liczone do śrub, dopuszczalne ugięcie L/150 - jeżeli $L \leq 6,0m$ lub L/200 - jeżeli $L > 6,0m$

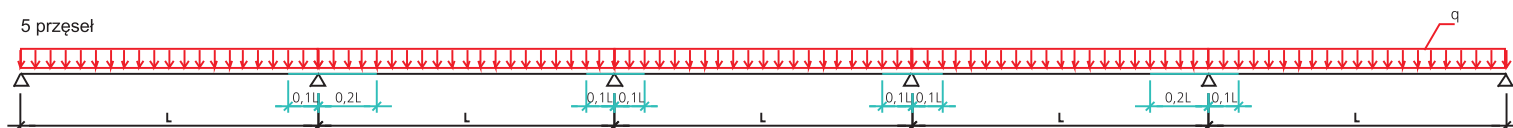
L = 4,2 m



Przekrój w przęśle skrajnym	Przekrój w przęsłach pozostałych	Ilość tężników w każdym przęśle	Maksymalne obciążenie obliczeniowe grawitacyjne q_g [kN/m]	Maksymalne obciążenie obliczeniowe, grawitacyjne q_g [kN/m] + siła osiowa $N=10kN$	Maksymalne obciążenie obliczeniowe, unoszące q_u [kN/m]	Maksymalne obciążenie grawitacyjne charakterystyczne ze względu na ugięcia q_{ch} [kN/m]
Z-120x1	Z-120x1	1	1,11	0,81	0,96	1,11
Z-120x1,25	Z-120x1	1	1,53	1,08	1,44	1,52
Z-120x1,5	Z-120x1,25	1	2,03	1,78	1,88	2,03
Z-120x1,75	Z-120x1,5	1	2,45	2,21	2,27	2,43
Z-120x2	Z-120x1,75	1	2,84	2,63	2,60	2,83
Z-120x2,5	Z-120x2	1	3,54	3,35	3,17	3,53
Z-120x3	Z-120x2,5	1	4,27	4,09	3,72	4,24
Z-150x1	Z-150x1	1	1,40	1,01	1,14	1,40
Z-150x1,25	Z-150x1	1	1,92	1,34	1,74	1,91
Z-150x1,5	Z-150x1,25	1	2,66	2,25	2,39	2,65
Z-150x1,75	Z-150x1,5	1	3,21	2,91	2,91	3,21
Z-150x2	Z-150x1,75	1	3,76	3,48	3,36	3,76
Z-150x2,5	Z-150x2	1	4,71	4,47	4,16	4,72
Z-150x3	Z-150x2,5	1	5,72	5,49	4,95	5,72
Z-200x1,25	Z-200x1,25	1	2,76	2,26	2,25	2,75
Z-200x1,5	Z-200x1,25	1	3,66	3,04	3,11	3,66
Z-200x1,75	Z-200x1,5	1	4,58	4,14	4,00	4,58
Z-200x2	Z-200x1,75	1	5,51	5,10	4,87	5,51
Z-200x2,5	Z-200x2	1	6,98	6,61	6,12	6,98
Z-200x3	Z-200x2,5	1	8,52	8,19	7,38	8,52
Z-250x1,5	Z-250x1,5	1	5,72	5,10	5,80	5,71
Z-250x1,75	Z-250x1,5	1	6,12	5,84	6,11	6,11
Z-250x2	Z-250x1,75	1	8,56	8,01	9,80	8,55
Z-250x2,5	Z-250x2,0	1	11,30	10,79	13,53	11,30
Z-250x3	Z-250x2,5	1	13,51	13,05	16,55	13,52

Belka 5-przęslowa, stal S350GD, poszycie z blachy Super 40, 0,60mm, 2 wkręty w faldzie, zakłady 10% i 20% liczone do śrub, dopuszczalne ugięcie L/150 - jeżeli $L \leq 6,0m$ lub L/200 - jeżeli $L > 6,0m$

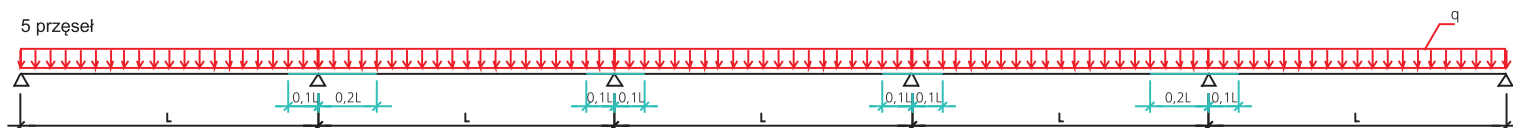
L = 4,5 m



Przekrój w przęśle skrajnym	Przekrój w przęśtach pozostałych	Ilość tężników w każdym przęśle	Maksymalne obciążenie obliczeniowe grawitacyjne q_g [kN/m]	Maksymalne obciążenie obliczeniowe, grawitacyjne q_g [kN/m] + siła osiowa $N=10kN$	Maksymalne obciążenie obliczeniowe, unoszące q_u [kN/m]	Maksymalne obciążenie grawitacyjne charakterystyczne ze względu na ugięcia q_{ch} [kN/m]
Z-120x1	Z-120x1	1	0,97	0,71	0,82	0,97
Z-120x1,25	Z-120x1	1	1,33	0,93	1,24	1,33
Z-120x1,5	Z-120x1,25	1	1,80	1,55	1,63	1,69
Z-120x1,75	Z-120x1,5	1	2,17	1,96	1,96	2,00
Z-120x2	Z-120x1,75	1	2,51	2,32	2,24	2,33
Z-120x2,5	Z-120x2	1	3,12	2,95	2,72	2,91
Z-120x3	Z-120x2,5	1	3,76	3,59	3,17	3,48
Z-150x1	Z-150x1	1	1,22	0,87	0,96	1,22
Z-150x1,25	Z-150x1	1	1,65	1,15	1,47	1,65
Z-150x1,5	Z-150x1,25	1	2,33	1,93	2,02	2,33
Z-150x1,75	Z-150x1,5	1	2,82	2,56	2,46	2,83
Z-150x2	Z-150x1,75	1	3,30	3,05	2,84	3,30
Z-150x2,5	Z-150x2	1	4,13	3,91	3,48	4,13
Z-150x3	Z-150x2,5	1	5,00	4,80	4,13	5,00
Z-200x1,25	Z-200x1,25	1	2,39	1,95	1,84	2,39
Z-200x1,5	Z-200x1,25	1	3,18	2,58	2,55	3,18
Z-200x1,75	Z-200x1,5	1	3,98	3,60	3,29	3,98
Z-200x2	Z-200x1,75	1	4,80	4,43	4,01	4,81
Z-200x2,5	Z-200x2	1	6,07	5,75	5,02	6,07
Z-200x3	Z-200x2,5	1	7,41	7,10	6,04	7,41
Z-250x1,5	Z-250x1,5	1	5,03	4,49	5,07	5,03
Z-250x1,75	Z-250x1,5	1	5,65	5,38	5,64	5,65
Z-250x2	Z-250x1,75	1	7,53	7,04	8,20	7,53
Z-250x2,5	Z-250x2,0	1	9,95	9,50	11,41	9,95
Z-250x3	Z-250x2,5	1	11,89	11,49	13,85	11,89

Belka 5-przęslowa, stal S350GD, poszycie z blachy Super 40, 0,60mm, 2 wkręty w faldzie, zakłady 10% i 20% liczone do śrub, dopuszczalne ugięcie L/150 - jeżeli $L \leq 6,0m$ lub L/200 - jeżeli $L > 6,0m$

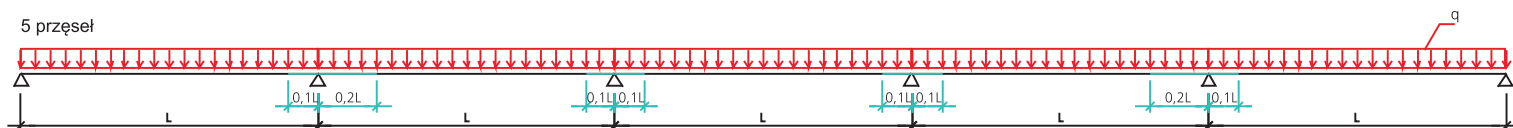
L = 4,8 m



Przekrój w przęśle skrajnym	Przekrój w przęsłach pozostałych	Ilość tężników w każdym przęśle	Maksymalne obciążenie obliczeniowe grawitacyjne q_g [kN/m]	Maksymalne obciążenie obliczeniowe, grawitacyjne q_g [kN/m] + siła osiowa $N=10kN$	Maksymalne obciążenie obliczeniowe, unoszące q_u [kN/m]	Maksymalne obciążenie grawitacyjne charakterystyczne ze względu na ugięcia q_{ch} [kN/m]
Z-120x1	Z-120x1	1	0,87	0,62	0,71	0,86
Z-120x1,25	Z-120x1	1	1,16	0,82	1,09	1,13
Z-120x1,5	Z-120x1,25	1	1,60	1,36	1,42	1,40
Z-120x1,75	Z-120x1,5	1	1,94	1,75	1,71	1,67
Z-120x2	Z-120x1,75	1	2,24	2,07	1,95	1,94
Z-120x2,5	Z-120x2	1	2,78	2,63	2,36	2,43
Z-120x3	Z-120x2,5	1	3,33	3,19	2,73	2,91
Z-150x1	Z-150x1	1	1,07	0,76	0,81	1,07
Z-150x1,25	Z-150x1	1	1,44	0,98	1,25	1,44
Z-150x1,5	Z-150x1,25	1	2,06	1,68	1,73	2,06
Z-150x1,75	Z-150x1,5	1	2,50	2,25	2,10	2,50
Z-150x2	Z-150x1,75	1	2,92	2,69	2,42	2,92
Z-150x2,5	Z-150x2	1	3,65	3,45	2,96	3,65
Z-150x3	Z-150x2,5	1	4,41	4,22	3,49	4,41
Z-200x1,25	Z-200x1,25	1	2,09	1,69	1,52	2,09
Z-200x1,5	Z-200x1,25	1	2,79	2,21	2,12	2,79
Z-200x1,75	Z-200x1,5	1	3,49	3,14	2,73	3,50
Z-200x2	Z-200x1,75	1	4,21	3,88	3,34	4,22
Z-200x2,5	Z-200x2	1	5,32	5,03	4,15	5,32
Z-200x3	Z-200x2,5	1	6,49	6,22	4,99	6,48
Z-250x1,5	Z-250x1,5	1	4,46	3,98	4,25	4,46
Z-250x1,75	Z-250x1,5	1	5,23	4,99	5,24	5,24
Z-250x2	Z-250x1,75	1	6,68	6,25	6,89	6,68
Z-250x2,5	Z-250x2,0	1	8,83	8,43	9,59	8,83
Z-250x3	Z-250x2,5	1	10,55	10,19	11,63	10,55

Belka 5-przęslowa, stal S350GD, poszycie z blachy Super 40, 0,60mm, 2 wkręty w faldzie, zakłady 10% i 20% liczone do śrub, dopuszczalne ugięcie L/150 - jeżeli $L \leq 6,0m$ lub L/200 - jeżeli $L > 6,0m$

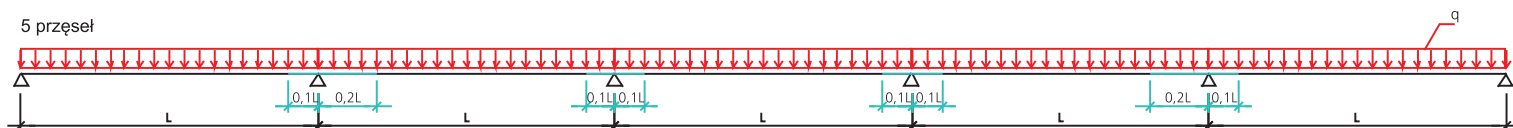
L = 5,1 m



Przekrój w przęśle skrajnym	Przekrój w przęsłach pozostałych	Ilość tężników w każdym przęśle	Maksymalne obciążenie obliczeniowe grawitacyjne q_g [kN/m]	Maksymalne obciążenie obliczeniowe, grawitacyjne q_g [kN/m] + siła osiowa $N=10kN$	Maksymalne obciążenie obliczeniowe, unoszące q_u [kN/m]	Maksymalne obciążenie grawitacyjne charakterystyczne ze względu na ugięcia q_{ch} [kN/m]
Z-120x1	Z-120x1	1	0,77	0,55	0,63	0,72
Z-120x1,25	Z-120x1	1	1,04	0,71	0,96	0,96
Z-120x1,5	Z-120x1,25	1	1,45	1,21	1,25	1,17
Z-120x1,75	Z-120x1,5	1	1,74	1,57	1,52	1,40
Z-120x2	Z-120x1,75	1	2,02	1,86	1,72	1,63
Z-120x2,5	Z-120x2	1	2,50	2,36	2,07	2,04
Z-120x3	Z-120x2,5	1	2,98	2,84	2,39	2,45
Z-150x1	Z-150x1	1	0,95	0,67	0,70	0,95
Z-150x1,25	Z-150x1	1	1,26	0,85	1,08	1,26
Z-150x1,5	Z-150x1,25	1	1,85	1,47	1,50	1,84
Z-150x1,75	Z-150x1,5	1	2,23	2,00	1,83	2,24
Z-150x2	Z-150x1,75	1	2,61	2,39	2,10	2,60
Z-150x2,5	Z-150x2	1	3,25	3,07	2,55	3,25
Z-150x3	Z-150x2,5	1	3,92	3,74	2,99	3,92
Z-200x1,25	Z-200x1,25	1	1,84	1,48	1,28	1,84
Z-200x1,5	Z-200x1,25	1	2,45	1,90	1,79	2,44
Z-200x1,75	Z-200x1,5	1	3,09	2,77	2,31	3,08
Z-200x2	Z-200x1,75	1	3,72	3,42	2,81	3,72
Z-200x2,5	Z-200x2	1	4,70	4,43	3,48	4,70
Z-200x3	Z-200x2,5	1	5,72	5,47	4,16	5,71
Z-250x1,5	Z-250x1,5	1	3,94	3,52	3,59	3,94
Z-250x1,75	Z-250x1,5	1	4,87	4,53	4,70	4,87
Z-250x2	Z-250x1,75	1	5,92	5,53	5,81	5,92
Z-250x2,5	Z-250x2,0	1	7,83	7,47	8,09	7,83
Z-250x3	Z-250x2,5	1	9,37	9,04	9,80	9,36

Belka 5-przęslowa, stal S350GD, poszycie z blachy Super 40, 0,60mm, 2 wkręty w faldzie, zakłady 10% i 20% liczone do śrub, dopuszczalne ugięcie L/150 - jeżeli $L \leq 6,0m$ lub L/200 - jeżeli $L > 6,0m$

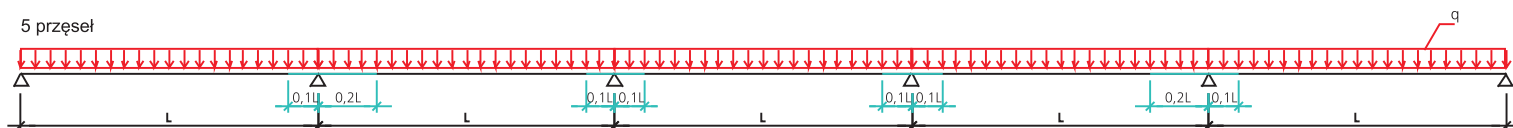
L = 5,4 m



Przekrój w przęśle skrajnym	Przekrój w przęsłach pozostałych	Ilość tężników w każdym przęśle	Maksymalne obciążenie obliczeniowe grawitacyjne q_g [kN/m]	Maksymalne obciążenie obliczeniowe, grawitacyjne q_g [kN/m] + siła osiowa $N=10kN$	Maksymalne obciążenie obliczeniowe, unoszące q_u [kN/m]	Maksymalne obciążenie grawitacyjne charakterystyczne ze względu na ugięcia q_{ch} [kN/m]
Z-120x1	Z-120x1	2	0,79	0,56	0,63	0,61
Z-120x1,25	Z-120x1	2	1,11	0,77	0,95	0,81
Z-120x1,5	Z-120x1,25	2	1,52	1,31	1,24	1,00
Z-120x1,75	Z-120x1,5	2	1,83	1,64	1,51	1,19
Z-120x2	Z-120x1,75	2	2,14	1,96	1,75	1,39
Z-120x2,5	Z-120x2	2	2,66	2,51	2,16	1,73
Z-120x3	Z-120x2,5	2	3,20	3,06	2,57	2,08
Z-150x1	Z-150x1	2	0,99	0,69	0,78	0,99
Z-150x1,25	Z-150x1	2	1,37	0,96	1,18	1,34
Z-150x1,5	Z-150x1,25	2	2,01	1,68	1,64	1,69
Z-150x1,75	Z-150x1,5	2	2,45	2,20	2,01	2,01
Z-150x2	Z-150x1,75	2	2,86	2,62	2,34	2,34
Z-150x2,5	Z-150x2	2	3,60	3,39	2,93	2,94
Z-150x3	Z-150x2,5	2	4,35	4,17	3,51	3,55
Z-200x1,25	Z-200x1,25	2	1,99	1,60	1,58	2,00
Z-200x1,5	Z-200x1,25	2	2,74	2,23	2,20	2,74
Z-200x1,75	Z-200x1,5	2	3,49	3,12	2,84	3,49
Z-200x2	Z-200x1,75	2	4,24	3,90	3,48	4,24
Z-200x2,5	Z-200x2	2	5,37	5,06	4,40	5,37
Z-200x3	Z-200x2,5	2	6,54	6,26	5,33	6,54
Z-250x1,5	Z-250x1,5	2	4,24	3,86	3,87	4,24
Z-250x1,75	Z-250x1,5	2	4,55	4,31	4,54	4,55
Z-250x2	Z-250x1,75	2	6,79	6,32	6,27	6,79
Z-250x2,5	Z-250x2,0	2	9,18	8,74	8,74	9,18
Z-250x3	Z-250x2,5	2	11,01	10,62	10,56	11,01

Belka 5-przęslowa, stal S350GD, poszycie z blachy Super 40, 0,60mm, 2 wkręty w faldzie, zakłady 10% i 20% liczone do śrub, dopuszczalne ugięcie L/150 - jeżeli $L \leq 6,0m$ lub L/200 - jeżeli $L > 6,0m$

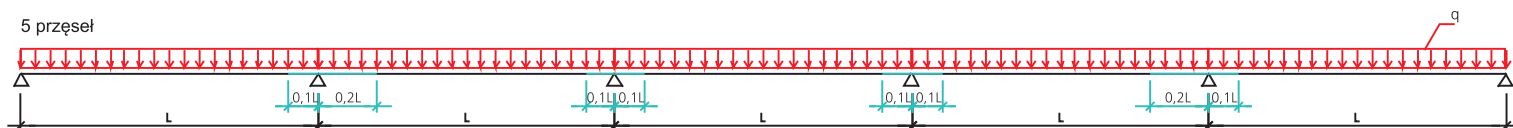
L = 5,7 m



Przekrój w przęśle skrajnym	Przekrój w przęśtach pozostałych	Ilość tężników w każdym przęśle	Maksymalne obciążenie obliczeniowe grawitacyjne q_g [kN/m]	Maksymalne obciążenie obliczeniowe, grawitacyjne q_g [kN/m] + siła osiowa $N=10kN$	Maksymalne obciążenie obliczeniowe, unoszące q_u [kN/m]	Maksymalne obciążenie grawitacyjne charakterystyczne ze względu na ugięcia q_{ch} [kN/m]
Z-120x1	Z-120x1	2	0,71	0,49	0,55	0,53
Z-120x1,25	Z-120x1	2	0,98	0,68	0,83	0,70
Z-120x1,5	Z-120x1,25	2	1,35	1,17	1,10	0,86
Z-120x1,75	Z-120x1,5	2	1,64	1,47	1,34	1,03
Z-120x2	Z-120x1,75	2	1,90	1,75	1,54	1,19
Z-120x2,5	Z-120x2	2	2,38	2,23	1,89	1,49
Z-120x3	Z-120x2,5	2	2,86	2,72	2,25	1,78
Z-150x1	Z-150x1	2	0,87	0,61	0,68	0,87
Z-150x1,25	Z-150x1	2	1,22	0,84	1,03	1,15
Z-150x1,5	Z-150x1,25	2	1,79	1,48	1,44	1,44
Z-150x1,75	Z-150x1,5	2	2,19	1,95	1,76	1,72
Z-150x2	Z-150x1,75	2	2,55	2,33	2,04	2,00
Z-150x2,5	Z-150x2	2	3,21	3,01	2,54	2,52
Z-150x3	Z-150x2,5	2	3,87	3,70	3,05	3,04
Z-200x1,25	Z-200x1,25	2	1,76	1,41	1,36	1,76
Z-200x1,5	Z-200x1,25	2	2,42	1,96	1,90	2,42
Z-200x1,75	Z-200x1,5	2	3,10	2,77	2,46	3,10
Z-200x2	Z-200x1,75	2	3,77	3,45	3,01	3,77
Z-200x2,5	Z-200x2	2	4,77	4,49	3,80	4,76
Z-200x3	Z-200x2,5	2	5,81	5,55	4,61	5,81
Z-250x1,5	Z-250x1,5	2	3,88	3,44	3,40	3,88
Z-250x1,75	Z-250x1,5	2	4,25	4,03	4,25	4,26
Z-250x2	Z-250x1,75	2	6,06	5,65	5,52	6,06
Z-250x2,5	Z-250x2,0	2	8,21	7,81	7,69	8,21
Z-250x3	Z-250x2,5	2	9,85	9,49	9,30	9,84

Belka 5-przęslowa, stal S350GD, poszycie z blachy Super 40, 0,60mm, 2 wkręty w faldzie, zakłady 10% i 20% liczone do śrub, dopuszczalne ugięcie L/150 - jeżeli $L \leq 6,0m$ lub L/200 - jeżeli $L > 6,0m$

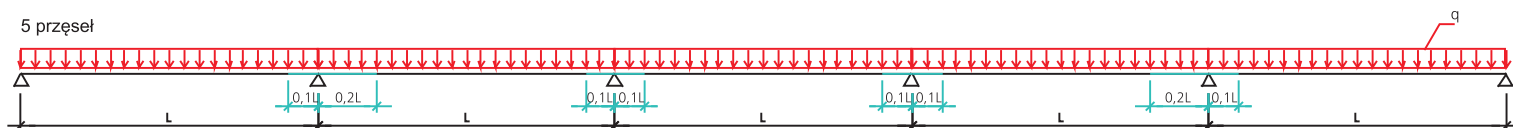
L = 6,0 m



Przekrój w przęśle skrajnym	Przekrój w przęsłach pozostałych	Ilość tężników w każdym przęśle	Maksymalne obciążenie obliczeniowe grawitacyjne q_g [kN/m]	Maksymalne obciążenie obliczeniowe, grawitacyjne q_g [kN/m] + siła osiowa $N=10kN$	Maksymalne obciążenie obliczeniowe, unoszące q_u [kN/m]	Maksymalne obciążenie grawitacyjne charakterystyczne ze względu na ugięcia q_{ch} [kN/m]
Z-120x1	Z-120x1	2	0,63	0,43	0,49	0,33
Z-120x1,25	Z-120x1	2	0,87	0,61	0,75	0,45
Z-120x1,5	Z-120x1,25	2	1,22	1,05	0,97	0,56
Z-120x1,75	Z-120x1,5	2	1,48	1,32	1,18	0,66
Z-120x2	Z-120x1,75	2	1,71	1,57	1,36	0,77
Z-120x2,5	Z-120x2	2	2,13	2,01	1,67	0,96
Z-120x3	Z-120x2,5	2	2,57	2,44	1,98	1,15
Z-150x1	Z-150x1	2	0,78	0,53	0,59	0,55
Z-150x1,25	Z-150x1	2	1,09	0,74	0,90	0,75
Z-150x1,5	Z-150x1,25	2	1,60	1,31	1,26	0,93
Z-150x1,75	Z-150x1,5	2	1,95	1,74	1,54	1,12
Z-150x2	Z-150x1,75	2	2,29	2,09	1,80	1,30
Z-150x2,5	Z-150x2	2	2,87	2,70	2,23	1,64
Z-150x3	Z-150x2,5	2	3,47	3,30	2,67	1,97
Z-200x1,25	Z-200x1,25	2	1,56	1,24	1,18	1,43
Z-200x1,5	Z-200x1,25	2	2,16	1,73	1,65	1,80
Z-200x1,75	Z-200x1,5	2	2,77	2,46	2,14	2,18
Z-200x2	Z-200x1,75	2	3,37	3,08	2,62	2,57
Z-200x2,5	Z-200x2	2	4,26	4,00	3,30	3,25
Z-200x3	Z-200x2,5	2	5,18	4,95	4,00	3,94
Z-250x1,5	Z-250x1,5	2	3,47	3,07	3,00	3,47
Z-250x1,75	Z-250x1,5	2	3,99	3,77	3,94	3,98
Z-250x2	Z-250x1,75	2	5,44	5,07	4,87	5,10
Z-250x2,5	Z-250x2,0	2	7,37	7,01	6,79	6,58
Z-250x3	Z-250x2,5	2	8,84	8,52	8,21	7,93

Belka 5-przęslowa, stal S350GD, poszycie z blachy Super 40, 0,60mm, 2 wkręty w faldzie, zakłady 10% i 20% liczone do śrub, dopuszczalne ugięcie L/150 - jeżeli $L \leq 6,0m$ lub L/200 - jeżeli $L > 6,0m$

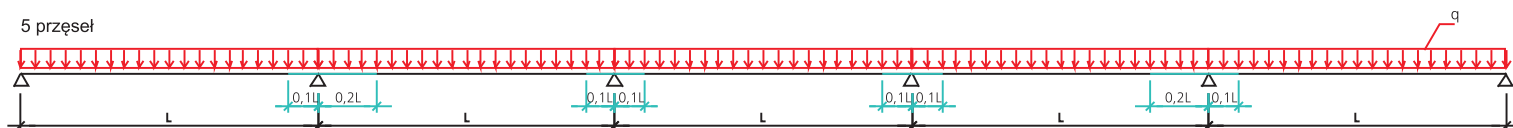
L = 6,3 m



Przekrój w przęśle skrajnym	Przekrój w przęsłach pozostałych	Ilość tężników w każdym przęśle	Maksymalne obciążenie obliczeniowe grawitacyjne q_g [kN/m]	Maksymalne obciążenie obliczeniowe, grawitacyjne q_g [kN/m] + siła osiowa $N=10kN$	Maksymalne obciążenie obliczeniowe, unoszące q_u [kN/m]	Maksymalne obciążenie grawitacyjne charakterystyczne ze względu na ugięcia q_{ch} [kN/m]
Z-120x1	Z-120x1	2	0,57	0,39	0,44	0,29
Z-120x1,25	Z-120x1	2	0,79	0,54	0,66	0,38
Z-120x1,5	Z-120x1,25	2	1,10	0,94	0,87	0,48
Z-120x1,75	Z-120x1,5	2	1,34	1,19	1,06	0,58
Z-120x2	Z-120x1,75	2	1,55	1,42	1,22	0,66
Z-120x2,5	Z-120x2	2	1,93	1,81	1,49	0,83
Z-120x3	Z-120x2,5	2	2,31	2,20	1,76	1,00
Z-150x1	Z-150x1	2	0,69	0,47	0,53	0,48
Z-150x1,25	Z-150x1	2	0,97	0,66	0,80	0,65
Z-150x1,5	Z-150x1,25	2	1,45	1,17	1,11	0,81
Z-150x1,75	Z-150x1,5	2	1,76	1,57	1,36	0,97
Z-150x2	Z-150x1,75	2	2,05	1,88	1,58	1,13
Z-150x2,5	Z-150x2	2	2,58	2,42	1,97	1,42
Z-150x3	Z-150x2,5	2	3,11	2,96	2,34	1,71
Z-200x1,25	Z-200x1,25	2	1,40	1,10	1,03	1,24
Z-200x1,5	Z-200x1,25	2	1,93	1,53	1,44	1,57
Z-200x1,75	Z-200x1,5	2	2,48	2,20	1,87	1,90
Z-200x2	Z-200x1,75	2	3,01	2,75	2,29	2,23
Z-200x2,5	Z-200x2	2	3,81	3,58	2,88	2,83
Z-200x3	Z-200x2,5	2	4,64	4,42	3,49	3,42
Z-250x1,5	Z-250x1,5	2	3,13	2,75	2,65	3,13
Z-250x1,75	Z-250x1,5	2	3,75	3,54	3,48	3,75
Z-250x2	Z-250x1,75	2	4,90	4,56	4,31	4,43
Z-250x2,5	Z-250x2,0	2	6,64	6,31	6,01	5,73
Z-250x3	Z-250x2,5	2	7,97	7,68	7,27	6,90

Belka 5-przęsłowa, stal S350GD, poszycie z blachy Super 40, 0,60mm, 2 wkręty w faldzie, zakłady 10% i 20% liczone do śrub, dopuszczalne ugięcie L/150 - jeżeli $L \leq 6,0m$ lub L/200 - jeżeli $L > 6,0m$

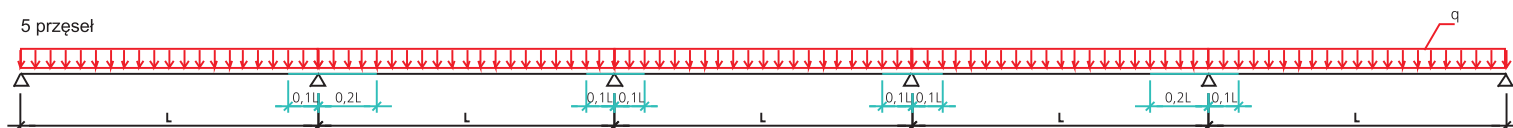
L = 6,6 m



Przekrój w przęśle skrajnym	Przekrój w przęsłach pozostałych	Ilość tężników w każdym przęśle	Maksymalne obciążenie obliczeniowe grawitacyjne q_g [kN/m]	Maksymalne obciążenie obliczeniowe, grawitacyjne q_g [kN/m] + siła osiowa $N=10kN$	Maksymalne obciążenie obliczeniowe, unoszące q_u [kN/m]	Maksymalne obciążenie grawitacyjne charakterystyczne ze względu na ugięcia q_{ch} [kN/m]
Z-120x1	Z-120x1	2	0,51	0,35	0,39	0,26
Z-120x1,25	Z-120x1	2	0,71	0,48	0,59	0,33
Z-120x1,5	Z-120x1,25	2	1,01	0,85	0,78	0,43
Z-120x1,75	Z-120x1,5	2	1,22	1,09	0,95	0,50
Z-120x2	Z-120x1,75	2	1,41	1,29	1,10	0,59
Z-120x2,5	Z-120x2	2	1,76	1,65	1,33	0,73
Z-120x3	Z-120x2,5	2	2,09	2,00	1,57	0,88
Z-150x1	Z-150x1	2	0,63	0,42	0,46	0,42
Z-150x1,25	Z-150x1	2	0,87	0,58	0,71	0,57
Z-150x1,5	Z-150x1,25	2	1,31	1,05	0,99	0,71
Z-150x1,75	Z-150x1,5	2	1,59	1,42	1,22	0,85
Z-150x2	Z-150x1,75	2	1,86	1,69	1,41	0,99
Z-150x2,5	Z-150x2	2	2,33	2,18	1,74	1,24
Z-150x3	Z-150x2,5	2	2,81	2,67	2,07	1,49
Z-200x1,25	Z-200x1,25	2	1,25	0,97	0,90	1,09
Z-200x1,5	Z-200x1,25	2	1,72	1,36	1,26	1,37
Z-200x1,75	Z-200x1,5	2	2,23	1,97	1,64	1,65
Z-200x2	Z-200x1,75	2	2,71	2,46	2,01	1,95
Z-200x2,5	Z-200x2	2	3,42	3,21	2,53	2,47
Z-200x3	Z-200x2,5	2	4,16	3,96	3,06	3,00
Z-250x1,5	Z-250x1,5	2	2,82	2,49	2,35	2,73
Z-250x1,75	Z-250x1,5	2	3,53	3,30	3,09	3,30
Z-250x2	Z-250x1,75	2	4,43	4,12	3,83	3,87
Z-250x2,5	Z-250x2,0	2	6,01	5,71	5,34	5,01
Z-250x3	Z-250x2,5	2	7,22	6,94	6,46	6,04

Belka 5-przęslowa, stal S350GD, poszycie z blachy Super 40, 0,60mm, 2 wkręty w faldzie, zakłady 10% i 20% liczone do śrub, dopuszczalne ugięcie L/150 - jeżeli $L \leq 6,0m$ lub L/200 - jeżeli $L > 6,0m$

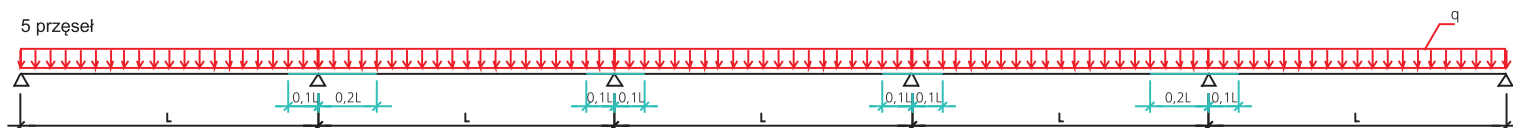
L = 6,9 m



Przekrój w przęśle skrajnym	Przekrój w przęsłach pozostałych	Ilość tężników w każdym przęśle	Maksymalne obciążenie obliczeniowe grawitacyjne q_g [kN/m]	Maksymalne obciążenie obliczeniowe, grawitacyjne q_g [kN/m] + siła osiowa $N=10kN$	Maksymalne obciążenie obliczeniowe, unoszące q_u [kN/m]	Maksymalne obciążenie grawitacyjne charakterystyczne ze względu na ugięcia q_{ch} [kN/m]
Z-120x1	Z-120x1	2	0,47	0,31	0,35	0,23
Z-120x1,25	Z-120x1	2	0,64	0,43	0,54	0,29
Z-120x1,5	Z-120x1,25	2	0,91	0,77	0,71	0,37
Z-120x1,75	Z-120x1,5	2	1,11	0,99	0,86	0,44
Z-120x2	Z-120x1,75	2	1,29	1,17	0,99	0,51
Z-120x2,5	Z-120x2	2	1,60	1,49	1,21	0,64
Z-120x3	Z-120x2,5	2	1,90	1,80	1,41	0,77
Z-150x1	Z-150x1	2	0,56	0,37	0,41	0,37
Z-150x1,25	Z-150x1	2	0,79	0,52	0,63	0,50
Z-150x1,5	Z-150x1,25	2	1,19	0,94	0,89	0,63
Z-150x1,75	Z-150x1,5	2	1,45	1,29	1,09	0,74
Z-150x2	Z-150x1,75	2	1,69	1,54	1,26	0,87
Z-150x2,5	Z-150x2	2	2,11	1,98	1,56	1,09
Z-150x3	Z-150x2,5	2	2,54	2,42	1,84	1,31
Z-200x1,25	Z-200x1,25	2	1,12	0,87	0,80	0,96
Z-200x1,5	Z-200x1,25	2	1,55	1,21	1,11	1,21
Z-200x1,75	Z-200x1,5	2	2,01	1,76	1,45	1,46
Z-200x2	Z-200x1,75	2	2,44	2,22	1,78	1,71
Z-200x2,5	Z-200x2	2	3,08	2,89	2,23	2,18
Z-200x3	Z-200x2,5	2	3,75	3,57	2,68	2,63
Z-250x1,5	Z-250x1,5	2	2,54	2,25	2,09	2,41
Z-250x1,75	Z-250x1,5	2	3,29	2,99	2,75	2,91
Z-250x2	Z-250x1,75	2	4,03	3,73	3,40	3,41
Z-250x2,5	Z-250x2,0	2	5,46	5,18	4,74	4,41
Z-250x3	Z-250x2,5	2	6,55	6,30	5,75	5,31

Belka 5-przęslowa, stal S350GD, poszycie z blachy Super 40, 0,60mm, 2 wkręty w faldzie, zakłady 10% i 20% liczone do śrub, dopuszczalne ugięcie L/150 - jeżeli $L \leq 6,0m$ lub L/200 - jeżeli $L > 6,0m$

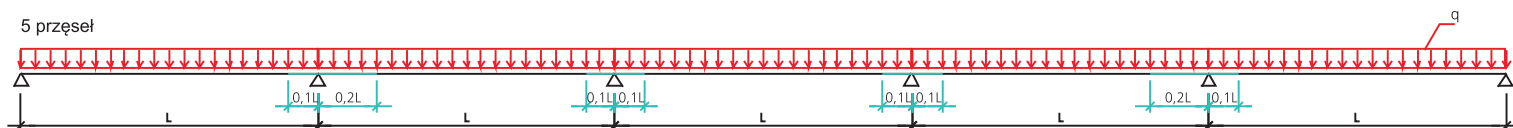
L = 7,2 m



Przekrój w przęśle skrajnym	Przekrój w przęśtach pozostałych	Ilość tężników w każdym przęśle	Maksymalne obciążenie obliczeniowe grawitacyjne q_g [kN/m]	Maksymalne obciążenie obliczeniowe, grawitacyjne q_g [kN/m] + siła osiowa $N=10kN$	Maksymalne obciążenie obliczeniowe, unoszące q_u [kN/m]	Maksymalne obciążenie grawitacyjne charakterystyczne ze względu na ugięcia q_{ch} [kN/m]
Z-120x1	Z-120x1	3	0,45	0,31	0,32	0,20
Z-120x1,25	Z-120x1	3	0,63	0,43	0,49	0,26
Z-120x1,5	Z-120x1,25	3	0,89	0,76	0,64	0,33
Z-120x1,75	Z-120x1,5	3	1,09	0,98	0,78	0,39
Z-120x2	Z-120x1,75	3	1,26	1,15	0,90	0,45
Z-120x2,5	Z-120x2	3	1,57	1,47	1,13	0,56
Z-120x3	Z-120x2,5	3	1,88	1,78	1,35	0,68
Z-150x1	Z-150x1	3	0,55	0,38	0,40	0,32
Z-150x1,25	Z-150x1	3	0,77	0,52	0,61	0,44
Z-150x1,5	Z-150x1,25	3	1,17	0,94	0,85	0,55
Z-150x1,75	Z-150x1,5	3	1,45	1,29	1,06	0,66
Z-150x2	Z-150x1,75	3	1,68	1,54	1,23	0,76
Z-150x2,5	Z-150x2	3	2,12	1,98	1,54	0,96
Z-150x3	Z-150x2,5	3	2,55	2,43	1,87	1,16
Z-200x1,25	Z-200x1,25	3	1,12	0,88	0,82	0,85
Z-200x1,5	Z-200x1,25	3	1,56	1,23	1,15	1,06
Z-200x1,75	Z-200x1,5	3	2,02	1,79	1,50	1,29
Z-200x2	Z-200x1,75	3	2,48	2,26	1,84	1,52
Z-200x2,5	Z-200x2	3	3,13	2,94	2,34	1,93
Z-200x3	Z-200x2,5	3	3,81	3,63	2,85	2,33
Z-250x1,5	Z-250x1,5	3	2,53	2,24	2,13	2,13
Z-250x1,75	Z-250x1,5	3	3,14	2,96	2,80	2,57
Z-250x2	Z-250x1,75	3	4,07	3,79	3,47	3,02
Z-250x2,5	Z-250x2,0	3	5,63	5,27	4,85	3,90
Z-250x3	Z-250x2,5	3	6,78	6,53	5,86	4,70

Belka 5-przęslowa, stal S350GD, poszycie z blachy Super 40, 0,60mm, 2 wkręty w faldzie, zakłady 10% i 20% liczone do śrub, dopuszczalne ugięcie L/150 - jeżeli $L \leq 6,0m$ lub L/200 - jeżeli $L > 6,0m$

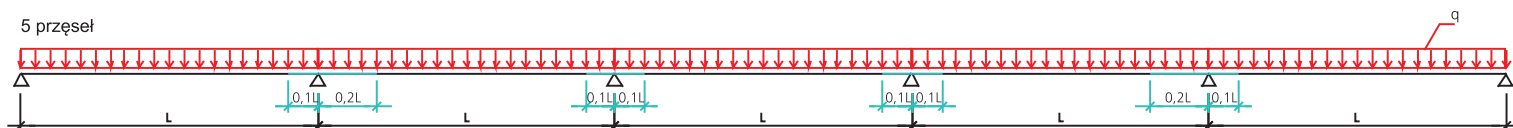
L = 7,5 m



Przekrój w przęśle skrajnym	Przekrój w przęśtach pozostałych	Ilość tężników w każdym przęśle	Maksymalne obciążenie obliczeniowe grawitacyjne q_g [kN/m]	Maksymalne obciążenie obliczeniowe, grawitacyjne q_g [kN/m] + siła osiowa $N=10kN$	Maksymalne obciążenie obliczeniowe, unoszące q_u [kN/m]	Maksymalne obciążenie grawitacyjne charakterystyczne ze względu na ugięcia q_{ch} [kN/m]
Z-120x1	Z-120x1	3	0,41	0,28	0,29	0,18
Z-120x1,25	Z-120x1	3	0,57	0,39	0,43	0,24
Z-120x1,5	Z-120x1,25	3	0,81	0,69	0,57	0,29
Z-120x1,75	Z-120x1,5	3	1,00	0,89	0,70	0,35
Z-120x2	Z-120x1,75	3	1,15	1,06	0,81	0,41
Z-120x2,5	Z-120x2	3	1,44	1,35	1,00	0,51
Z-120x3	Z-120x2,5	3	1,71	1,63	1,20	0,61
Z-150x1	Z-150x1	3	0,50	0,33	0,35	0,29
Z-150x1,25	Z-150x1	3	0,70	0,47	0,55	0,39
Z-150x1,5	Z-150x1,25	3	1,07	0,85	0,75	0,49
Z-150x1,75	Z-150x1,5	3	1,32	1,16	0,93	0,58
Z-150x2	Z-150x1,75	3	1,53	1,40	1,10	0,68
Z-150x2,5	Z-150x2	3	1,92	1,80	1,37	0,85
Z-150x3	Z-150x2,5	3	2,30	2,20	1,65	1,04
Z-200x1,25	Z-200x1,25	3	1,01	0,80	0,73	0,75
Z-200x1,5	Z-200x1,25	3	1,41	1,11	1,02	0,95
Z-200x1,75	Z-200x1,5	3	1,84	1,62	1,33	1,15
Z-200x2	Z-200x1,75	3	2,24	2,04	1,64	1,35
Z-200x2,5	Z-200x2	3	2,84	2,66	2,07	1,71
Z-200x3	Z-200x2,5	3	3,45	3,28	2,52	2,07
Z-250x1,5	Z-250x1,5	3	2,31	2,04	1,92	1,90
Z-250x1,75	Z-250x1,5	3	2,98	2,74	2,52	2,29
Z-250x2	Z-250x1,75	3	3,72	3,45	3,13	2,68
Z-250x2,5	Z-250x2,0	3	5,14	4,81	4,37	3,46
Z-250x3	Z-250x2,5	3	6,19	5,96	5,28	4,18

Belka 5-przęslowa, stal S350GD, poszycie z blachy Super 40, 0,60mm, 2 wkręty w faldzie, zakłady 10% i 20% liczone do śrub, dopuszczalne ugięcie L/150 - jeżeli $L \leq 6,0m$ lub L/200 - jeżeli $L > 6,0m$

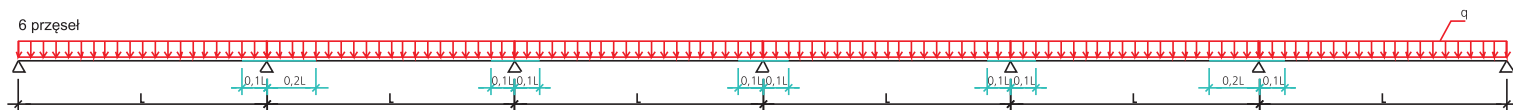
L = 7,8 m



Przekrój w przęśle skrajnym	Przekrój w przęsłach pozostałych	Ilość tężników w każdym przęśle	Maksymalne obciążenie obliczeniowe grawitacyjne q_g [kN/m]	Maksymalne obciążenie obliczeniowe, grawitacyjne q_g [kN/m] + siła osiowa $N=10kN$	Maksymalne obciążenie obliczeniowe, unoszące q_u [kN/m]	Maksymalne obciążenie grawitacyjne charakterystyczne ze względu na ugięcia q_{ch} [kN/m]
Z-120x1	Z-120x1	3	0,38	0,26	0,25	0,16
Z-120x1,25	Z-120x1	3	0,52	0,35	0,39	0,21
Z-120x1,5	Z-120x1,25	3	0,75	0,63	0,51	0,25
Z-120x1,75	Z-120x1,5	3	0,92	0,81	0,63	0,31
Z-120x2	Z-120x1,75	3	1,06	0,96	0,72	0,36
Z-120x2,5	Z-120x2	3	1,31	1,23	0,90	0,45
Z-120x3	Z-120x2,5	3	1,56	1,49	1,06	0,54
Z-150x1	Z-150x1	3	0,46	0,31	0,31	0,26
Z-150x1,25	Z-150x1	3	0,63	0,42	0,48	0,35
Z-150x1,5	Z-150x1,25	3	0,97	0,77	0,68	0,44
Z-150x1,75	Z-150x1,5	3	1,21	1,07	0,83	0,52
Z-150x2	Z-150x1,75	3	1,40	1,28	0,97	0,61
Z-150x2,5	Z-150x2	3	1,74	1,63	1,22	0,77
Z-150x3	Z-150x2,5	3	2,10	2,00	1,47	0,92
Z-200x1,25	Z-200x1,25	3	0,92	0,72	0,65	0,67
Z-200x1,5	Z-200x1,25	3	1,28	0,99	0,91	0,84
Z-200x1,75	Z-200x1,5	3	1,66	1,47	1,17	1,02
Z-200x2	Z-200x1,75	3	2,04	1,85	1,45	1,20
Z-200x2,5	Z-200x2	3	2,57	2,41	1,83	1,53
Z-200x3	Z-200x2,5	3	3,13	2,98	2,23	1,85
Z-250x1,5	Z-250x1,5	3	2,11	1,86	1,73	1,69
Z-250x1,75	Z-250x1,5	3	2,76	2,51	2,27	2,04
Z-250x2	Z-250x1,75	3	3,40	3,16	2,82	2,40
Z-250x2,5	Z-250x2,0	3	4,71	4,40	3,94	3,09
Z-250x3	Z-250x2,5	3	5,67	5,45	4,76	3,73

Belka 5-przęslowa, stal S350GD, poszycie z blachy Super 40, 0,60mm, 2 wkręty w faldzie, zakłady 10% i 20% liczone do śrub, dopuszczalne ugięcie L/150 - jeżeli $L \leq 6,0m$ lub L/200 - jeżeli $L > 6,0m$

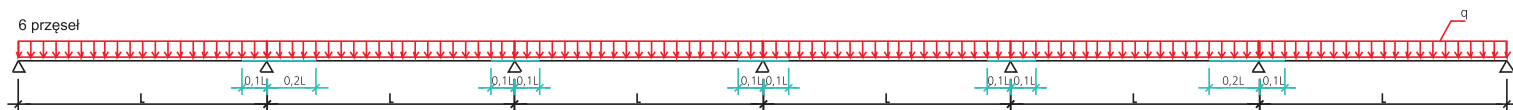
L = 8,1 m



Przekrój w przęśle skrajnym	Przekrój w przęstach pozostałych	Ilość tężników w każdym przęśle	Maksymalne obciążenie obliczeniowe grawitacyjne q_g [kN/m]	Maksymalne obciążenie obliczeniowe, grawitacyjne q_g [kN/m] + siła osiowa $N=10kN$	Maksymalne obciążenie obliczeniowe, unoszące q_u [kN/m]	Maksymalne obciążenie grawitacyjne charakterystyczne ze względu na ugięcia q_{ch} [kN/m]
Z-120x1	Z-120x1	0	1,84	1,32	2,14	1,84
Z-120x1,25	Z-120x1	0	2,14	1,37	3,14	2,14
Z-120x1,5	Z-120x1,25	0	3,10	2,40	4,06	3,10
Z-120x1,75	Z-120x1,5	0	3,97	3,34	4,87	3,97
Z-120x2	Z-120x1,75	0	4,67	4,18	5,57	4,67
Z-120x2,5	Z-120x2	0	5,50	4,96	6,79	5,50
Z-120x3	Z-120x2,5	0	6,74	6,25	7,96	6,74
Z-150x1	Z-150x1	0	2,22	1,46	2,60	2,22
Z-150x1,25	Z-150x1	0	2,49	1,46	3,86	2,49
Z-150x1,5	Z-150x1,25	0	3,66	2,73	5,21	3,66
Z-150x1,75	Z-150x1,5	0	4,86	4,00	6,30	4,87
Z-150x2	Z-150x1,75	0	5,86	5,08	7,24	5,86
Z-150x2,5	Z-150x2	0	6,82	6,08	8,92	6,82
Z-150x3	Z-150x2,5	0	8,43	7,76	10,56	8,43
Z-200x1,25	Z-200x1,25	0	4,21	3,21	5,17	4,21
Z-200x1,5	Z-200x1,25	0	4,59	3,21	6,50	4,59
Z-200x1,75	Z-200x1,5	0	6,16	4,88	8,88	6,15
Z-200x2	Z-200x1,75	0	7,72	6,51	10,64	7,71
Z-200x2,5	Z-200x2	0	9,29	8,14	13,26	9,30
Z-200x3	Z-200x2,5	0	11,65	10,63	15,84	11,65
Z-250x1,5	Z-250x1,5	0	8,59	7,62	9,45	8,60
Z-250x1,75	Z-250x1,5	0	9,46	9,11	9,46	9,47
Z-250x2,0	Z-250x1,75	0	12,42	11,58	16,07	12,42
Z-250x2,5	Z-250x2,0	0	15,88	14,50	22,68	15,88
Z-250x3	Z-250x2,5	0	19,11	18,42	33,63	19,11

Belka 6-przęslowa, stal S350GD, poszycie z blachy Super 40, 0,60mm, 2 wkręty w faldzie, zakłady 10% i 20% liczone do śrub, dopuszczalne ugięcie L/150 - jeżeli $L \leq 6,0m$ lub L/200 - jeżeli $L > 6,0m$

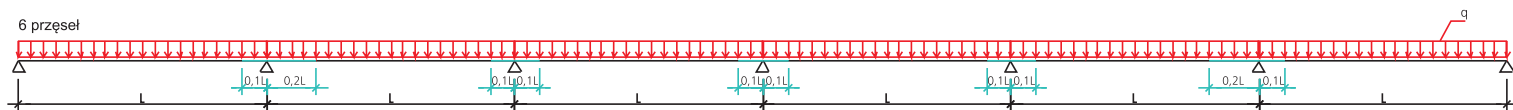
L = 3,0 m



Przekrój w przęśle skrajnym	Przekrój w przęstach pozostałych	Ilość tężników w każdym przęśle	Maksymalne obciążenie obliczeniowe grawitacyjne q_g [kN/m]	Maksymalne obciążenie obliczeniowe, grawitacyjne q_g [kN/m] + siła osiowa $N=10kN$	Maksymalne obciążenie obliczeniowe, unoszące q_u [kN/m]	Maksymalne obciążenie grawitacyjne charakterystyczne ze względu na ugięcia q_{ch} [kN/m]
Z-120x1	Z-120x1	0	1,58	1,13	1,78	1,59
Z-120x1,25	Z-120x1	0	1,81	1,15	2,64	1,81
Z-120x1,5	Z-120x1,25	0	2,64	2,04	3,41	2,64
Z-120x1,75	Z-120x1,5	0	3,39	2,85	4,10	3,40
Z-120x2	Z-120x1,75	0	4,07	3,57	4,68	4,07
Z-120x2,5	Z-120x2	0	4,69	4,23	5,67	4,69
Z-120x3	Z-120x2,5	0	5,72	5,29	6,63	5,72
Z-150x1	Z-150x1	0	1,88	1,19	2,12	1,87
Z-150x1,25	Z-150x1	0	2,06	1,19	3,17	2,06
Z-150x1,5	Z-150x1,25	0	3,05	2,27	4,30	3,06
Z-150x1,75	Z-150x1,5	0	4,08	3,35	5,20	4,08
Z-150x2	Z-150x1,75	0	4,93	4,25	5,97	4,93
Z-150x2,5	Z-150x2	0	5,71	5,07	7,33	5,70
Z-150x3	Z-150x2,5	0	7,02	6,44	8,63	7,01
Z-200x1,25	Z-200x1,25	0	3,49	2,50	4,12	3,50
Z-200x1,5	Z-200x1,25	0	3,68	2,50	5,62	3,68
Z-200x1,75	Z-200x1,5	0	4,96	3,87	7,13	4,97
Z-200x2	Z-200x1,75	0	6,24	5,20	8,55	6,24
Z-200x2,5	Z-200x2	0	7,50	6,52	10,62	7,50
Z-200x3	Z-200x2,5	0	9,34	8,46	12,64	9,34
Z-250x1,5	Z-250x1,5	0	7,08	6,26	8,44	7,09
Z-250x1,75	Z-250x1,5	0	8,39	7,11	8,61	8,39
Z-250x2,0	Z-250x1,75	0	10,27	9,23	14,37	10,26
Z-250x2,5	Z-250x2,0	0	12,55	11,36	20,14	12,55
Z-250x3	Z-250x2,5	0	15,79	15,20	26,84	15,78

Belka 6-przęsłowa, stal S350GD, poszycie z blachy Super 40, 0,60mm, 2 wkręty w faldzie, zakłady 10% i 20% liczone do śrub, dopuszczalne ugięcie L/150 - jeżeli $L \leq 6,0m$ lub L/200 - jeżeli $L > 6,0m$

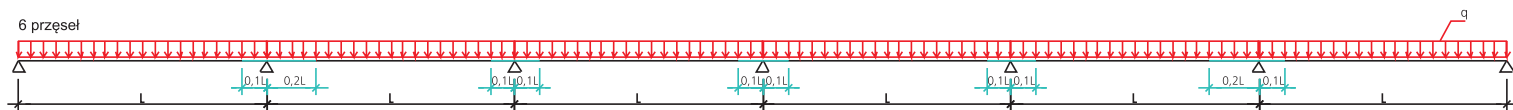
L = 3,3 m



Przekrój w przęśle skrajnym	Przekrój w przęstach pozostałych	Ilość tężników w każdym przęśle	Maksymalne obciążenie obliczeniowe grawitacyjne q_g [kN/m]	Maksymalne obciążenie obliczeniowe, grawitacyjne q_g [kN/m] + siła osiowa $N=10kN$	Maksymalne obciążenie obliczeniowe, unoszące q_u [kN/m]	Maksymalne obciążenie grawitacyjne charakterystyczne ze względu na ugięcia q_{ch} [kN/m]
Z-120x1	Z-120x1	0	1,39	0,99	1,50	1,39
Z-120x1,25	Z-120x1	0	1,57	0,99	2,24	1,56
Z-120x1,5	Z-120x1,25	0	2,30	1,78	2,92	2,30
Z-120x1,75	Z-120x1,5	0	2,97	2,49	3,51	2,96
Z-120x2	Z-120x1,75	0	3,55	3,12	4,00	3,56
Z-120x2,5	Z-120x2	0	4,08	3,68	4,84	4,09
Z-120x3	Z-120x2,5	0	4,96	4,60	5,62	4,96
Z-150x1	Z-150x1	0	1,61	0,99	1,76	1,62
Z-150x1,25	Z-150x1	0	1,75	0,99	2,65	1,74
Z-150x1,5	Z-150x1,25	0	2,61	1,93	3,61	2,61
Z-150x1,75	Z-150x1,5	0	3,50	2,87	4,38	3,50
Z-150x2	Z-150x1,75	0	4,23	3,64	5,02	4,23
Z-150x2,5	Z-150x2	0	4,89	4,34	6,13	4,89
Z-150x3	Z-150x2,5	0	5,98	5,49	7,19	5,98
Z-200x1,25	Z-200x1,25	0	2,96	2,04	3,35	2,96
Z-200x1,5	Z-200x1,25	0	3,05	2,04	4,59	3,05
Z-200x1,75	Z-200x1,5	0	4,14	3,20	5,84	4,14
Z-200x2	Z-200x1,75	0	5,21	4,32	7,00	5,20
Z-200x2,5	Z-200x2	0	6,25	5,40	8,67	6,25
Z-200x3	Z-200x2,5	0	7,73	6,98	10,29	7,74
Z-250x1,5	Z-250x1,5	0	5,92	5,21	7,60	5,92
Z-250x1,75	Z-250x1,5	0	6,70	5,54	7,88	6,70
Z-250x2,0	Z-250x1,75	0	8,39	7,29	12,95	8,39
Z-250x2,5	Z-250x2,0	0	10,08	9,04	17,93	10,09
Z-250x3	Z-250x2,5	0	13,28	12,36	21,73	13,28

Belka 6-przęslowa, stal S350GD, poszycie z blachy Super 40, 0,60mm, 2 wkręty w faldzie, zakłady 10% i 20% liczone do śrub, dopuszczalne ugięcie L/150 - jeżeli $L \leq 6,0m$ lub L/200 - jeżeli $L > 6,0m$

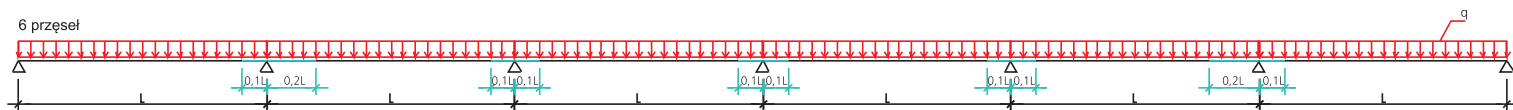
L = 3,6 m



Przekrój w przęśle skrajnym	Przekrój w przęstach pozostałych	Ilość tężników w każdym przęśle	Maksymalne obciążenie obliczeniowe grawitacyjne q_g [kN/m]	Maksymalne obciążenie obliczeniowe, grawitacyjne q_g [kN/m] + siła osiowa $N=10kN$	Maksymalne obciążenie obliczeniowe, unoszące q_u [kN/m]	Maksymalne obciążenie grawitacyjne charakterystyczne ze względu na ugięcia q_{ch} [kN/m]
Z-120x1	Z-120x1	0	1,23	0,86	1,29	1,24
Z-120x1,25	Z-120x1	0	1,37	0,86	1,94	1,37
Z-120x1,5	Z-120x1,25	0	2,03	1,58	2,53	2,03
Z-120x1,75	Z-120x1,5	0	2,63	2,21	3,05	2,63
Z-120x2	Z-120x1,75	0	3,16	2,77	3,47	3,16
Z-120x2,5	Z-120x2	0	3,62	3,26	4,19	3,62
Z-120x3	Z-120x2,5	0	4,38	4,05	4,84	4,38
Z-150x1	Z-150x1	0	1,42	0,85	1,48	1,42
Z-150x1,25	Z-150x1	0	1,51	0,85	2,26	1,51
Z-150x1,5	Z-150x1,25	0	2,27	1,68	3,09	2,27
Z-150x1,75	Z-150x1,5	0	3,07	2,51	3,75	3,07
Z-150x2	Z-150x1,75	0	3,71	3,19	4,29	3,71
Z-150x2,5	Z-150x2	0	4,27	3,80	5,22	4,27
Z-150x3	Z-150x2,5	0	5,21	4,78	6,09	5,21
Z-200x1,25	Z-200x1,25	0	2,56	1,71	2,77	2,56
Z-200x1,5	Z-200x1,25	0	2,58	1,71	3,82	2,59
Z-200x1,75	Z-200x1,5	0	3,53	2,71	4,86	3,53
Z-200x2	Z-200x1,75	0	4,45	3,67	5,84	4,45
Z-200x2,5	Z-200x2	0	5,34	4,59	7,20	5,34
Z-200x3	Z-200x2,5	0	6,58	5,91	8,51	6,57
Z-250x1,5	Z-250x1,5	0	5,03	4,40	6,67	5,03
Z-250x1,75	Z-250x1,5	0	5,44	4,42	7,20	5,45
Z-250x2,0	Z-250x1,75	0	6,85	5,87	10,67	6,85
Z-250x2,5	Z-250x2,0	0	8,25	7,32	14,72	8,25
Z-250x3	Z-250x2,5	0	10,90	10,04	17,81	10,90

Belka 6-przęslowa, stal S350GD, poszycie z blachy Super 40, 0,60mm, 2 wkręty w faldzie, zakłady 10% i 20% liczone do śrub, dopuszczalne ugięcie L/150 - jeżeli $L \leq 6,0m$ lub L/200 - jeżeli $L > 6,0m$

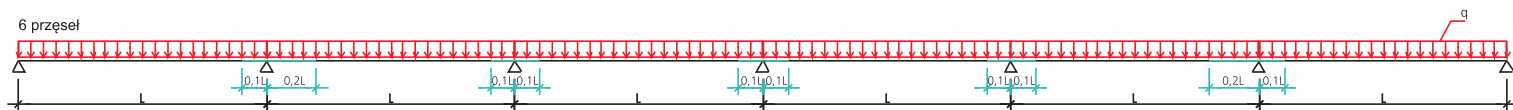
L = 3,9 m



Przekrój w przęśle skrajnym	Przekrój w przęstach pozostałych	Ilość tężników w każdym przęśle	Maksymalne obciążenie obliczeniowe grawitacyjne q_g [kN/m]	Maksymalne obciążenie obliczeniowe, grawitacyjne q_g [kN/m] + siła osiowa $N=10kN$	Maksymalne obciążenie obliczeniowe, unoszące q_u [kN/m]	Maksymalne obciążenie grawitacyjne charakterystyczne ze względu na ugięcia q_{ch} [kN/m]
Z-120x1	Z-120x1	1	1,26	0,93	1,14	1,26
Z-120x1,25	Z-120x1	1	1,63	1,17	1,70	1,62
Z-120x1,5	Z-120x1,25	1	2,30	1,91	2,22	2,29
Z-120x1,75	Z-120x1,5	1	2,77	2,51	2,68	2,76
Z-120x2	Z-120x1,75	1	3,22	2,98	3,08	3,22
Z-120x2,5	Z-120x2	1	4,02	3,81	3,77	4,02
Z-120x3	Z-120x2,5	1	4,86	4,66	4,45	4,85
Z-150x1	Z-150x1	1	1,60	1,17	1,39	1,61
Z-150x1,25	Z-150x1	1	2,06	1,47	2,10	2,06
Z-150x1,5	Z-150x1,25	1	2,97	2,43	2,88	2,98
Z-150x1,75	Z-150x1,5	1	3,66	3,33	3,50	3,67
Z-150x2	Z-150x1,75	1	4,28	3,97	4,07	4,29
Z-150x2,5	Z-150x2	1	5,39	5,12	5,04	5,39
Z-150x3	Z-150x2,5	1	6,55	6,29	6,02	6,56
Z-200x1,25	Z-200x1,25	1	3,17	2,61	2,79	3,17
Z-200x1,5	Z-200x1,25	1	4,09	3,31	3,84	4,09
Z-200x1,75	Z-200x1,5	1	5,25	4,74	4,94	5,25
Z-200x2	Z-200x1,75	1	6,34	5,87	6,01	6,33
Z-200x2,5	Z-200x2	1	8,01	7,61	7,57	8,02
Z-200x3	Z-200x2,5	1	9,79	9,42	9,14	9,79
Z-250x1,5	Z-250x1,5	1	6,28	5,79	6,27	6,27
Z-250x1,75	Z-250x1,5	1	6,58	6,29	6,58	6,58
Z-250x2,0	Z-250x1,75	1	9,72	9,09	10,64	9,72
Z-250x2,5	Z-250x2,0	1	12,85	12,27	14,71	12,85
Z-250x3	Z-250x2,5	1	15,37	14,84	19,92	15,37

Belka 6-przęslowa, stal S350GD, poszycie z blachy Super 40, 0,60mm, 2 wkręty w faldzie, zakłady 10% i 20% liczone do śrub, dopuszczalne ugięcie L/150 - jeżeli $L \leq 6,0m$ lub L/200 - jeżeli $L > 6,0m$

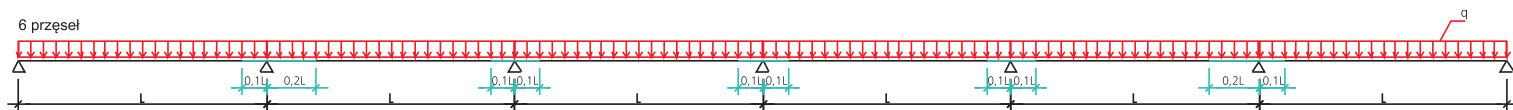
L = 4,2 m



Przekrój w przęśle skrajnym	Przekrój w przęstach pozostałych	Ilość tężników w każdym przęśle	Maksymalne obciążenie obliczeniowe grawitacyjne q_g [kN/m]	Maksymalne obciążenie obliczeniowe, grawitacyjne q_g [kN/m] + siła osiowa $N=10kN$	Maksymalne obciążenie obliczeniowe, unoszące q_u [kN/m]	Maksymalne obciążenie grawitacyjne charakterystyczne ze względu na ugięcia q_{ch} [kN/m]
Z-120x1	Z-120x1	1	1,10	0,81	0,96	1,10
Z-120x1,25	Z-120x1	1	1,40	1,00	1,44	1,40
Z-120x1,5	Z-120x1,25	1	2,01	1,65	1,89	2,01
Z-120x1,75	Z-120x1,5	1	2,42	2,20	2,27	2,42
Z-120x2	Z-120x1,75	1	2,82	2,61	2,61	2,81
Z-120x2,5	Z-120x2	1	3,51	3,32	3,18	3,51
Z-120x3	Z-120x2,5	1	4,23	4,05	3,74	4,23
Z-150x1	Z-150x1	1	1,39	1,00	1,14	1,38
Z-150x1,25	Z-150x1	1	1,76	1,23	1,74	1,75
Z-150x1,5	Z-150x1,25	1	2,55	2,07	2,40	2,55
Z-150x1,75	Z-150x1,5	1	3,18	2,89	2,92	3,19
Z-150x2	Z-150x1,75	1	3,72	3,45	3,38	3,73
Z-150x2,5	Z-150x2	1	4,67	4,42	4,17	4,68
Z-150x3	Z-150x2,5	1	5,68	5,44	4,96	5,67
Z-200x1,25	Z-200x1,25	1	2,73	2,23	2,26	2,73
Z-200x1,5	Z-200x1,25	1	3,48	2,79	3,12	3,47
Z-200x1,75	Z-200x1,5	1	4,53	4,02	4,02	4,53
Z-200x2	Z-200x1,75	1	5,47	5,06	4,90	5,47
Z-200x2,5	Z-200x2	1	6,92	6,49	6,15	6,92
Z-200x3	Z-200x2,5	1	8,45	8,12	7,41	8,45
Z-250x1,5	Z-250x1,5	1	5,65	5,06	5,75	5,66
Z-250x1,75	Z-250x1,5	1	6,05	5,78	6,05	6,05
Z-250x2,0	Z-250x1,75	1	8,48	7,93	9,72	8,47
Z-250x2,5	Z-250x2,0	1	11,20	10,70	13,39	11,20
Z-250x3	Z-250x2,5	1	13,40	12,94	16,63	13,40

Belka 6-przęsłowa, stal S350GD, poszycie z blachy Super 40, 0,60mm, 2 wkręty w faldzie, zakłady 10% i 20% liczone do śrub, dopuszczalne ugięcie L/150 - jeżeli $L \leq 6,0m$ lub L/200 - jeżeli $L > 6,0m$

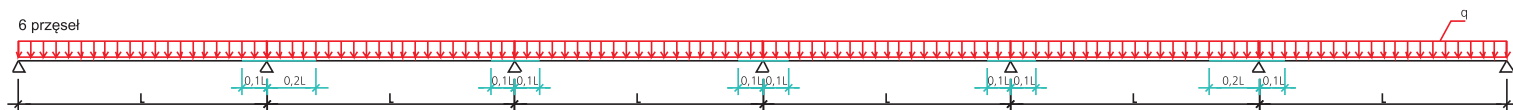
L = 4,5 m



Przekrój w przęśle skrajnym	Przekrój w przęstach pozostałych	Ilość tężników w każdym przęśle	Maksymalne obciążenie obliczeniowe grawitacyjne q_g [kN/m]	Maksymalne obciążenie obliczeniowe, grawitacyjne q_g [kN/m] + siła osiowa $N=10kN$	Maksymalne obciążenie obliczeniowe, unoszące q_u [kN/m]	Maksymalne obciążenie grawitacyjne charakterystyczne ze względu na ugięcia q_{ch} [kN/m]
Z-120x1	Z-120x1	1	0,97	0,71	0,83	0,97
Z-120x1,25	Z-120x1	1	1,22	0,86	1,24	1,21
Z-120x1,5	Z-120x1,25	1	1,76	1,43	1,63	1,70
Z-120x1,75	Z-120x1,5	1	2,14	1,94	1,96	2,02
Z-120x2	Z-120x1,75	1	2,49	2,30	2,25	2,35
Z-120x2,5	Z-120x2	1	3,09	2,90	2,73	2,94
Z-120x3	Z-120x2,5	1	3,71	3,56	3,18	3,53
Z-150x1	Z-150x1	1	1,21	0,87	0,96	1,20
Z-150x1,25	Z-150x1	1	1,52	1,05	1,47	1,51
Z-150x1,5	Z-150x1,25	1	2,21	1,78	2,03	2,21
Z-150x1,75	Z-150x1,5	1	2,80	2,53	2,47	2,79
Z-150x2	Z-150x1,75	1	3,27	3,02	2,85	3,27
Z-150x2,5	Z-150x2	1	4,09	3,83	3,50	4,10
Z-150x3	Z-150x2,5	1	4,96	4,75	4,14	4,96
Z-200x1,25	Z-200x1,25	1	2,37	1,93	1,85	2,37
Z-200x1,5	Z-200x1,25	1	2,98	2,36	2,56	2,98
Z-200x1,75	Z-200x1,5	1	3,95	3,42	3,30	3,95
Z-200x2	Z-200x1,75	1	4,76	4,39	4,03	4,76
Z-200x2,5	Z-200x2	1	6,01	5,57	5,04	6,02
Z-200x3	Z-200x2,5	1	7,34	7,04	6,07	7,33
Z-250x1,5	Z-250x1,5	1	4,98	4,44	5,10	4,98
Z-250x1,75	Z-250x1,5	1	5,59	5,33	5,59	5,59
Z-250x2,0	Z-250x1,75	1	7,46	6,98	8,24	7,46
Z-250x2,5	Z-250x2,0	1	9,87	9,35	11,47	9,86
Z-250x3	Z-250x2,5	1	11,79	11,38	13,92	11,79

Belka 6-przęslowa, stal S350GD, poszycie z blachy Super 40, 0,60mm, 2 wkręty w faldzie, zakłady 10% i 20% liczone do śrub, dopuszczalne ugięcie L/150 - jeżeli $L \leq 6,0m$ lub L/200 - jeżeli $L > 6,0m$

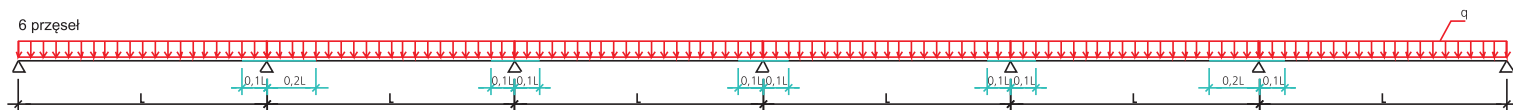
L = 4,8 m



Przekrój w przęśle skrajnym	Przekrój w przęstach pozostałych	Ilość tężników w każdym przęśle	Maksymalne obciążenie obliczeniowe grawitacyjne q_g [kN/m]	Maksymalne obciążenie obliczeniowe, grawitacyjne q_g [kN/m] + siła osiowa $N=10kN$	Maksymalne obciążenie obliczeniowe, unoszące q_u [kN/m]	Maksymalne obciążenie grawitacyjne charakterystyczne ze względu na ugięcia q_{ch} [kN/m]
Z-120x1	Z-120x1	1	0,86	0,62	0,72	0,86
Z-120x1,25	Z-120x1	1	1,07	0,75	1,09	1,07
Z-120x1,5	Z-120x1,25	1	1,55	1,25	1,42	1,41
Z-120x1,75	Z-120x1,5	1	1,91	1,73	1,72	1,68
Z-120x2	Z-120x1,75	1	2,22	2,05	1,96	1,96
Z-120x2,5	Z-120x2	1	2,75	2,56	2,37	2,45
Z-120x3	Z-120x2,5	1	3,30	3,15	2,74	2,94
Z-150x1	Z-150x1	1	1,06	0,76	0,82	1,06
Z-150x1,25	Z-150x1	1	1,31	0,90	1,26	1,31
Z-150x1,5	Z-150x1,25	1	1,93	1,54	1,74	1,93
Z-150x1,75	Z-150x1,5	1	2,47	2,21	2,12	2,48
Z-150x2	Z-150x1,75	1	2,89	2,66	2,43	2,89
Z-150x2,5	Z-150x2	1	3,62	3,34	2,98	3,62
Z-150x3	Z-150x2,5	1	4,37	4,19	3,50	4,37
Z-200x1,25	Z-200x1,25	1	2,07	1,67	1,53	2,07
Z-200x1,5	Z-200x1,25	1	2,57	2,02	2,14	2,57
Z-200x1,75	Z-200x1,5	1	3,45	2,95	2,75	3,45
Z-200x2	Z-200x1,75	1	4,17	3,84	3,35	4,18
Z-200x2,5	Z-200x2	1	5,27	4,81	4,17	5,27
Z-200x3	Z-200x2,5	1	6,42	6,16	5,01	6,42
Z-250x1,5	Z-250x1,5	1	4,41	3,94	4,28	4,42
Z-250x1,75	Z-250x1,5	1	5,19	4,94	5,19	5,18
Z-250x2,0	Z-250x1,75	1	6,62	6,19	6,93	6,62
Z-250x2,5	Z-250x2,0	1	8,73	8,14	9,64	8,73
Z-250x3	Z-250x2,5	1	10,46	10,10	11,69	10,46

Belka 6-przęslowa, stal S350GD, poszycie z blachy Super 40, 0,60mm, 2 wkręty w faldzie, zakłady 10% i 20% liczone do śrub, dopuszczalne ugięcie L/150 - jeżeli $L \leq 6,0m$ lub L/200 - jeżeli $L > 6,0m$

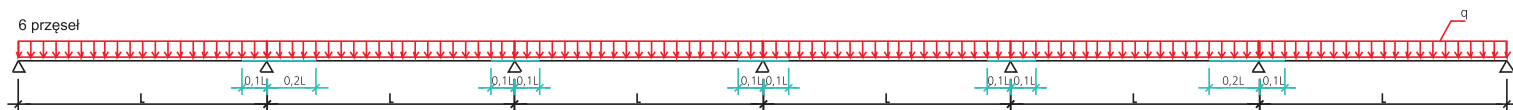
L = 5,1 m



Przekrój w przęśle skrajnym	Przekrój w przęsłach pozostałych	Ilość tężników w każdym przęśle	Maksymalne obciążenie obliczeniowe grawitacyjne q_g [kN/m]	Maksymalne obciążenie obliczeniowe, grawitacyjne q_g [kN/m] + siła osiowa $N=10kN$	Maksymalne obciążenie obliczeniowe, unoszące q_u [kN/m]	Maksymalne obciążenie grawitacyjne charakterystyczne ze względu na ugięcia q_{ch} [kN/m]
Z-120x1	Z-120x1	1	0,77	0,55	0,63	0,73
Z-120x1,25	Z-120x1	1	0,95	0,66	0,97	0,95
Z-120x1,5	Z-120x1,25	1	1,37	1,12	1,26	1,19
Z-120x1,75	Z-120x1,5	1	1,73	1,53	1,52	1,42
Z-120x2	Z-120x1,75	1	2,00	1,84	1,73	1,65
Z-120x2,5	Z-120x2	1	2,47	2,28	2,07	2,07
Z-120x3	Z-120x2,5	1	2,95	2,83	2,40	2,47
Z-150x1	Z-150x1	1	0,94	0,66	0,70	0,93
Z-150x1,25	Z-150x1	1	1,15	0,78	1,09	1,15
Z-150x1,5	Z-150x1,25	1	1,69	1,35	1,51	1,70
Z-150x1,75	Z-150x1,5	1	2,21	1,94	1,84	2,21
Z-150x2	Z-150x1,75	1	2,58	2,37	2,12	2,58
Z-150x2,5	Z-150x2	1	3,21	2,93	2,57	3,22
Z-150x3	Z-150x2,5	1	3,88	3,71	3,00	3,88
Z-200x1,25	Z-200x1,25	1	1,82	1,46	1,28	1,82
Z-200x1,5	Z-200x1,25	1	2,24	1,74	1,79	2,23
Z-200x1,75	Z-200x1,5	1	3,01	2,55	2,32	3,00
Z-200x2	Z-200x1,75	1	3,69	3,35	2,82	3,69
Z-200x2,5	Z-200x2	1	4,60	4,18	3,50	4,60
Z-200x3	Z-200x2,5	1	5,66	5,42	4,18	5,66
Z-250x1,5	Z-250x1,5	1	3,91	3,48	3,61	3,90
Z-250x1,75	Z-250x1,5	1	4,82	4,46	4,72	4,82
Z-250x2,0	Z-250x1,75	1	5,87	5,49	5,84	5,87
Z-250x2,5	Z-250x2,0	1	7,67	7,13	8,13	7,67
Z-250x3	Z-250x2,5	1	9,28	8,96	9,86	9,29

Belka 6-przęslowa, stal S350GD, poszycie z blachy Super 40, 0,60mm, 2 wkręty w faldzie, zakłady 10% i 20% liczone do śrub, dopuszczalne ugięcie L/150 - jeżeli $L \leq 6,0m$ lub L/200 - jeżeli $L > 6,0m$

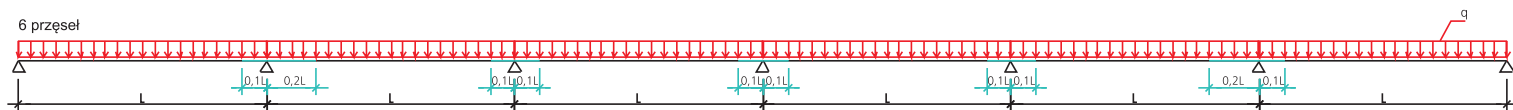
L = 5,4 m



Przekrój w przęśle skrajnym	Przekrój w przęstach pozostałych	Ilość tężników w każdym przęśle	Maksymalne obciążenie obliczeniowe grawitacyjne q_g [kN/m]	Maksymalne obciążenie obliczeniowe, grawitacyjne q_g [kN/m] + siła osiowa $N=10kN$	Maksymalne obciążenie obliczeniowe, unoszące q_u [kN/m]	Maksymalne obciążenie grawitacyjne charakterystyczne ze względu na ugięcia q_{ch} [kN/m]
Z-120x1	Z-120x1	2	0,79	0,56	0,63	0,62
Z-120x1,25	Z-120x1	2	1,04	0,73	0,95	0,82
Z-120x1,5	Z-120x1,25	2	1,49	1,24	1,25	1,01
Z-120x1,75	Z-120x1,5	2	1,81	1,62	1,52	1,21
Z-120x2	Z-120x1,75	2	2,11	1,93	1,75	1,40
Z-120x2,5	Z-120x2	2	2,63	2,48	2,18	1,76
Z-120x3	Z-120x2,5	2	3,17	3,02	2,59	2,10
Z-150x1	Z-150x1	2	0,98	0,68	0,78	0,99
Z-150x1,25	Z-150x1	2	1,31	0,91	1,19	1,31
Z-150x1,5	Z-150x1,25	2	1,94	1,57	1,64	1,71
Z-150x1,75	Z-150x1,5	2	2,42	2,17	2,02	2,03
Z-150x2	Z-150x1,75	2	2,83	2,60	2,35	2,36
Z-150x2,5	Z-150x2	2	3,55	3,34	2,93	2,97
Z-150x3	Z-150x2,5	2	4,30	4,11	3,52	3,58
Z-200x1,25	Z-200x1,25	2	1,99	1,59	1,59	1,99
Z-200x1,5	Z-200x1,25	2	2,63	2,11	2,21	2,63
Z-200x1,75	Z-200x1,5	2	3,44	3,08	2,85	3,45
Z-200x2	Z-200x1,75	2	4,19	3,85	3,50	4,19
Z-200x2,5	Z-200x2	2	5,31	5,00	4,42	5,30
Z-200x3	Z-200x2,5	2	6,46	6,19	5,36	6,46
Z-250x1,5	Z-250x1,5	2	4,21	3,82	3,88	4,21
Z-250x1,75	Z-250x1,5	2	4,50	4,28	4,50	4,50
Z-250x2,0	Z-250x1,75	2	6,71	6,25	6,30	6,71
Z-250x2,5	Z-250x2,0	2	8,93	8,33	8,78	8,93
Z-250x3	Z-250x2,5	2	10,89	10,50	10,62	10,89

Belka 6-przęslowa, stal S350GD, poszycie z blachy Super 40, 0,60mm, 2 wkręty w faldzie, zakłady 10% i 20% liczone do śrub, dopuszczalne ugięcie L/150 - jeżeli $L \leq 6,0m$ lub L/200 - jeżeli $L > 6,0m$

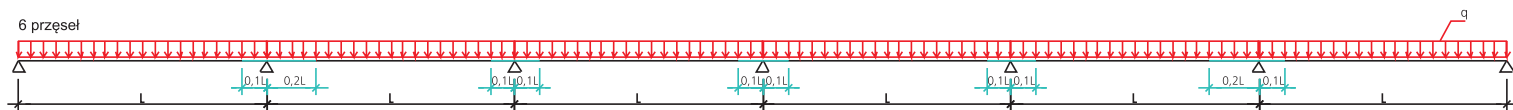
L = 5,7 m



Przekrój w przęśle skrajnym	Przekrój w przęstach pozostałych	Ilość tężników w każdym przęśle	Maksymalne obciążenie obliczeniowe grawitacyjne q_g [kN/m]	Maksymalne obciążenie obliczeniowe, grawitacyjne q_g [kN/m] + siła osiowa $N=10kN$	Maksymalne obciążenie obliczeniowe, unoszące q_u [kN/m]	Maksymalne obciążenie grawitacyjne charakterystyczne ze względu na ugięcia q_{ch} [kN/m]
Z-120x1	Z-120x1	2	0,70	0,49	0,56	0,53
Z-120x1,25	Z-120x1	2	0,93	0,65	0,84	0,70
Z-120x1,5	Z-120x1,25	2	1,33	1,09	1,10	0,87
Z-120x1,75	Z-120x1,5	2	1,62	1,45	1,34	1,03
Z-120x2	Z-120x1,75	2	1,89	1,72	1,55	1,21
Z-120x2,5	Z-120x2	2	2,35	2,21	1,90	1,51
Z-120x3	Z-120x2,5	2	2,83	2,70	2,26	1,81
Z-150x1	Z-150x1	2	0,87	0,60	0,68	0,87
Z-150x1,25	Z-150x1	2	1,16	0,80	1,04	1,16
Z-150x1,5	Z-150x1,25	2	1,72	1,38	1,44	1,47
Z-150x1,75	Z-150x1,5	2	2,15	1,93	1,77	1,74
Z-150x2	Z-150x1,75	2	2,52	2,31	2,05	2,02
Z-150x2,5	Z-150x2	2	3,17	2,98	2,56	2,55
Z-150x3	Z-150x2,5	2	3,82	3,66	3,07	3,08
Z-200x1,25	Z-200x1,25	2	1,76	1,40	1,37	1,76
Z-200x1,5	Z-200x1,25	2	2,33	1,85	1,91	2,33
Z-200x1,75	Z-200x1,5	2	3,06	2,73	2,47	3,06
Z-200x2	Z-200x1,75	2	3,73	3,41	3,03	3,72
Z-200x2,5	Z-200x2	2	4,71	4,44	3,82	4,71
Z-200x3	Z-200x2,5	2	5,74	5,48	4,64	5,73
Z-250x1,5	Z-250x1,5	2	3,85	3,41	3,41	3,84
Z-250x1,75	Z-250x1,5	2	4,21	3,99	4,21	4,21
Z-250x2,0	Z-250x1,75	2	5,99	5,58	5,54	5,98
Z-250x2,5	Z-250x2,0	2	7,97	7,44	7,73	7,97
Z-250x3	Z-250x2,5	2	9,73	9,38	9,35	9,74

Belka 6-przęslowa, stal S350GD, poszycie z blachy Super 40, 0,60mm, 2 wkręty w faldzie, zakłady 10% i 20% liczone do śrub, dopuszczalne ugięcie L/150 - jeżeli $L \leq 6,0m$ lub L/200 - jeżeli $L > 6,0m$

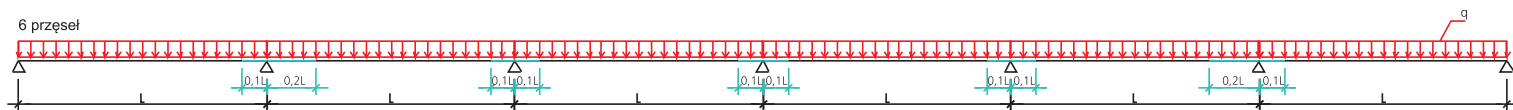
L = 6,0 m



Przekrój w przęśle skrajnym	Przekrój w przęstach pozostałych	Ilość tężników w każdym przęśle	Maksymalne obciążenie obliczeniowe grawitacyjne q_g [kN/m]	Maksymalne obciążenie obliczeniowe, grawitacyjne q_g [kN/m] + siła osiowa $N=10kN$	Maksymalne obciążenie obliczeniowe, unoszące q_u [kN/m]	Maksymalne obciążenie grawitacyjne charakterystyczne ze względu na ugięcia q_{ch} [kN/m]
Z-120x1	Z-120x1	2	0,63	0,43	0,49	0,34
Z-120x1,25	Z-120x1	2	0,83	0,57	0,74	0,45
Z-120x1,5	Z-120x1,25	2	1,21	0,98	0,98	0,56
Z-120x1,75	Z-120x1,5	2	1,46	1,30	1,19	0,67
Z-120x2	Z-120x1,75	2	1,69	1,55	1,37	0,77
Z-120x2,5	Z-120x2	2	2,11	1,98	1,68	0,97
Z-120x3	Z-120x2,5	2	2,53	2,41	1,99	1,17
Z-150x1	Z-150x1	2	0,78	0,52	0,59	0,56
Z-150x1,25	Z-150x1	2	1,03	0,70	0,91	0,75
Z-150x1,5	Z-150x1,25	2	1,54	1,24	1,26	0,94
Z-150x1,75	Z-150x1,5	2	1,93	1,72	1,55	1,13
Z-150x2	Z-150x1,75	2	2,26	2,07	1,80	1,31
Z-150x2,5	Z-150x2	2	2,83	2,66	2,24	1,65
Z-150x3	Z-150x2,5	2	3,42	3,27	2,68	1,99
Z-200x1,25	Z-200x1,25	2	1,56	1,24	1,19	1,45
Z-200x1,5	Z-200x1,25	2	2,08	1,64	1,66	1,82
Z-200x1,75	Z-200x1,5	2	2,73	2,42	2,15	2,20
Z-200x2	Z-200x1,75	2	3,32	3,04	2,64	2,60
Z-200x2,5	Z-200x2	2	4,20	3,95	3,32	3,29
Z-200x3	Z-200x2,5	2	5,11	4,88	4,02	3,98
Z-250x1,5	Z-250x1,5	2	3,45	3,06	3,01	3,45
Z-250x1,75	Z-250x1,5	2	3,95	3,74	3,95	3,95
Z-250x2,0	Z-250x1,75	2	5,38	5,00	4,89	5,15
Z-250x2,5	Z-250x2,0	2	7,16	6,66	6,82	6,65
Z-250x3	Z-250x2,5	2	8,74	8,42	8,25	8,02

Belka 6-przęslowa, stal S350GD, poszycie z blachy Super 40, 0,60mm, 2 wkręty w faldzie, zakłady 10% i 20% liczone do śrub, dopuszczalne ugięcie L/150 - jeżeli $L \leq 6,0m$ lub L/200 - jeżeli $L > 6,0m$

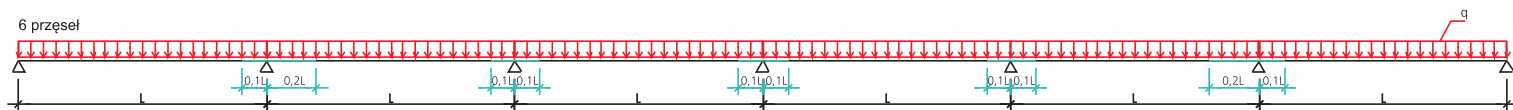
L = 6,3 m



Przekrój w przęśle skrajnym	Przekrój w przęstach pozostałych	Ilość tężników w każdym przęśle	Maksymalne obciążenie obliczeniowe grawitacyjne q_g [kN/m]	Maksymalne obciążenie obliczeniowe, grawitacyjne q_g [kN/m] + siła osiowa $N=10kN$	Maksymalne obciążenie obliczeniowe, unoszące q_u [kN/m]	Maksymalne obciążenie grawitacyjne charakterystyczne ze względu na ugięcia q_{ch} [kN/m]
Z-120x1	Z-120x1	2	0,57	0,38	0,44	0,30
Z-120x1,25	Z-120x1	2	0,75	0,52	0,67	0,40
Z-120x1,5	Z-120x1,25	2	1,09	0,88	0,88	0,49
Z-120x1,75	Z-120x1,5	2	1,32	1,18	1,06	0,58
Z-120x2	Z-120x1,75	2	1,54	1,40	1,23	0,68
Z-120x2,5	Z-120x2	2	1,90	1,78	1,50	0,85
Z-120x3	Z-120x2,5	2	2,28	2,18	1,77	1,01
Z-150x1	Z-150x1	2	0,69	0,47	0,52	0,49
Z-150x1,25	Z-150x1	2	0,92	0,63	0,80	0,65
Z-150x1,5	Z-150x1,25	2	1,38	1,10	1,12	0,82
Z-150x1,75	Z-150x1,5	2	1,74	1,55	1,37	0,98
Z-150x2	Z-150x1,75	2	2,03	1,86	1,59	1,14
Z-150x2,5	Z-150x2	2	2,54	2,39	1,98	1,44
Z-150x3	Z-150x2,5	2	3,08	2,93	2,36	1,73
Z-200x1,25	Z-200x1,25	2	1,38	1,09	1,04	1,26
Z-200x1,5	Z-200x1,25	2	1,85	1,46	1,45	1,59
Z-200x1,75	Z-200x1,5	2	2,45	2,15	1,87	1,91
Z-200x2	Z-200x1,75	2	2,97	2,72	2,31	2,26
Z-200x2,5	Z-200x2	2	3,76	3,53	2,90	2,86
Z-200x3	Z-200x2,5	2	4,58	4,37	3,51	3,46
Z-250x1,5	Z-250x1,5	2	3,11	2,74	2,67	3,10
Z-250x1,75	Z-250x1,5	2	3,71	3,51	3,50	3,71
Z-250x2,0	Z-250x1,75	2	4,84	4,51	4,33	4,48
Z-250x2,5	Z-250x2,0	2	6,45	5,99	6,04	5,79
Z-250x3	Z-250x2,5	2	7,88	7,59	7,30	6,98

Belka 6-przęsłowa, stal S350GD, poszycie z blachy Super 40, 0,60mm, 2 wkręty w faldzie, zakłady 10% i 20% liczone do śrub, dopuszczalne ugięcie L/150 - jeżeli $L \leq 6,0m$ lub L/200 - jeżeli $L > 6,0m$

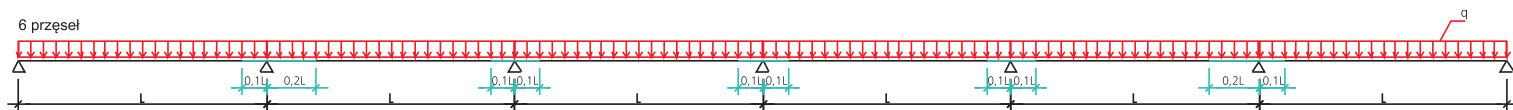
L = 6,6 m



Przekrój w przęśle skrajnym	Przekrój w przęstach pozostałych	Ilość tężników w każdym przęśle	Maksymalne obciążenie obliczeniowe grawitacyjne q_g [kN/m]	Maksymalne obciążenie obliczeniowe, grawitacyjne q_g [kN/m] + siła osiowa $N=10kN$	Maksymalne obciążenie obliczeniowe, unoszące q_u [kN/m]	Maksymalne obciążenie grawitacyjne charakterystyczne ze względu na ugięcia q_{ch} [kN/m]
Z-120x1	Z-120x1	2	0,51	0,35	0,39	0,26
Z-120x1,25	Z-120x1	2	0,67	0,46	0,60	0,34
Z-120x1,5	Z-120x1,25	2	0,99	0,80	0,79	0,43
Z-120x1,75	Z-120x1,5	2	1,21	1,07	0,96	0,51
Z-120x2	Z-120x1,75	2	1,40	1,27	1,10	0,60
Z-120x2,5	Z-120x2	2	1,73	1,62	1,35	0,74
Z-120x3	Z-120x2,5	2	2,07	1,97	1,58	0,88
Z-150x1	Z-150x1	2	0,62	0,41	0,46	0,43
Z-150x1,25	Z-150x1	2	0,83	0,56	0,72	0,57
Z-150x1,5	Z-150x1,25	2	1,24	0,99	0,99	0,72
Z-150x1,75	Z-150x1,5	2	1,58	1,40	1,22	0,85
Z-150x2	Z-150x1,75	2	1,83	1,68	1,42	0,99
Z-150x2,5	Z-150x2	2	2,30	2,15	1,75	1,26
Z-150x3	Z-150x2,5	2	2,77	2,64	2,08	1,51
Z-200x1,25	Z-200x1,25	2	1,24	0,97	0,91	1,10
Z-200x1,5	Z-200x1,25	2	1,66	1,30	1,27	1,39
Z-200x1,75	Z-200x1,5	2	2,20	1,93	1,65	1,67
Z-200x2	Z-200x1,75	2	2,67	2,44	2,02	1,97
Z-200x2,5	Z-200x2	2	3,38	3,17	2,54	2,51
Z-200x3	Z-200x2,5	2	4,11	3,91	3,07	3,02
Z-250x1,5	Z-250x1,5	2	2,80	2,47	2,37	2,77
Z-250x1,75	Z-250x1,5	2	3,49	3,27	3,10	3,35
Z-250x2,0	Z-250x1,75	2	4,39	4,08	3,84	3,92
Z-250x2,5	Z-250x2,0	2	5,83	5,41	5,36	5,07
Z-250x3	Z-250x2,5	2	7,14	6,87	6,48	6,10

Belka 6-przęslowa, stal S350GD, poszycie z blachy Super 40, 0,60mm, 2 wkręty w faldzie, zakłady 10% i 20% liczone do śrub, dopuszczalne ugięcie L/150 - jeżeli $L \leq 6,0m$ lub L/200 - jeżeli $L > 6,0m$

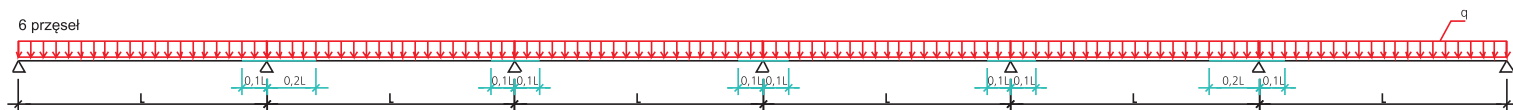
L = 6,9 m



Przekrój w przęśle skrajnym	Przekrój w przęstach pozostałych	Ilość tężników w każdym przęśle	Maksymalne obciążenie obliczeniowe grawitacyjne q_g [kN/m]	Maksymalne obciążenie obliczeniowe, grawitacyjne q_g [kN/m] + siła osiowa $N=10kN$	Maksymalne obciążenie obliczeniowe, unoszące q_u [kN/m]	Maksymalne obciążenie grawitacyjne charakterystyczne ze względu na ugięcia q_{ch} [kN/m]
Z-120x1	Z-120x1	2	0,47	0,31	0,35	0,23
Z-120x1,25	Z-120x1	2	0,61	0,42	0,54	0,30
Z-120x1,5	Z-120x1,25	2	0,91	0,72	0,72	0,37
Z-120x1,75	Z-120x1,5	2	1,10	0,97	0,86	0,45
Z-120x2	Z-120x1,75	2	1,28	1,16	0,99	0,52
Z-120x2,5	Z-120x2	2	1,58	1,48	1,21	0,65
Z-120x3	Z-120x2,5	2	1,88	1,79	1,42	0,78
Z-150x1	Z-150x1	2	0,56	0,37	0,41	0,37
Z-150x1,25	Z-150x1	2	0,75	0,50	0,64	0,50
Z-150x1,5	Z-150x1,25	2	1,13	0,89	0,89	0,63
Z-150x1,75	Z-150x1,5	2	1,43	1,27	1,09	0,75
Z-150x2	Z-150x1,75	2	1,67	1,52	1,26	0,88
Z-150x2,5	Z-150x2	2	2,08	1,95	1,56	1,11
Z-150x3	Z-150x2,5	2	2,51	2,39	1,85	1,33
Z-200x1,25	Z-200x1,25	2	1,11	0,86	0,80	0,97
Z-200x1,5	Z-200x1,25	2	1,49	1,16	1,12	1,22
Z-200x1,75	Z-200x1,5	2	1,98	1,72	1,45	1,47
Z-200x2	Z-200x1,75	2	2,41	2,19	1,78	1,74
Z-200x2,5	Z-200x2	2	3,05	2,85	2,24	2,20
Z-200x3	Z-200x2,5	2	3,70	3,52	2,69	2,66
Z-250x1,5	Z-250x1,5	2	2,53	2,23	2,10	2,43
Z-250x1,75	Z-250x1,5	2	3,26	2,96	2,76	2,94
Z-250x2,0	Z-250x1,75	2	3,98	3,69	3,42	3,45
Z-250x2,5	Z-250x2,0	2	5,28	4,90	4,77	4,46
Z-250x3	Z-250x2,5	2	6,47	6,22	5,78	5,37

Belka 6-przęslowa, stal S350GD, poszycie z blachy Super 40, 0,60mm, 2 wkręty w faldzie, zakłady 10% i 20% liczone do śrub, dopuszczalne ugięcie L/150 - jeżeli $L \leq 6,0m$ lub L/200 - jeżeli $L > 6,0m$

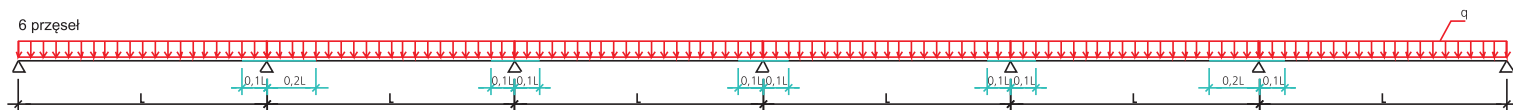
L = 7,2 m



Przekrój w przęśle skrajnym	Przekrój w przęstach pozostałych	Ilość tężników w każdym przęśle	Maksymalne obciążenie obliczeniowe grawitacyjne q_g [kN/m]	Maksymalne obciążenie obliczeniowe, grawitacyjne q_g [kN/m] + siła osiowa $N=10kN$	Maksymalne obciążenie obliczeniowe, unoszące q_u [kN/m]	Maksymalne obciążenie grawitacyjne charakterystyczne ze względu na ugięcia q_{ch} [kN/m]
Z-120x1	Z-120x1	3	0,45	0,31	0,32	0,20
Z-120x1,25	Z-120x1	3	0,61	0,42	0,49	0,27
Z-120x1,5	Z-120x1,25	3	0,89	0,74	0,65	0,33
Z-120x1,75	Z-120x1,5	3	1,09	0,97	0,78	0,40
Z-120x2	Z-120x1,75	3	1,25	1,15	0,91	0,46
Z-120x2,5	Z-120x2	3	1,56	1,46	1,13	0,58
Z-120x3	Z-120x2,5	3	1,87	1,78	1,35	0,69
Z-150x1	Z-150x1	3	0,56	0,38	0,41	0,34
Z-150x1,25	Z-150x1	3	0,76	0,52	0,61	0,45
Z-150x1,5	Z-150x1,25	3	1,16	0,92	0,86	0,56
Z-150x1,75	Z-150x1,5	3	1,44	1,28	1,06	0,66
Z-150x2	Z-150x1,75	3	1,68	1,53	1,23	0,77
Z-150x2,5	Z-150x2	3	2,10	1,97	1,56	0,97
Z-150x3	Z-150x2,5	3	2,53	2,41	1,88	1,17
Z-200x1,25	Z-200x1,25	3	1,12	0,88	0,83	0,86
Z-200x1,5	Z-200x1,25	3	1,54	1,21	1,16	1,08
Z-200x1,75	Z-200x1,5	3	2,01	1,79	1,50	1,30
Z-200x2	Z-200x1,75	3	2,46	2,24	1,86	1,54
Z-200x2,5	Z-200x2	3	3,11	2,92	2,35	1,95
Z-200x3	Z-200x2,5	3	3,78	3,61	2,86	2,36
Z-250x1,5	Z-250x1,5	3	2,51	2,22	2,14	2,16
Z-250x1,75	Z-250x1,5	3	3,11	2,93	2,81	2,60
Z-250x2,0	Z-250x1,75	3	4,05	3,76	3,49	3,05
Z-250x2,5	Z-250x2,0	3	5,50	5,12	4,87	3,94
Z-250x3	Z-250x2,5	3	6,75	6,49	5,88	4,76

Belka 6-przęsłowa, stal S350GD, poszycie z blachy Super 40, 0,60mm, 2 wkręty w faldzie, zakłady 10% i 20% liczone do śrub, dopuszczalne ugięcie L/150 - jeżeli $L \leq 6,0m$ lub L/200 - jeżeli $L > 6,0m$

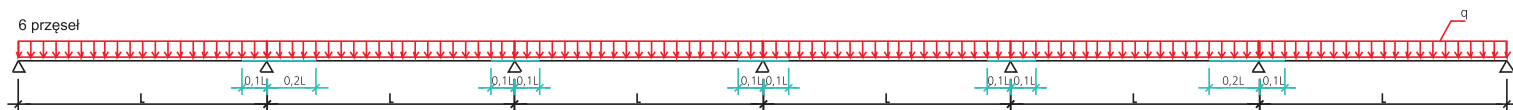
L = 7,5 m



Przekrój w przęśle skrajnym	Przekrój w przęstach pozostałych	Ilość tężników w każdym przęśle	Maksymalne obciążenie obliczeniowe grawitacyjne q_g [kN/m]	Maksymalne obciążenie obliczeniowe, grawitacyjne q_g [kN/m] + siła osiowa $N=10kN$	Maksymalne obciążenie obliczeniowe, unoszące q_u [kN/m]	Maksymalne obciążenie grawitacyjne charakterystyczne ze względu na ugięcia q_{ch} [kN/m]
Z-120x1	Z-120x1	3	0,41	0,28	0,29	0,18
Z-120x1,25	Z-120x1	3	0,57	0,39	0,43	0,23
Z-120x1,5	Z-120x1,25	3	0,81	0,67	0,57	0,29
Z-120x1,75	Z-120x1,5	3	0,99	0,88	0,70	0,35
Z-120x2	Z-120x1,75	3	1,15	1,05	0,81	0,41
Z-120x2,5	Z-120x2	3	1,42	1,34	1,01	0,51
Z-120x3	Z-120x2,5	3	1,70	1,61	1,20	0,62
Z-150x1	Z-150x1	3	0,50	0,33	0,35	0,29
Z-150x1,25	Z-150x1	3	0,69	0,46	0,55	0,39
Z-150x1,5	Z-150x1,25	3	1,05	0,84	0,76	0,49
Z-150x1,75	Z-150x1,5	3	1,31	1,16	0,94	0,59
Z-150x2	Z-150x1,75	3	1,53	1,39	1,10	0,69
Z-150x2,5	Z-150x2	3	1,91	1,79	1,37	0,87
Z-150x3	Z-150x2,5	3	2,29	2,19	1,66	1,04
Z-200x1,25	Z-200x1,25	3	1,01	0,79	0,73	0,76
Z-200x1,5	Z-200x1,25	3	1,39	1,09	1,02	0,96
Z-200x1,75	Z-200x1,5	3	1,82	1,61	1,33	1,16
Z-200x2	Z-200x1,75	3	2,24	2,03	1,65	1,37
Z-200x2,5	Z-200x2	3	2,83	2,65	2,08	1,74
Z-200x3	Z-200x2,5	3	3,43	3,27	2,54	2,10
Z-250x1,5	Z-250x1,5	3	2,30	2,03	1,93	1,91
Z-250x1,75	Z-250x1,5	3	2,95	2,73	2,53	2,31
Z-250x2,0	Z-250x1,75	3	3,70	3,43	3,14	2,71
Z-250x2,5	Z-250x2,0	3	5,03	4,67	4,38	3,51
Z-250x3	Z-250x2,5	3	6,16	5,93	5,31	4,22

Belka 6-przęslowa, stal S350GD, poszycie z blachy Super 40, 0,60mm, 2 wkręty w faldzie, zakłady 10% i 20% liczone do śrub, dopuszczalne ugięcie L/150 - jeżeli $L \leq 6,0m$ lub L/200 - jeżeli $L > 6,0m$

L = 7,8 m



Przekrój w przęśle skrajnym	Przekrój w przęstach pozostałych	Ilość tężników w każdym przęśle	Maksymalne obciążenie obliczeniowe grawitacyjne q_g [kN/m]	Maksymalne obciążenie obliczeniowe, grawitacyjne q_g [kN/m] + siła osiowa $N=10kN$	Maksymalne obciążenie obliczeniowe, unoszące q_u [kN/m]	Maksymalne obciążenie grawitacyjne charakterystyczne ze względu na ugięcia q_{ch} [kN/m]
Z-120x1	Z-120x1	3	0,38	0,26	0,25	0,16
Z-120x1,25	Z-120x1	3	0,52	0,35	0,39	0,21
Z-120x1,5	Z-120x1,25	3	0,75	0,61	0,51	0,27
Z-120x1,75	Z-120x1,5	3	0,91	0,81	0,63	0,31
Z-120x2	Z-120x1,75	3	1,05	0,96	0,73	0,36
Z-120x2,5	Z-120x2	3	1,31	1,22	0,90	0,45
Z-120x3	Z-120x2,5	3	1,56	1,48	1,08	0,55
Z-150x1	Z-150x1	3	0,46	0,31	0,31	0,26
Z-150x1,25	Z-150x1	3	0,63	0,42	0,48	0,35
Z-150x1,5	Z-150x1,25	3	0,96	0,76	0,68	0,44
Z-150x1,75	Z-150x1,5	3	1,19	1,06	0,83	0,53
Z-150x2	Z-150x1,75	3	1,39	1,26	0,98	0,61
Z-150x2,5	Z-150x2	3	1,74	1,63	1,23	0,77
Z-150x3	Z-150x2,5	3	2,09	1,98	1,48	0,93
Z-200x1,25	Z-200x1,25	3	0,91	0,71	0,65	0,68
Z-200x1,5	Z-200x1,25	3	1,26	0,98	0,91	0,86
Z-200x1,75	Z-200x1,5	3	1,66	1,45	1,18	1,04
Z-200x2	Z-200x1,75	3	2,02	1,84	1,46	1,21
Z-200x2,5	Z-200x2	3	2,56	2,39	1,84	1,54
Z-200x3	Z-200x2,5	3	3,10	2,96	2,25	1,87
Z-250x1,5	Z-250x1,5	3	2,10	1,85	1,74	1,71
Z-250x1,75	Z-250x1,5	3	2,74	2,49	2,29	2,06
Z-250x2,0	Z-250x1,75	3	3,38	3,14	2,83	2,42
Z-250x2,5	Z-250x2,0	3	4,60	4,27	3,96	3,13
Z-250x3	Z-250x2,5	3	5,63	5,42	4,79	3,78

Belka 6-przęslowa, stal S350GD, poszycie z blachy Super 40, 0,60mm, 2 wkręty w faldzie, zakłady 10% i 20% liczone do śrub, dopuszczalne ugięcie L/150 - jeżeli $L \leq 6,0m$ lub L/200 - jeżeli $L > 6,0m$

L = 8,1 m